



ΕΛΛΗΝΙΚΗ ΔΗΜΟΚΡΑΤΙΑ



**ΓΕΝΙΚΗ ΓΡΑΜΜΑΤΕΙΑ ΦΥΣΙΚΟΥ ΠΕΡΙΒΑΛΛΟΝΤΟΣ  
ΚΑΙ ΥΔΑΤΩΝ  
ΓΕΝΙΚΗ ΔΙΕΥΘΥΝΣΗ ΥΔΑΤΩΝ**



**1<sup>η</sup> ΑΝΑΘΕΩΡΗΣΗ  
ΣΧΕΔΙΟΥ ΔΙΑΧΕΙΡΙΣΗΣ ΚΙΝΔΥΝΩΝ ΠΛΗΜΜΥΡΑΣ  
των Λεκανών Απορροής Ποταμών του  
Υδατικού Διαμερίσματος Δυτικής Στερεάς Ελλάδας (EL04)**

**Στάδιο 1 – Παραδοτέο 4**

**ΠΛΗΜΜΥΡΙΚΑ ΥΔΡΟΓΡΑΦΗΜΑΤΑ**

**Παράρτημα Π4.11:  
Υδρολογική Ανάλυση λεκάνης λίμνης Αμβρακίας**



Ευρωπαϊκή Ένωση  
Ταμείο Συνοχής



Με τη συγχρηματοδότηση της Ελλάδας και της Ευρωπαϊκής Ένωσης

## Περιεχόμενα

|          |  |            |
|----------|--|------------|
| <b>1</b> | <b>ΜΟΝΤΕΛΟ ΥΔΡΟΛΟΓΙΚΗΣ ΠΡΟΣΟΜΟΙΩΣΗΣ ΛΕΚΑΝΗΣ ΑΠΟΡΡΟΗΣ</b>             | <b>4</b>   |
| <b>2</b> | <b>ΔΕΔΟΜΕΝΑ ΕΙΣΟΔΟΥ ΚΑΙ ΑΠΟΤΕΛΕΣΜΑΤΑ ΥΔΡΟΛΟΓΙΚΟΥ ΣΕΝΑΡΙΟΥ T=50</b>   | <b>7</b>   |
| 2.1      | Αποτελέσματα, υετογραφήματα και υδρογραφήματα σχεδιασμού υπολεκανών  | 8          |
| 2.2      | Δεδομένα και υδρογραφήματα σχεδιασμού Κλάδων υδρογραφικού δικτύου    | 14         |
| 2.3      | Δεδομένα και υδρογραφήματα σχεδιασμού Κόμβων υδρογραφικού δικτύου    | 18         |
| <b>3</b> | <b>ΔΕΔΟΜΕΝΑ ΕΙΣΟΔΟΥ ΚΑΙ ΑΠΟΤΕΛΕΣΜΑΤΑ ΥΔΡΟΛΟΓΙΚΟΥ ΣΕΝΑΡΙΟΥ T=50L</b>  | <b>23</b>  |
| 3.1      | Αποτελέσματα, υετογραφήματα και υδρογραφήματα σχεδιασμού υπολεκανών  | 24         |
| 3.2      | Δεδομένα και υδρογραφήματα σχεδιασμού Κλάδων υδρογραφικού δικτύου    | 30         |
| 3.1      | Δεδομένα και υδρογραφήματα σχεδιασμού Κόμβων υδρογραφικού δικτύου    | 34         |
| <b>4</b> | <b>ΔΕΔΟΜΕΝΑ ΕΙΣΟΔΟΥ ΚΑΙ ΑΠΟΤΕΛΕΣΜΑΤΑ ΥΔΡΟΛΟΓΙΚΟΥ ΣΕΝΑΡΙΟΥ T=50U</b>  | <b>39</b>  |
| 4.1      | Αποτελέσματα, υετογραφήματα και υδρογραφήματα σχεδιασμού υπολεκανών  | 40         |
| 4.2      | Δεδομένα και υδρογραφήματα σχεδιασμού Κλάδων υδρογραφικού δικτύου    | 46         |
| 4.3      | Δεδομένα και υδρογραφήματα σχεδιασμού Κόμβων υδρογραφικού δικτύου    | 50         |
| <b>5</b> | <b>ΔΕΔΟΜΕΝΑ ΕΙΣΟΔΟΥ ΚΑΙ ΑΠΟΤΕΛΕΣΜΑΤΑ ΥΔΡΟΛΟΓΙΚΟΥ ΣΕΝΑΡΙΟΥ T=100</b>  | <b>55</b>  |
| 5.1      | Αποτελέσματα, υετογραφήματα και υδρογραφήματα σχεδιασμού υπολεκανών  | 56         |
| 5.2      | Δεδομένα και υδρογραφήματα σχεδιασμού Κλάδων υδρογραφικού δικτύου    | 62         |
| 5.3      | Δεδομένα και υδρογραφήματα σχεδιασμού Κόμβων υδρογραφικού δικτύου    | 66         |
| <b>6</b> | <b>ΔΕΔΟΜΕΝΑ ΕΙΣΟΔΟΥ ΚΑΙ ΑΠΟΤΕΛΕΣΜΑΤΑ ΥΔΡΟΛΟΓΙΚΟΥ ΣΕΝΑΡΙΟΥ T=100L</b> | <b>71</b>  |
| 6.1      | Αποτελέσματα, υετογραφήματα και υδρογραφήματα σχεδιασμού υπολεκανών  | 72         |
| 6.2      | Δεδομένα και υδρογραφήματα σχεδιασμού Κλάδων υδρογραφικού δικτύου    | 78         |
| 6.3      | Δεδομένα και υδρογραφήματα σχεδιασμού Κόμβων υδρογραφικού δικτύου    | 82         |
| <b>7</b> | <b>ΔΕΔΟΜΕΝΑ ΕΙΣΟΔΟΥ ΚΑΙ ΑΠΟΤΕΛΕΣΜΑΤΑ ΥΔΡΟΛΟΓΙΚΟΥ ΣΕΝΑΡΙΟΥ T=100U</b> | <b>87</b>  |
| 7.1      | Αποτελέσματα, υετογραφήματα και υδρογραφήματα σχεδιασμού υπολεκανών  | 88         |
| 7.2      | Δεδομένα και υδρογραφήματα σχεδιασμού Κλάδων υδρογραφικού δικτύου    | 94         |
| 7.3      | Δεδομένα και υδρογραφήματα σχεδιασμού Κόμβων υδρογραφικού δικτύου    | 98         |
| <b>8</b> | <b>ΔΕΔΟΜΕΝΑ ΕΙΣΟΔΟΥ ΚΑΙ ΑΠΟΤΕΛΕΣΜΑΤΑ ΥΔΡΟΛΟΓΙΚΟΥ ΣΕΝΑΡΙΟΥ T=1000</b> | <b>103</b> |
| 8.1      | Αποτελέσματα, υετογραφήματα και υδρογραφήματα σχεδιασμού υπολεκανών  | 104        |

|     |   |     |
|-----|---|-----|
| 8.2 | Δεδομένα και υδρογραφήματα σχεδιασμού Κλάδων υδρογραφικού δικτύου | 110 |
| 8.3 | Δεδομένα και υδρογραφήματα σχεδιασμού Κόμβων υδρογραφικού δικτύου | 114 |

## **9 ΔΕΔΟΜΕΝΑ ΕΙΣΟΔΟΥ ΚΑΙ ΑΠΟΤΕΛΕΣΜΑΤΑ ΥΔΡΟΛΟΓΙΚΟΥ ΣΕΝΑΡΙΟΥ T=1000L119**

|     |   |     |
|-----|---|-----|
| 9.1 | Αποτελέσματα, υετογραφήματα και υδρογραφήματα σχεδιασμού υπολεκανών | 120 |
| 9.2 | Δεδομένα και υδρογραφήματα σχεδιασμού Κλάδων υδρογραφικού δικτύου   | 126 |
| 9.3 | Δεδομένα και υδρογραφήματα σχεδιασμού Κόμβων υδρογραφικού δικτύου   | 130 |

## **10 ΔΕΔΟΜΕΝΑ ΕΙΣΟΔΟΥ ΚΑΙ ΑΠΟΤΕΛΕΣΜΑΤΑ ΥΔΡΟΛΟΓΙΚΟΥ ΣΕΝΑΡΙΟΥ T=1000U135**

|      |   |     |
|------|---|-----|
| 10.1 | Αποτελέσματα, υετογραφήματα και υδρογραφήματα σχεδιασμού υπολεκανών | 136 |
| 10.2 | Δεδομένα και υδρογραφήματα σχεδιασμού Κλάδων υδρογραφικού δικτύου   | 142 |
| 10.3 | Δεδομένα και υδρογραφήματα σχεδιασμού Κόμβων υδρογραφικού δικτύου   | 146 |

# 1 Μοντέλο Υδρολογικής Προσομοίωσης Λεκάνης Απορροής

Το μοντέλο υδρολογικής προσομοίωσης της λίμνης Αμβρακία περιλαμβάνει 5 υπολεκάνες, 5 κόμβους και 4 κλάδους υδρογραφικού δικτύου. Η λεκάνη απορροής της λίμνης χωρίζεται σε τέσσερις υπολεκάνες, οι οποίες εκφορτίζονται στους κόμβους J2, J3, J4 και J5. Η ίδια η λίμνη αναπαρίσταται ως ξεχωριστή υπολεκάνη (EL0415FL11001), που είναι πλήρως αδιαπέρατη και το σύνολο των εισροών της, μαζί με τις εισροές λόγω βροχόπτωσης στη λίμνη, συγκεντρώνονται στον εννοιολογικό κόμβο εξόδου J1. Για τον σκοπό αυτό, στο μοντέλο εισάγονται οι τέσσερις εικονικοί κλάδοι (R21, R31, R41, R51), μηδενικού χρόνου ροής.

Η σχηματοποίηση του υδρολογικού συστήματος απεικονίζεται στον χάρτη της Εικόνας 5-13.

Τα χαρακτηριστικά μεγέθη της λεκάνης είναι:

- Έκταση  $A = 108.70 \text{ km}^2$
- Μέσο υψόμετρο  $z_m = 212 \text{ m}$
- Υψόμετρο κόμβου εξόδου  $z_k = 18.7 \text{ m}$
- Μέγιστο μήκος ροής  $L_{\max} = 6.33 \text{ km}$
- Χρόνος συγκέντρωσης  $t_c = 4.61 \text{ h}$

Σημειώνεται ότι για την εκτίμηση του χρόνου συγκέντρωσης λαμβάνεται το μέγιστο μήκος ροής της υπολεκάνης EL0415FL011002, που είναι το μεγαλύτερο μήκος διαδρομής στο σύστημα.

Για την υδρολογική προσομοίωση επιλέγεται διάρκεια βροχής  $D = 24 \text{ h}$  και χρονικό βήμα  $\Delta t = 15 \text{ min}$ .

Για την παραπάνω έκταση και διάρκεια προκύπτει συντελεστής επιφανειακής αναγωγής  $\varphi = 0.931$ .

Τα χαρακτηριστικά γεωμετρικά μεγέθη των υπολεκανών δίνονται στον Πίνακα 5-29 (δεν έχει νόημα η παράθεση στοιχείων για τους εικονικούς κλάδους), ενώ τα συγκεντρωτικά αποτελέσματα της λεκάνης δίνονται στον Πίνακα 5-30. Επισημαίνεται ότι επειδή η έξοδος του υδρολογικού συστήματος αναφέρεται σε λίμνη, δεν έχει νόημα η έννοια της παροχής αιχμής. Στο Παράρτημα Π11 δίνονται τα πλήρη δεδομένα εισόδου και εξόδου του μοντέλου προσομοίωσης για όλες τις συνιστώσες του δικτύου (υπολεκάνες, κόμβοι, κλάδοι), και τα αντίστοιχα γραφήματα.

**Πίνακας Error! No text of specified style in document.-1 Χαρακτηριστικά μεγέθη υπολεκανών**

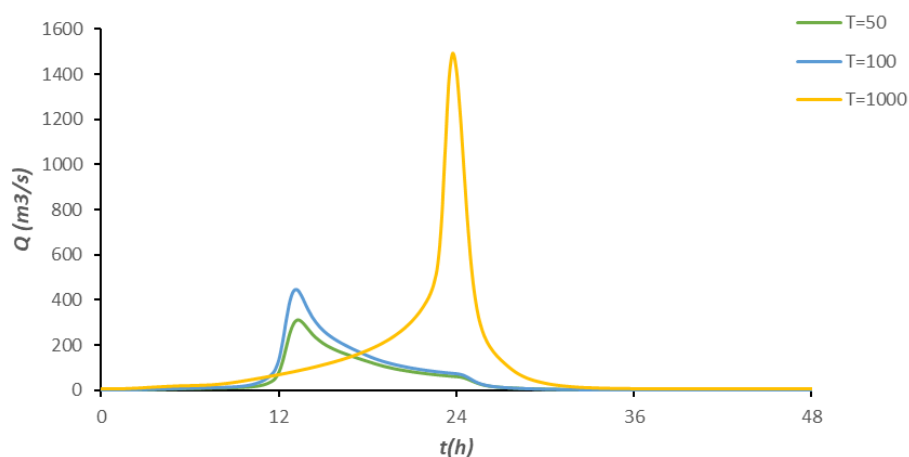
| Κωδικός        | Λεκάνη απορροής | Κλάδος | Κόμβος εξόδου | Έκταση (km <sup>2</sup> ) | Μέσο υψόμετρο (m) | Υψόμετρο εξόδου (m) | Μέγιστο μήκος ροής (km) |
|----------------|-----------------|--------|---------------|---------------------------|-------------------|---------------------|-------------------------|
| EL0415FL011001 | EL0415FL00011   |        | J1            | 14.534                    | 18.7              | 18.7                | 0.100                   |
| EL0415FL011002 | EL0415FL00011   |        | J2            | 29.770                    | 217.6             | 18.7                | 6.330                   |
| EL0415FL011003 | EL0415FL00011   |        | J3            | 20.291                    | 258.9             | 18.7                | 5.340                   |
| EL0415FL011004 | EL0415FL00011   |        | J4            | 21.966                    | 273.3             | 18.7                | 4.550                   |
| EL0415FL011005 | EL0415FL00011   |        | J5            | 22.139                    | 224.9             | 18.7                | 5.520                   |

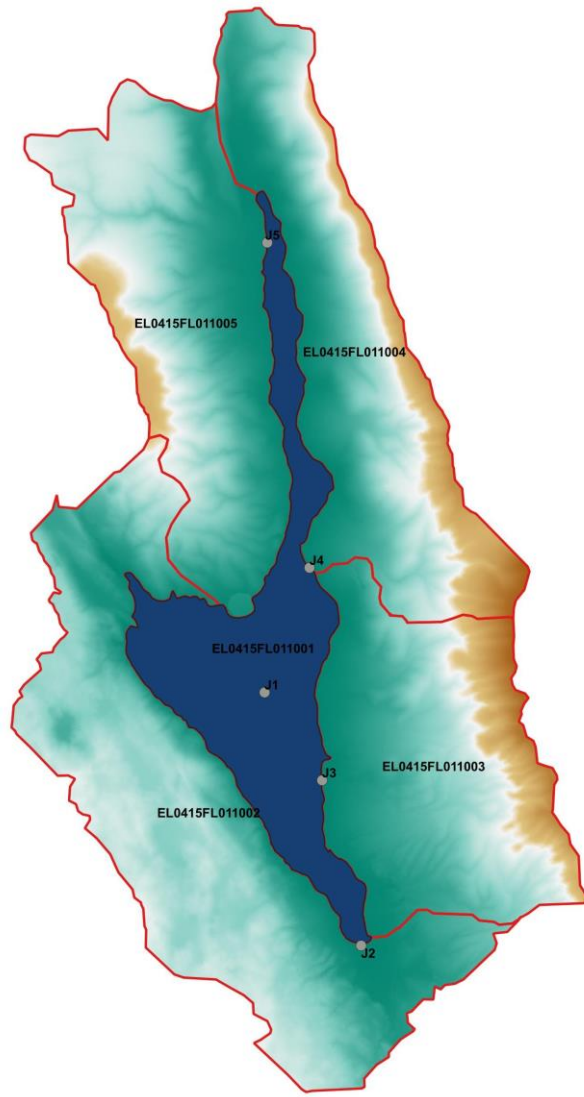
**Πίνακας Error! No text of specified style in document.-2 Συγκεντρωτικά αποτελέσματα υδρολογικής προσομοίωσης περιοχής μελέτης**

| Χαρακτηριστικά μεγέθη λεκάνης απορροής ρέματος λίμνης Αμβρακίας |        |                                     |       |
|---|--------|-------------------------------------|-------|
| Έκταση (km <sup>2</sup> )                                       | 108.70 | Υψόμετρο εξόδου (m)                 | 18.7  |
| Αδιαπέρατη επιφάνεια (%)  | 13.37  | Χρόνος συγκέντρωσης (h)             | 4.61  |
| Μέγιστο μήκος ροής (km)   | 6.33   | Διάρκεια βροχόπτωσης σχεδιασμού (h) | 24.00 |

|  |  |                       |                           |
|--|--|-----------------------|---------------------------|
| Μέσο υψόμετρο (m)  | 211.6  | Χρονικό βήμα (h)      | 0.25                      |
| <b>Συγκεντρωτικά αποτελέσματα υδρολογικής προσομοίωσης λεκάνης</b> |  |                       |                           |
|  | <b>Ευμενείς συνθήκες</b>                               | <b>Μέσες συνθήκες</b> | <b>Δυσμενείς συνθήκες</b> |
|  | <b>Ολικό ύψος επιφανειακής βροχής (mm)</b>             |                       |                           |
| T = 50   | 156.7  | 156.7                 | 156.7                     |
| T = 100  | 183.5  | 183.5                 | 183.5                     |
| T = 1000   | 300.9  | 300.9                 | 300.9                     |
|  | <b>Ολικό ύψος πλημμυρικής απορροής (mm)</b>            |                       |                           |
| T = 50   | 29.7   | 63.3                  | 99.6                      |
| T = 100  | 40.5   | 82.5                  | 123.7                     |
| T = 1000   | 103.8  | 177.7                 | 234.1                     |
|  | <b>Συντελεστής απορροής</b>                            |                       |                           |
| T = 50   | 0.189  | 0.404                 | 0.635                     |
| T = 100  | 0.221  | 0.450                 | 0.674                     |
| T = 1000   | 0.345  | 0.591                 | 0.778                     |
|  | <b>Πλημμυρική παροχή αιχμής (m<sup>3</sup>/s)</b>      |                       |                           |
| T = 50   | 96.3   | 309.3                 | 574.9                     |
| T = 100  | 136.9  | 446.8                 | 754.8                     |
| T = 1000   | 919.3  | 1489.7                | 1762.8                    |
|  | <b>Πλημμυρικός όγκος (hm<sup>3</sup>)</b>              |                       |                           |
| T = 50   | 3.227  | 6.879                 | 10.825                    |
| T = 100  | 4.401  | 8.973                 | 13.448                    |
| T = 1000   | 11.284   | 19.319                | 25.445                    |
|  | <b>Συνολική παροχή αιχμής (m<sup>3</sup>/s)</b>        |                       |                           |
| T = 50   | 99   | 312                   | 577.6                     |
| T = 100  | 140.0  | 449.9                 | 757.8                     |
| T = 1000   | 923.1  | 1493.5                | 1766.6                    |
|  | <b>Συνολικός όγκος υδρογραφήματος (hm<sup>3</sup>)</b> |                       |                           |
| T = 50   | 4.99   | 8.642                 | 12.589                    |
| T = 100  | 6.376  | 10.948                | 15.423                    |
| T = 1000   | 13.752   | 21.788                | 27.914                    |

Υδρογραφήματα σχεδιασμού στον κόμβο εξόδου(μέσες συνθήκες)





Εικόνα **Error! No text of specified style in document.-1** Χάρτης περιοχής μελέτης, στον οποίο απεικονίζεται η σχηματοποίηση των κόμβων και κλάδων του υδρογραφικού δικτύου και των υπολεκανών

## 2 Δεδομένα εισόδου και αποτελέσματα υδρολογικού σεναρίου T=50

## 2.1 Αποτελέσματα, υετογραφήματα και υδρογραφήματα σχεδιασμού υπολεκανών



Υπολεκάνη: EL0415FL11001

Έκταση (KM2) : 14.53

Κατάνη : J1

Μέθοδος Απωλειών: SCS

|                                |       |
|--------------------------------|-------|
| Ποσοστό αδιαπέρατης επιφάνειας | 100   |
| Αριθμός Καμπύλης Απορροής-CN   | 98.71 |
| Αρχικές Απώλειες               | 0.66  |

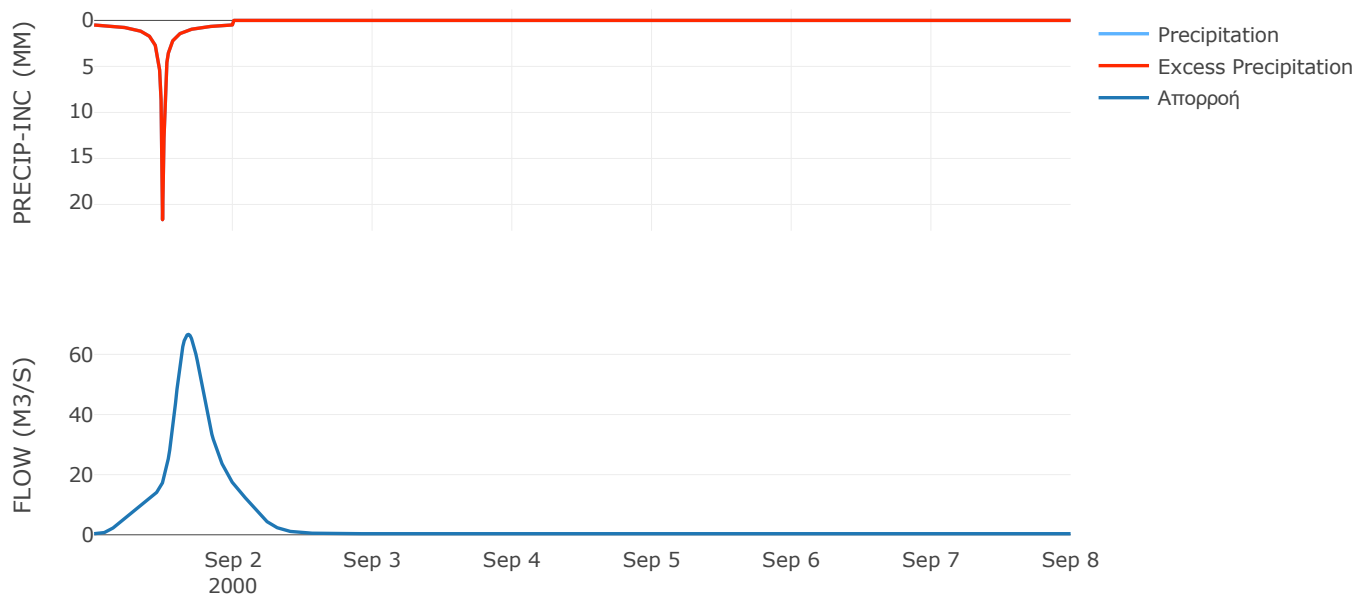
Μέθοδος  
Μετασχηματισμού: SCS

|                  |        |
|------------------|--------|
| Χρόνος Υστέρησης | 247.42 |
|------------------|--------|

Αποτελέσματα:  
EL0415FL11001

|                             |                  |
|-----------------------------|------------------|
| Παροχή αιχμής (M3/S)        | 66.66            |
| Χρονική στιγμή αιχμής       | 01Sep2000, 16:15 |
| Όγκος (MM)                  | 170.93           |
| Όγκος βροχόπτωσης (M3)      | 2.26E6           |
| Όγκος απωλειών (M3)         | 0                |
| Ενεργός Όγκος (M3)          | 2.26E6           |
| Όγκος άμεσης απορροής (M3)  | 2.26E6           |
| Όγκος βασικής απορροής (M3) | 2.2E5            |

Βροχόπτωση και Απορροή



Υπολεκάνη: EL0415FL11002

Έκταση (KM2) : 29.77

Κατάντη : J2

Μέθοδος Απωλειών: SCS

|                                |       |
|--------------------------------|-------|
| Ποσοστό αδιαπέρατης επιφάνειας | 0     |
| Αριθμός Καμπύλης Απορροής-CN   | 63.64 |
| Αρχικές Απώλειες               | 29.02 |

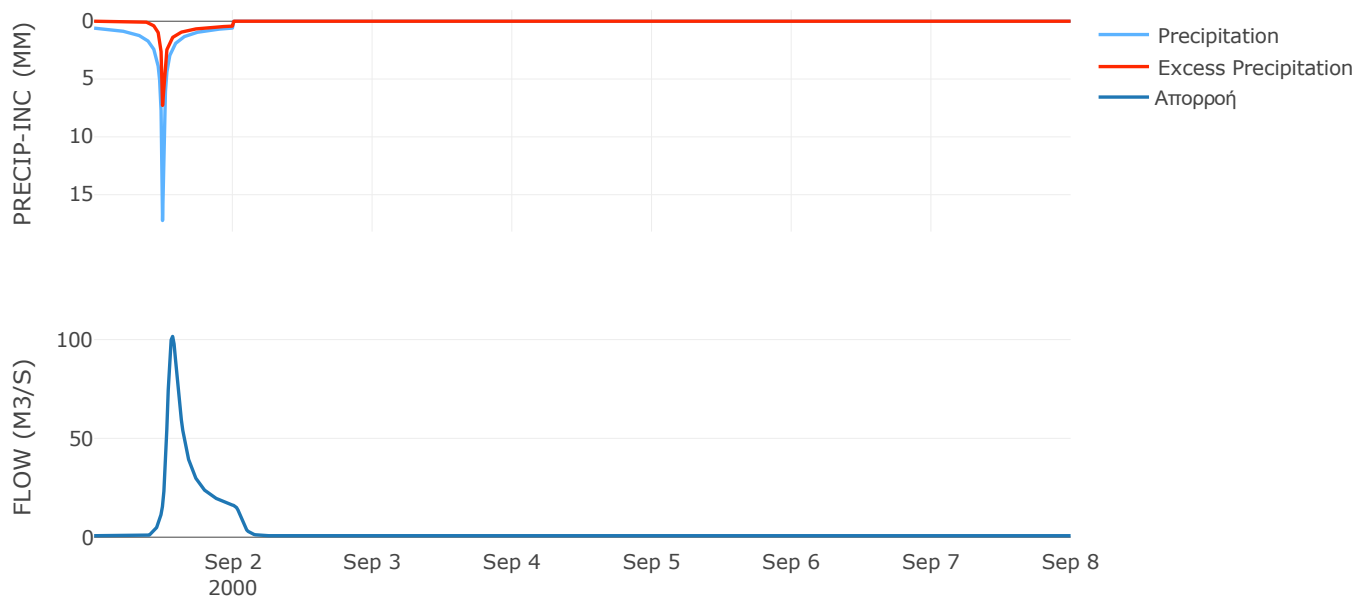
Μέθοδος  
Μετασχηματισμού: SCS

|                  |       |
|------------------|-------|
| Χρόνος Υστέρησης | 74.93 |
|------------------|-------|

Αποτελέσματα:  
EL0415FL11002

|                             |                  |
|-----------------------------|------------------|
| Παροχή αιχμής (M3/S)        | 101.6            |
| Χρονική στιγμή αιχμής       | 01Sep2000, 13:30 |
| Όγκος (MM)                  | 75.07            |
| Όγκος βροχόπτωσης (M3)      | 4.67E6           |
| Όγκος απωλειών (M3)         | 2.89E6           |
| Ενεργός Όγκος (M3)          | 1.78E6           |
| Όγκος άμεσης απορροής (M3)  | 1.78E6           |
| Όγκος βασικής απορροής (M3) | 4.5E5            |

Βροχόπτωση και Απορροή



Υπολεκάνη: EL0415FL11003

Έκταση (KM2) : 20.29

Κατάντη : J3

Μέθοδος Απωλειών: SCS

|                                |       |
|--------------------------------|-------|
| Ποσοστό αδιαπέρατης επιφάνειας | 0     |
| Αριθμός Καμπύλης Απορροής-CN   | 57.72 |
| Αρχικές Απώλειες               | 37.21 |

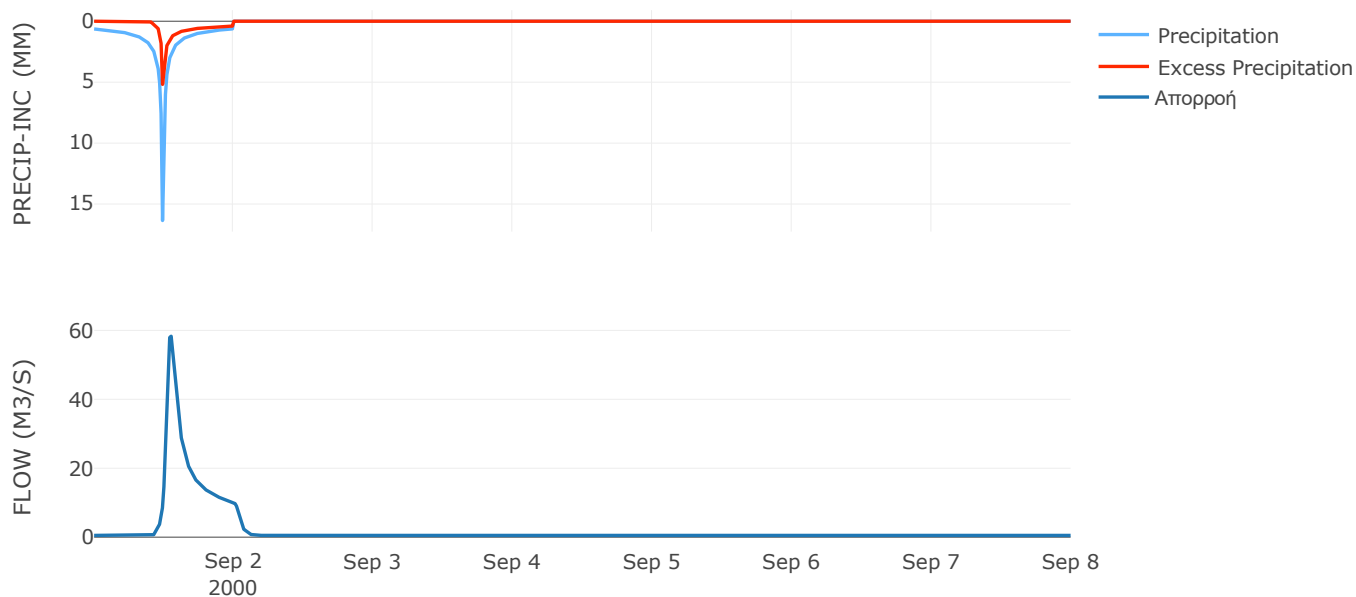
Μέθοδος  
Μετασχηματισμού: SCS

|                  |       |
|------------------|-------|
| Χρόνος Υστέρησης | 56.71 |
|------------------|-------|

Αποτελέσματα:  
EL0415FL11003

|                             |                  |
|-----------------------------|------------------|
| Παροχή αιχμής (M3/S)        | 58.31            |
| Χρονική στιγμή αιχμής       | 01Sep2000, 13:15 |
| Όγκος (MM)                  | 63.6             |
| Όγκος βροχόπτωσης (M3)      | 3.24E6           |
| Όγκος απωλειών (M3)         | 2.25E6           |
| Ενεργός Όγκος (M3)          | 9.84E5           |
| Όγκος άμεσης απορροής (M3)  | 9.84E5           |
| Όγκος βασικής απορροής (M3) | 3.07E5           |

Βροχόπτωση και Απορροή



Υπολεκάνη: EL0415FL11004

Έκταση (KM2) : 21.97

Κατάντη : J4

Μέθοδος Απωλειών: SCS

|                                |       |
|--------------------------------|-------|
| Ποσοστό αδιαπέρατης επιφάνειας | 0     |
| Αριθμός Καμπύλης Απορροής-CN   | 55.37 |
| Αρχικές Απώλειες               | 40.95 |

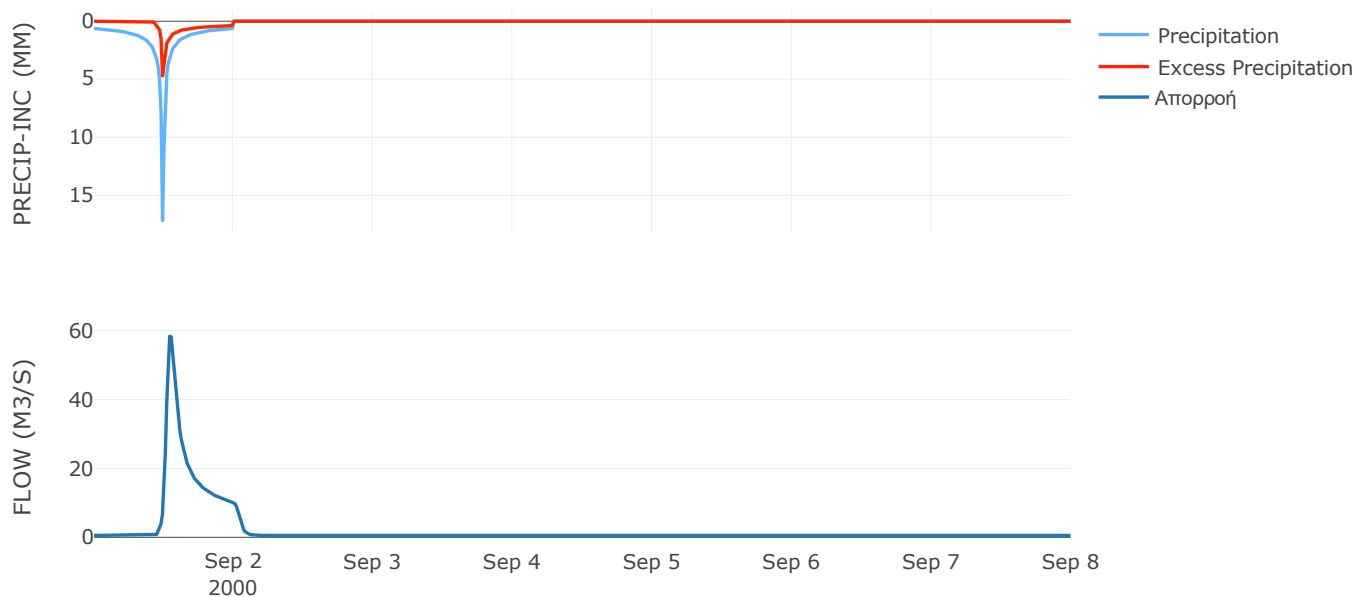
Μέθοδος  
Μετασχηματισμού: SCS

|                  |       |
|------------------|-------|
| Χρόνος Υστέρησης | 54.14 |
|------------------|-------|

Αποτελέσματα:  
EL0415FL11004

|                             |                  |
|-----------------------------|------------------|
| Παροχή αιχμής (M3/S)        | 58.37            |
| Χρονική στιγμή αιχμής       | 01Sep2000, 13:00 |
| Όγκος (MM)                  | 59.07            |
| Όγκος βροχόπτωσης (M3)      | 3.52E6           |
| Όγκος απωλειών (M3)         | 2.56E6           |
| Ενεργός Όγκος (M3)          | 9.65E5           |
| Όγκος άμεσης απορροής (M3)  | 9.65E5           |
| Όγκος βασικής απορροής (M3) | 3.32E5           |

Βροχόπτωση και Απορροή



Υπολεκάνη: EL0415FL11005

Έκταση (KM2) : 22.14

Κατάντη : J5

Μέθοδος Απωλειών: SCS

|                                |       |
|--------------------------------|-------|
| Ποσοστό αδιαπέρατης επιφάνειας | 0     |
| Αριθμός Καμπύλης Απορροής-CN   | 58.73 |
| Αρχικές Απώλειες               | 35.7  |

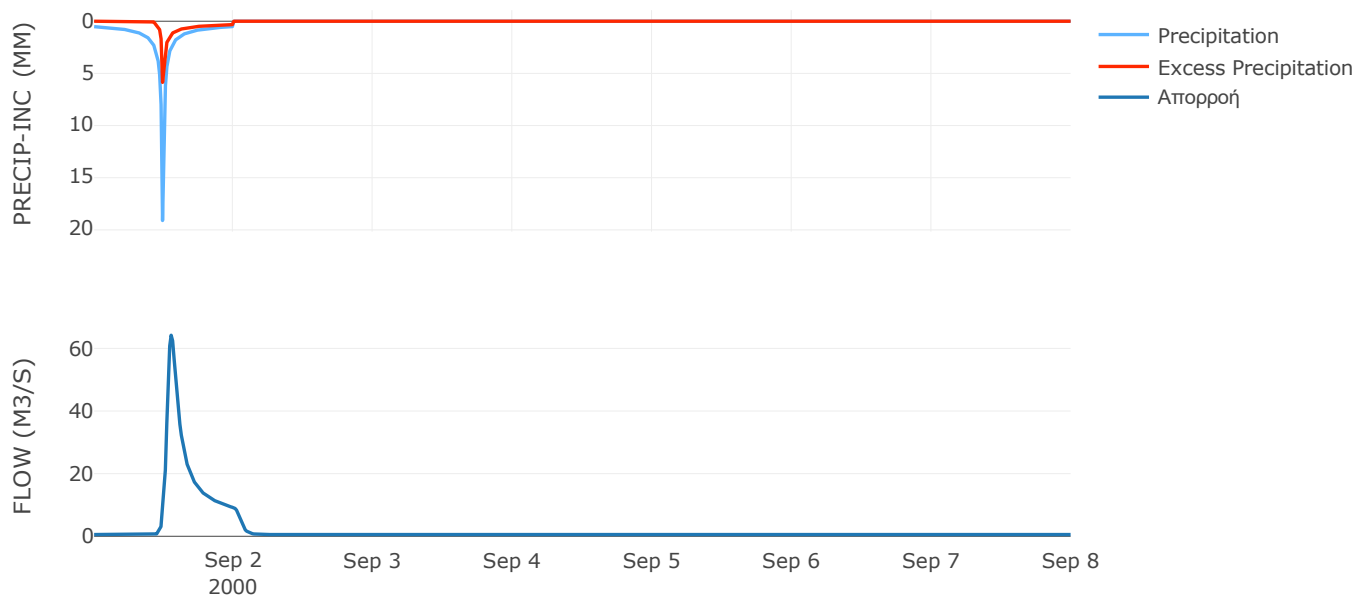
Μέθοδος  
Μετασχηματισμού: SCS

|                  |       |
|------------------|-------|
| Χρόνος Υστέρησης | 63.77 |
|------------------|-------|

Αποτελέσματα:  
EL0415FL11005

|                             |                  |
|-----------------------------|------------------|
| Παροχή αιχμής (M3/S)        | 64.21            |
| Χρονική στιγμή αιχμής       | 01Sep2000, 13:15 |
| Όγκος (MM)                  | 60.31            |
| Όγκος βροχόπτωσης (M3)      | 3.34E6           |
| Όγκος απωλειών (M3)         | 2.34E6           |
| Ενεργός Όγκος (M3)          | 1E6              |
| Όγκος άμεσης απορροής (M3)  | 1E6              |
| Όγκος βασικής απορροής (M3) | 3.35E5           |

Βροχόπτωση και Απορροή



## 2.2 Δεδομένα και υδρογραφήματα σχεδιασμού Κλάδων υδρογραφικού δικτύου

Κλάδος: R21

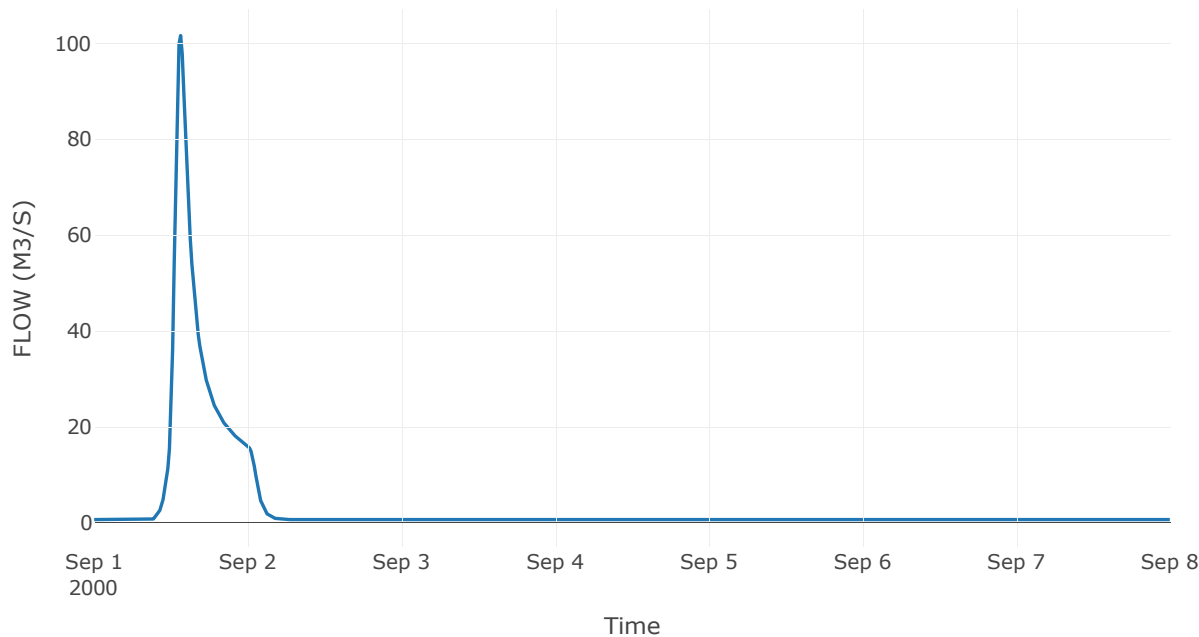
Κατάντη : J1

|                   |                 |
|-------------------|-----------------|
| Μέθοδος Διόδευσης | Χρόνος          |
| Αρχική Μεταβλητή  | Combined Inflow |
| Χρόνος Υστέρησης  | 0               |

Αποτελέσματα: R21

|                              |                  |
|------------------------------|------------------|
| Παροχή Αιχμής(M3/S)          | 101.6            |
| Χρονική στιγμή αιχμής        | 01Sep2000, 13:30 |
| Όγκος(MM)                    | 75.07            |
| Παροχή Αιχμής Εισόδου (M3/S) | 101.6            |
| Όγκος Εισροής(M3)            | 2.23E6           |

Απορροή



Κλάδος: R31

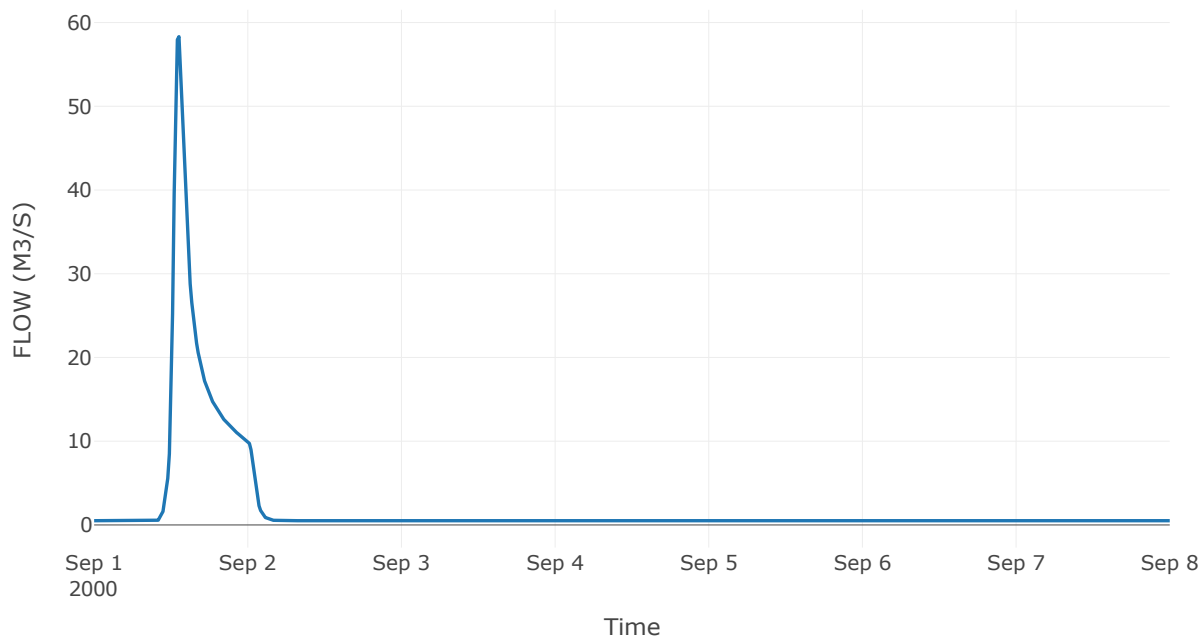
Κατάντη : J1

|                   |                 |
|-------------------|-----------------|
| Μέθοδος Διόδευσης | Χρόνος          |
| Αρχική Μεταβλητή  | Combined Inflow |
| Χρόνος Υστέρησης  | 0               |

Αποτελέσματα: R31

|                              |                  |
|------------------------------|------------------|
| Παροχή Αιχμής(M3/S)          | 58.31            |
| Χρονική στιγμή αιχμής        | 01Sep2000, 13:15 |
| Όγκος(MM)                    | 63.6             |
| Παροχή Αιχμής Εισόδου (M3/S) | 58.31            |
| Όγκος Εισροής(M3)            | 1.29E6           |

Απορροή



Κλάδος: R41

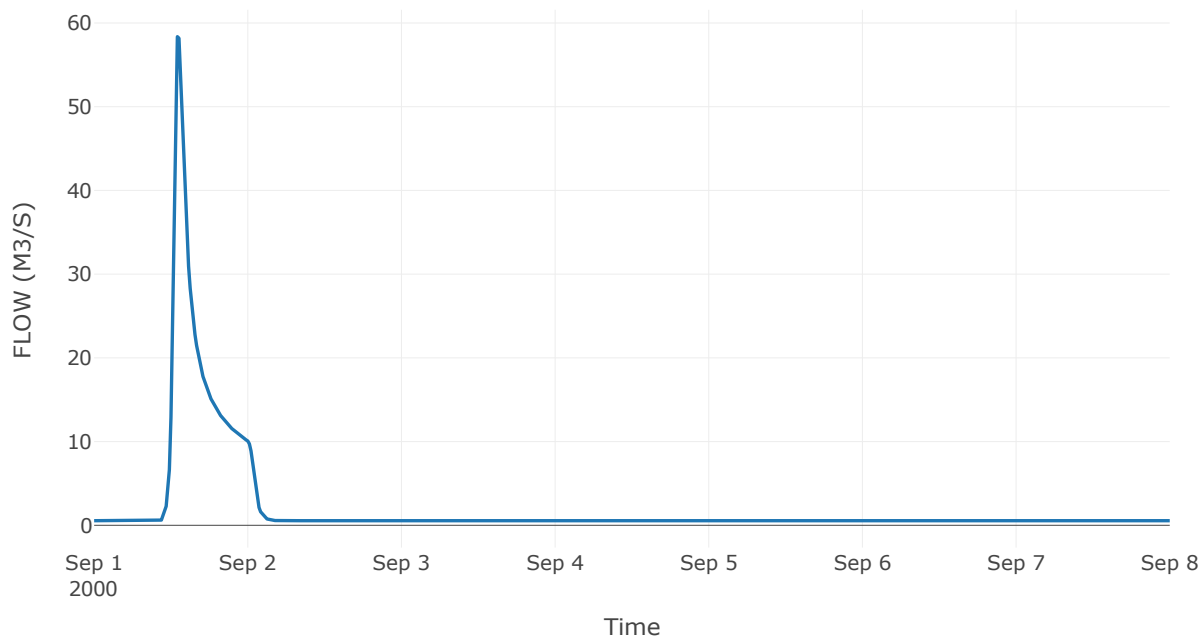
Κατάντη : J1

|                   |                 |
|-------------------|-----------------|
| Μέθοδος Διόδευσης | Χρόνος          |
| Αρχική Μεταβλητή  | Combined Inflow |
| Χρόνος Υστέρησης  | 0               |

Αποτελέσματα: R41

|                              |                  |
|------------------------------|------------------|
| Παροχή Αιχμής(M3/S)          | 58.37            |
| Χρονική στιγμή αιχμής        | 01Sep2000, 13:00 |
| Όγκος(MM)                    | 59.07            |
| Παροχή Αιχμής Εισόδου (M3/S) | 58.37            |
| Όγκος Εισροής(M3)            | 1.3E6            |

Απορροή





Κλάδος: R51

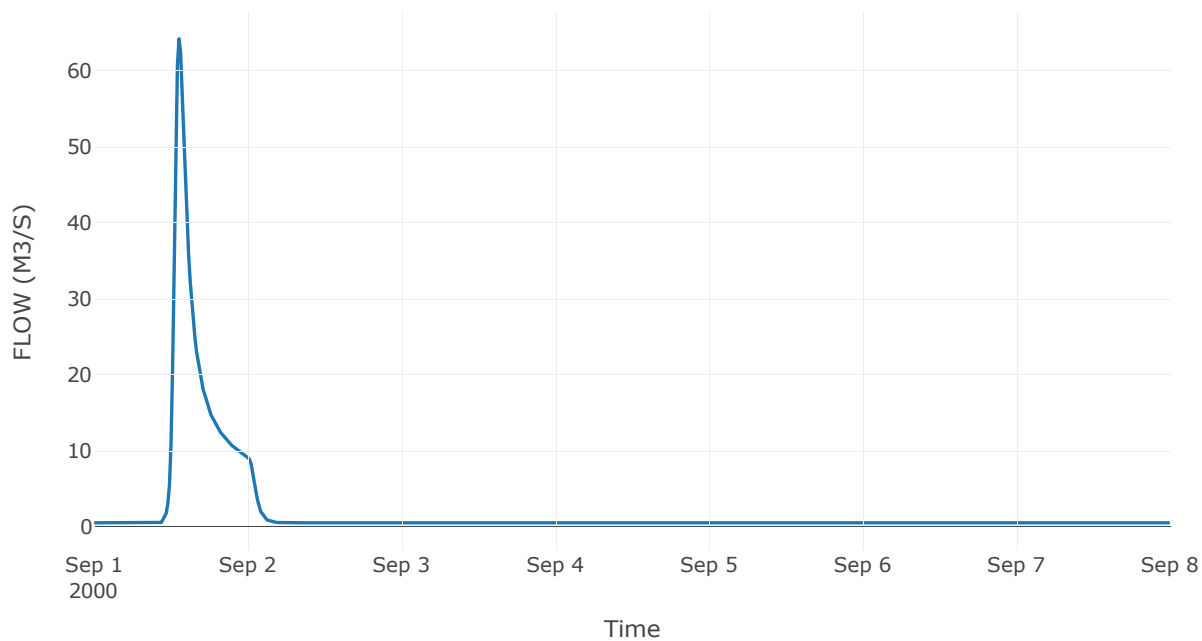
Κατάντη : J1

|                   |                 |
|-------------------|-----------------|
| Μέθοδος Διόδευσης | Χρόνος          |
| Αρχική Μεταβλητή  | Combined Inflow |
| Χρόνος Υστέρησης  | 0               |

Αποτελέσματα: R51

|                              |                  |
|------------------------------|------------------|
| Παροχή Αιχμής(M3/S)          | 64.21            |
| Χρονική στιγμή αιχμής        | 01Sep2000, 13:15 |
| Όγκος(MM)                    | 60.31            |
| Παροχή Αιχμής Εισόδου (M3/S) | 64.21            |
| Όγκος Εισροής(M3)            | 1.34E6           |

Απορροή



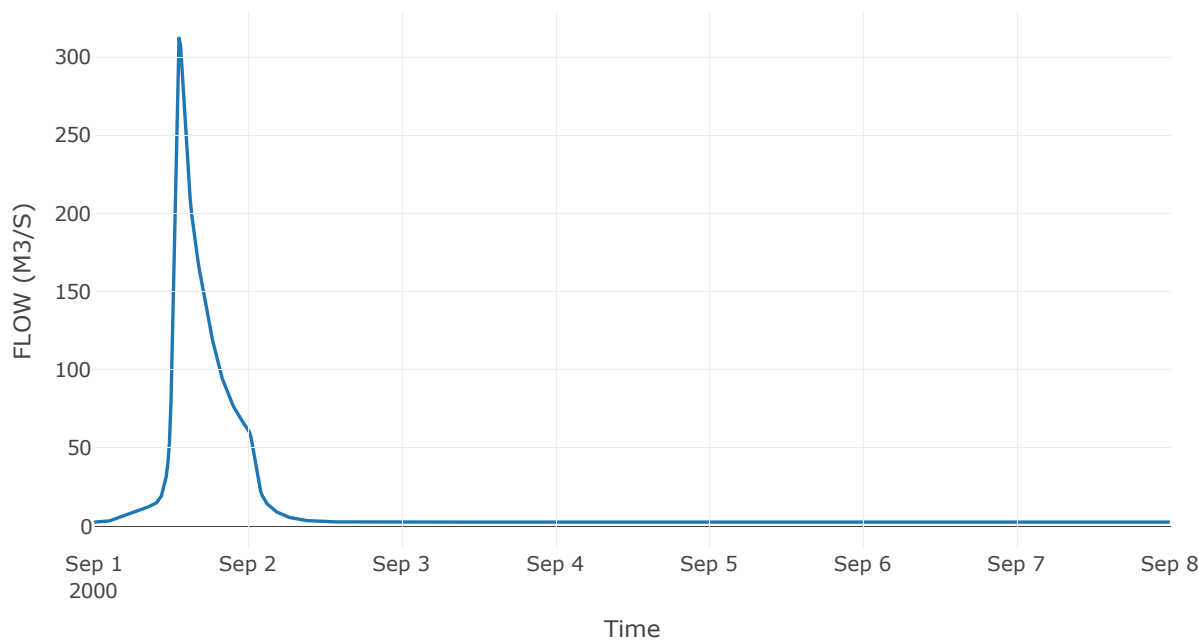
## 2.3 Δεδομένα και υδρογραφήματα σχεδιασμού Κόμβων υδρογραφικού δικτύου

Κόμβος εξόδου: J1

Αποτελέσμα  
α: J1

|                       |                  |
|-----------------------|------------------|
| Παροχή αιχμής (M3/S)  | 312.05           |
| Χρονική στιγμή αιχμής | 01Sep2000, 13:15 |
| Όγκος (MM)            | 79.51            |

Απορροή



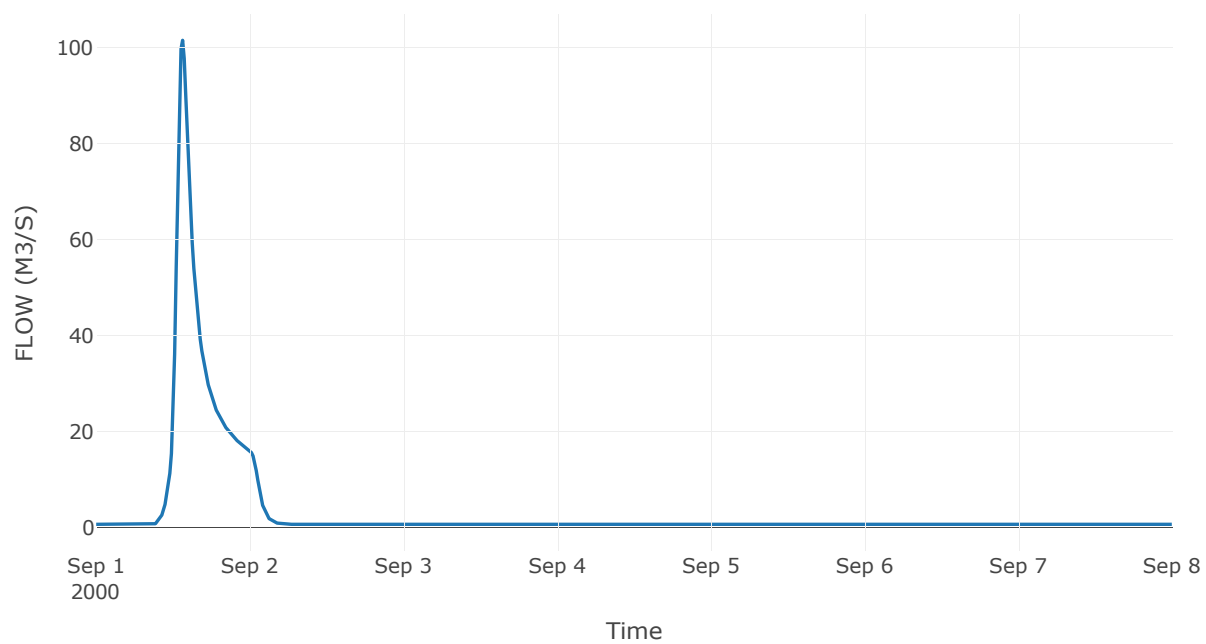
Κόμβος: J2

Κατάντη : R21

Αποτελέσματα: J2

|                       |                  |
|-----------------------|------------------|
| Παροχή Αιχμής(M3/S)   | 101.6            |
| Χρονική στιγμή αιχμής | 01Sep2000, 13:30 |
| Όγκος(MM)             | 75.07            |

Απορροή



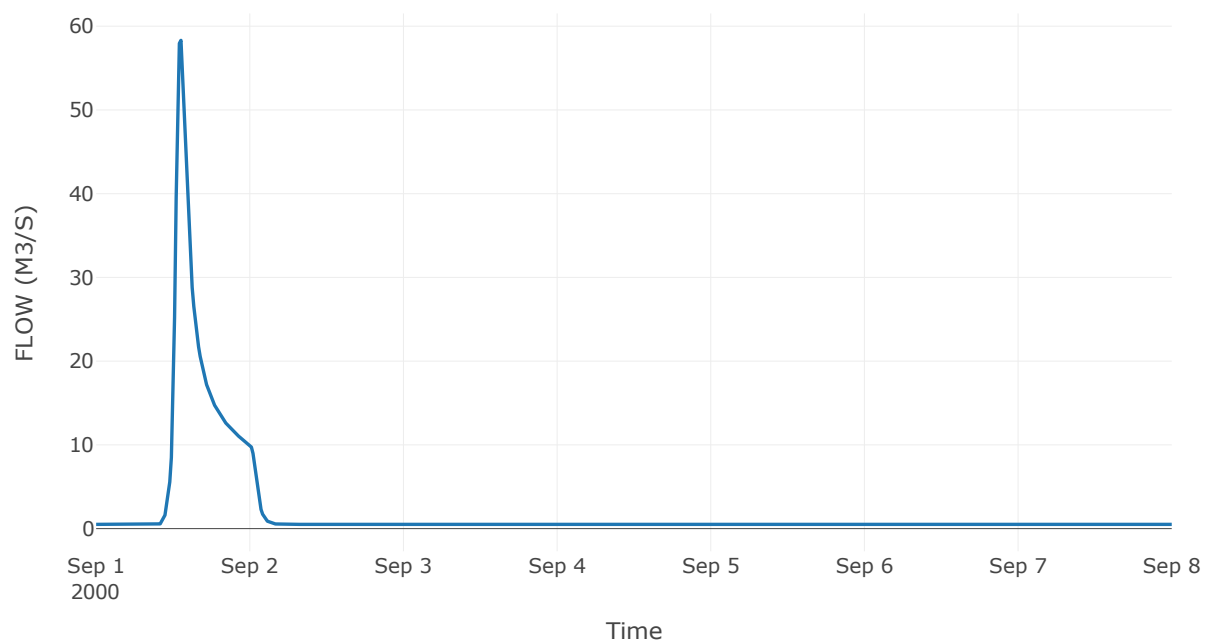
Κόμβος: J3

Κατάντη : R31

Αποτελέσματα: J3

|                       |                  |
|-----------------------|------------------|
| Παροχή Αιχμής(M3/S)   | 58.31            |
| Χρονική στιγμή αιχμής | 01Sep2000, 13:15 |
| Όγκος(MM)             | 63.6             |

Απορροή



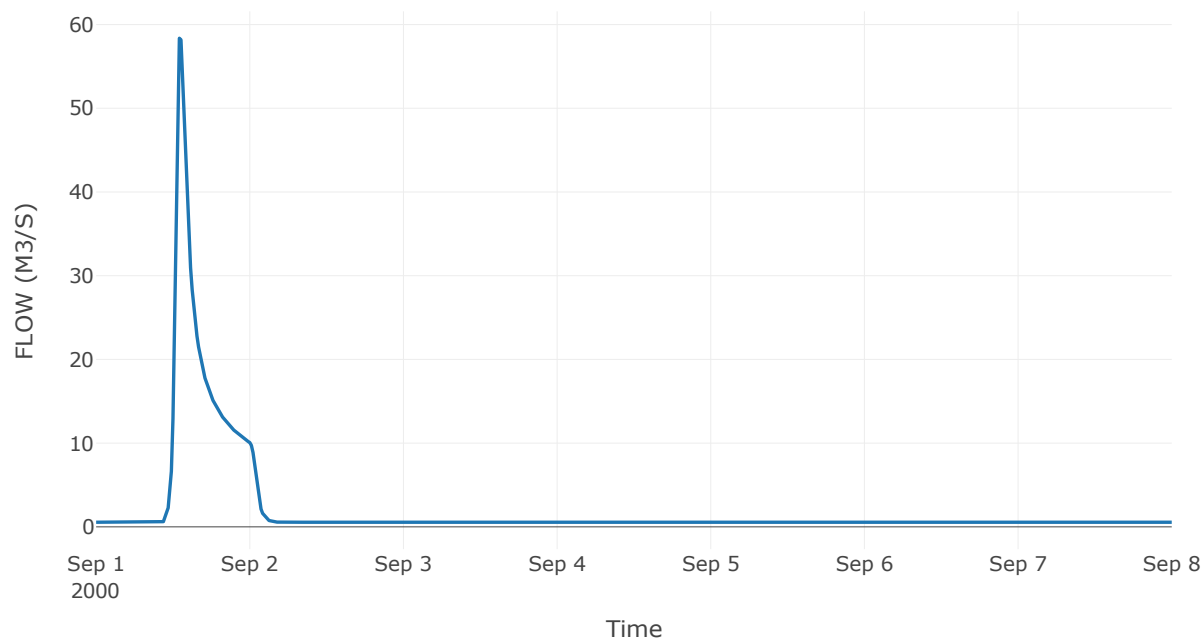
Κόμβος: J4

Κατάντη : R41

Αποτελέσματα: J4

|                       |                  |
|-----------------------|------------------|
| Παροχή Αιχμής(M3/S)   | 58.37            |
| Χρονική στιγμή αιχμής | 01Sep2000, 13:00 |
| Όγκος(MM)             | 59.07            |

Απορροή



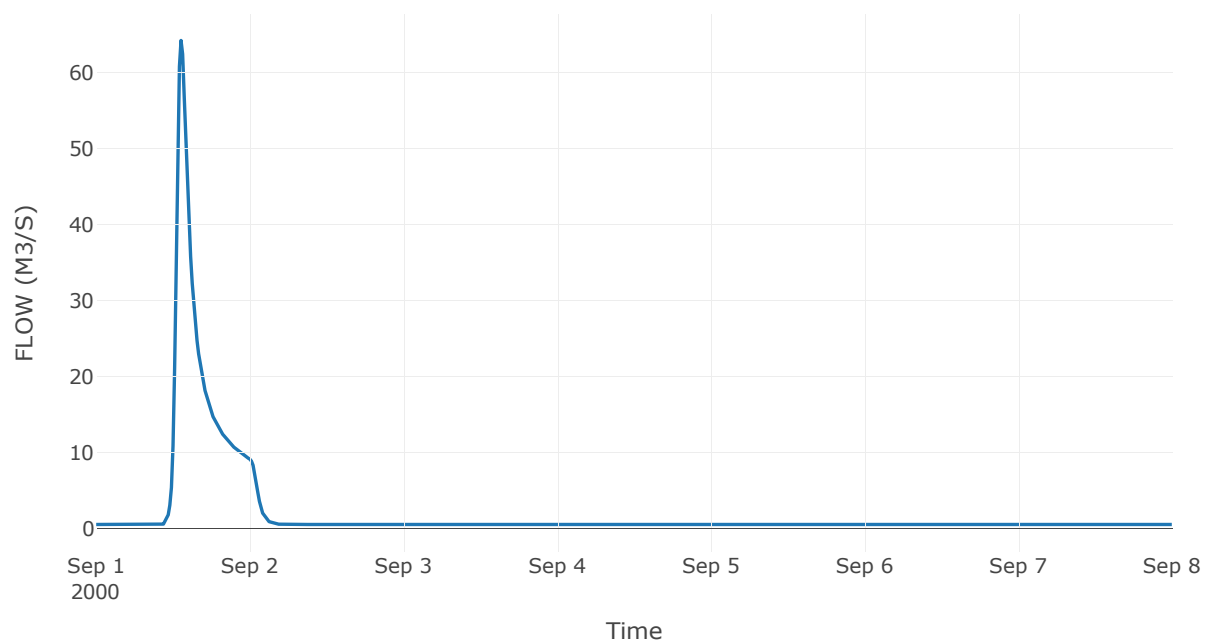
Κόμβος: J5

Κατάντη : R51

Αποτελέσματα: J5

|                       |                  |
|-----------------------|------------------|
| Παροχή Αιχμής(M3/S)   | 64.21            |
| Χρονική στιγμή αιχμής | 01Sep2000, 13:15 |
| Όγκος(MM)             | 60.31            |

Απορροή



### 3 Δεδομένα εισόδου και αποτελέσματα υδρολογικού σεναρίου T=50L

### 3.1 Αποτελέσματα, υετογραφήματα και υδρογραφήματα σχεδιασμού υπολεκανών



Υπολεκάνη: EL0415FL11001

Έκταση (KM2) : 14.53

Κατάντη : J1

Μέθοδος Απωλειών: SCS

|                                |       |
|--------------------------------|-------|
| Ποσοστό αδιαπέρατης επιφάνειας | 100   |
| Αριθμός Καμπύλης Απορροής-CN   | 98.71 |
| Αρχικές Απώλειες               | 0.66  |

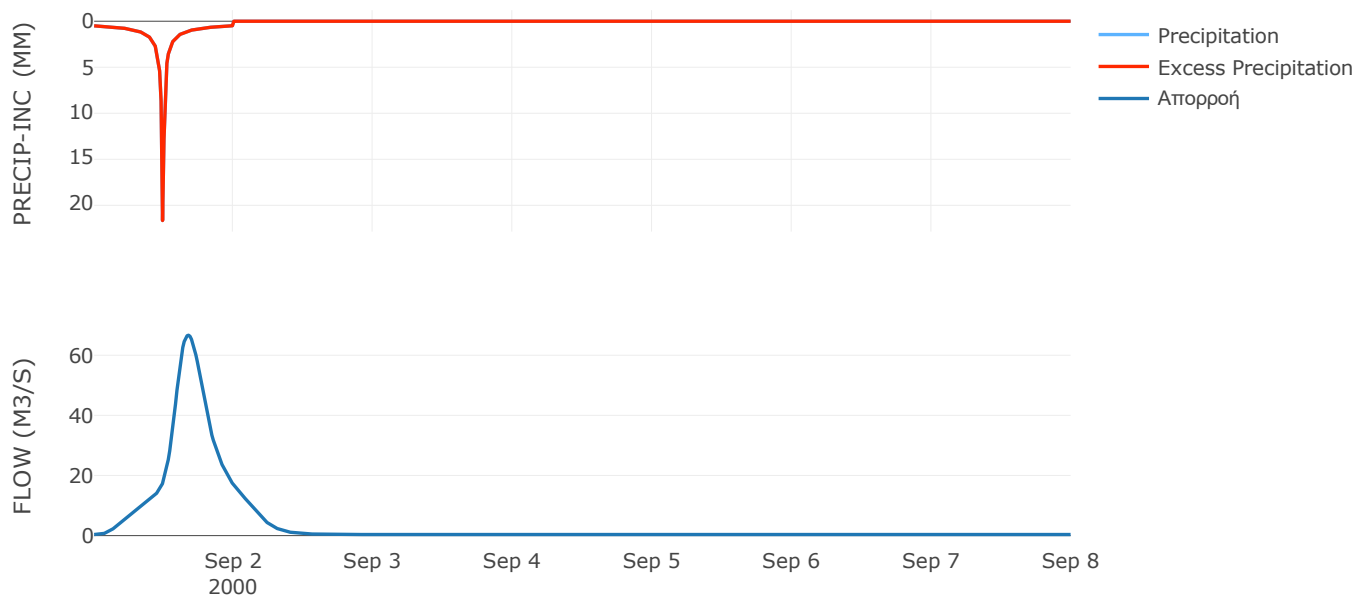
Μέθοδος  
Μετασχηματισμού: SCS

|                  |        |
|------------------|--------|
| Χρόνος Υστέρησης | 247.42 |
|------------------|--------|

Αποτελέσματα:  
EL0415FL11001

|                             |                  |
|-----------------------------|------------------|
| Παροχή αιχμής (M3/S)        | 66.66            |
| Χρονική στιγμή αιχμής       | 01Sep2000, 16:15 |
| Όγκος (MM)                  | 170.93           |
| Όγκος βροχόπτωσης (M3)      | 2.26E6           |
| Όγκος απωλειών (M3)         | 0                |
| Ενεργός Όγκος (M3)          | 2.26E6           |
| Όγκος άμεσης απορροής (M3)  | 2.26E6           |
| Όγκος βασικής απορροής (M3) | 2.2E5            |

Βροχόπτωση και Απορροή



Υπολεκάνη: EL0415FL11002

Έκταση (KM2) : 29.77

Κατάντη : J2

Μέθοδος Απωλειών: SCS

|                                |       |
|--------------------------------|-------|
| Ποσοστό αδιαπέρατης επιφάνειας | 0     |
| Αριθμός Καμπύλης Απορροής-CN   | 42.37 |
| Αρχικές Απώλειες               | 69.1  |

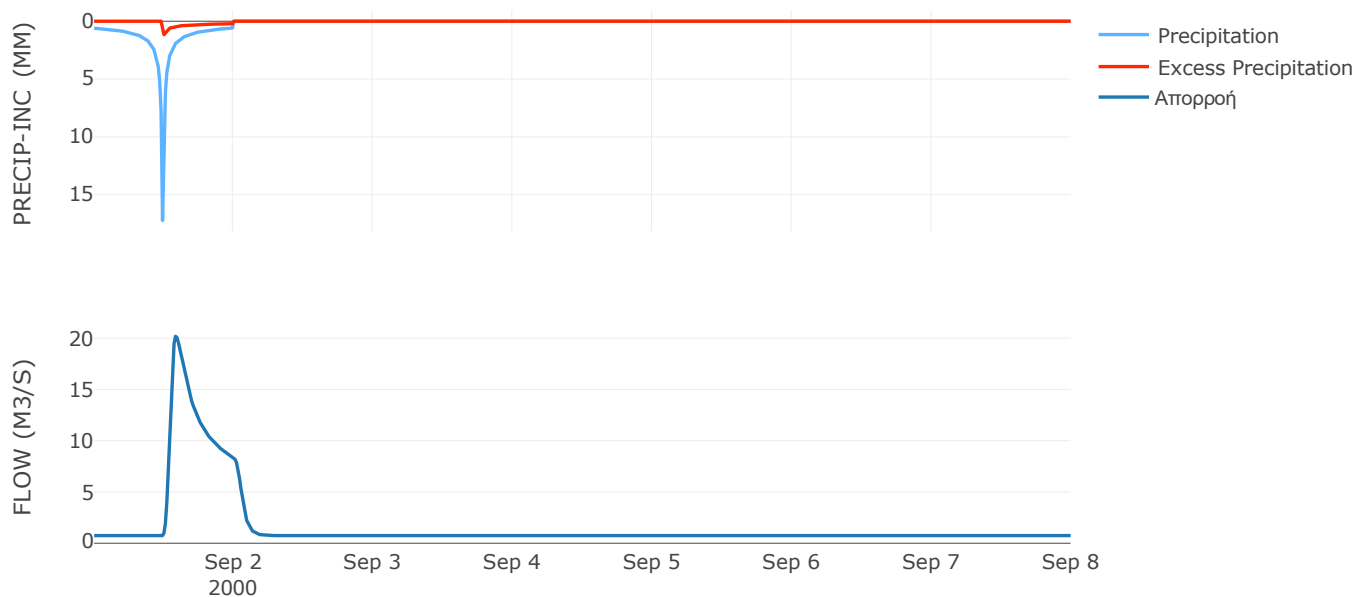
Μέθοδος  
Μετασχηματισμού: SCS

|                  |       |
|------------------|-------|
| Χρόνος Υστέρησης | 74.93 |
|------------------|-------|

Αποτελέσματα:  
EL0415FL11002

|                             |                  |
|-----------------------------|------------------|
| Παροχή αιχμής (M3/S)        | 20.19            |
| Χρονική στιγμή αιχμής       | 01Sep2000, 14:00 |
| Όγκος (MM)                  | 32.93            |
| Όγκος βροχόπτωσης (M3)      | 4.67E6           |
| Όγκος απωλειών (M3)         | 4.14E6           |
| Ενεργός Όγκος (M3)          | 5.3E5            |
| Όγκος άμεσης απορροής (M3)  | 5.3E5            |
| Όγκος βασικής απορροής (M3) | 4.5E5            |

Βροχόπτωση και Απορροή



Υπολεκάνη: EL0415FL11003

Έκταση (KM2) : 20.29

Κατάνη : J3

Μέθοδος Απωλειών: SCS

|                                |       |
|--------------------------------|-------|
| Ποσοστό αδιαπέρατης επιφάνειας | 0     |
| Αριθμός Καμπύλης Απορροής-CN   | 36.45 |
| Αρχικές Απώλειες               | 88.59 |

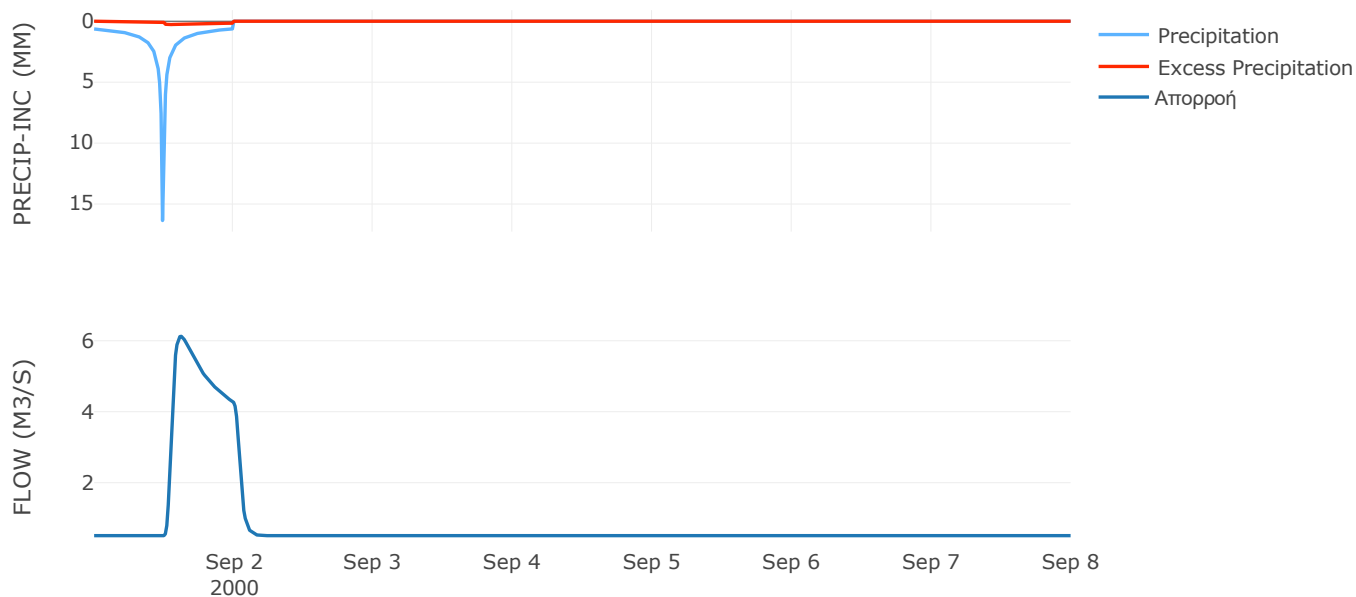
Μέθοδος  
Μετασχηματισμού: SCS

|                  |       |
|------------------|-------|
| Χρόνος Υστέρησης | 56.71 |
|------------------|-------|

Αποτελέσματα:  
EL0415FL11003

|                             |                  |
|-----------------------------|------------------|
| Παροχή αιχμής (M3/S)        | 6.12             |
| Χρονική στιγμή αιχμής       | 01Sep2000, 15:00 |
| Όγκος (MM)                  | 24.89            |
| Όγκος βροχόπτωσης (M3)      | 3.24E6           |
| Όγκος απωλειών (M3)         | 3.04E6           |
| Ενεργός Όγκος (M3)          | 1.98E5           |
| Όγκος άμεσης απορροής (M3)  | 1.98E5           |
| Όγκος βασικής απορροής (M3) | 3.07E5           |

Βροχόπτωση και Απορροή



Υπολεκάνη: EL0415FL11004

Έκταση (KM2) : 21.97

Κατάντη : J4

Μέθοδος Απωλειών: SCS

|                                |       |
|--------------------------------|-------|
| Ποσοστό αδιαπέρατης επιφάνειας | 0     |
| Αριθμός Καμπύλης Απορροής-CN   | 34.25 |
| Αρχικές Απώλειες               | 97.51 |

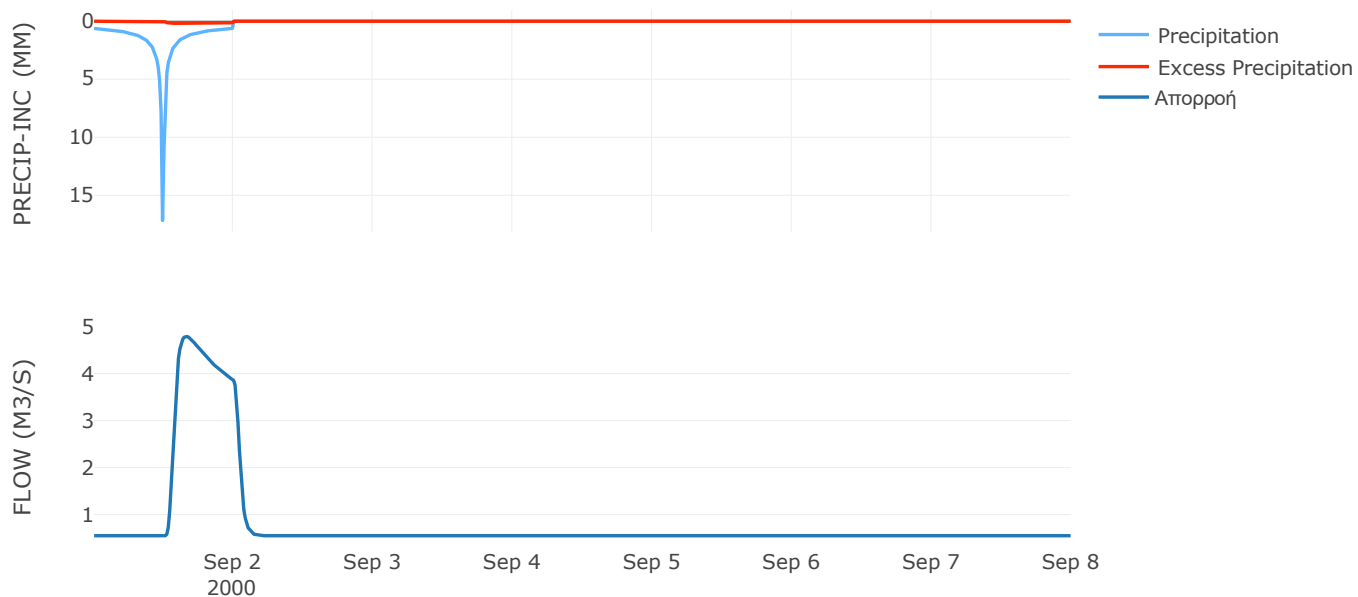
Μέθοδος  
Μετασχηματισμού: SCS

|                  |       |
|------------------|-------|
| Χρόνος Υστέρησης | 54.14 |
|------------------|-------|

Αποτελέσματα:  
EL0415FL11004

|                             |                  |
|-----------------------------|------------------|
| Παροχή αιχμής (M3/S)        | 4.79             |
| Χρονική στιγμή αιχμής       | 01Sep2000, 15:45 |
| Όγκος (MM)                  | 22.28            |
| Όγκος βροχόπτωσης (M3)      | 3.52E6           |
| Όγκος απωλειών (M3)         | 3.36E6           |
| Ενεργός Όγκος (M3)          | 1.57E5           |
| Όγκος άμεσης απορροής (M3)  | 1.57E5           |
| Όγκος βασικής απορροής (M3) | 3.32E5           |

Βροχόπτωση και Απορροή



Υπολεκάνη: EL0415FL11005

Έκταση (KM2) : 22.14

Κατάντη : J5

Μέθοδος Απωλειών: SCS

|                                |       |
|--------------------------------|-------|
| Ποσοστό αδιαπέρατης επιφάνειας | 0     |
| Αριθμός Καμπύλης Απορροής-CN   | 37.41 |
| Αρχικές Απώλειες               | 85    |

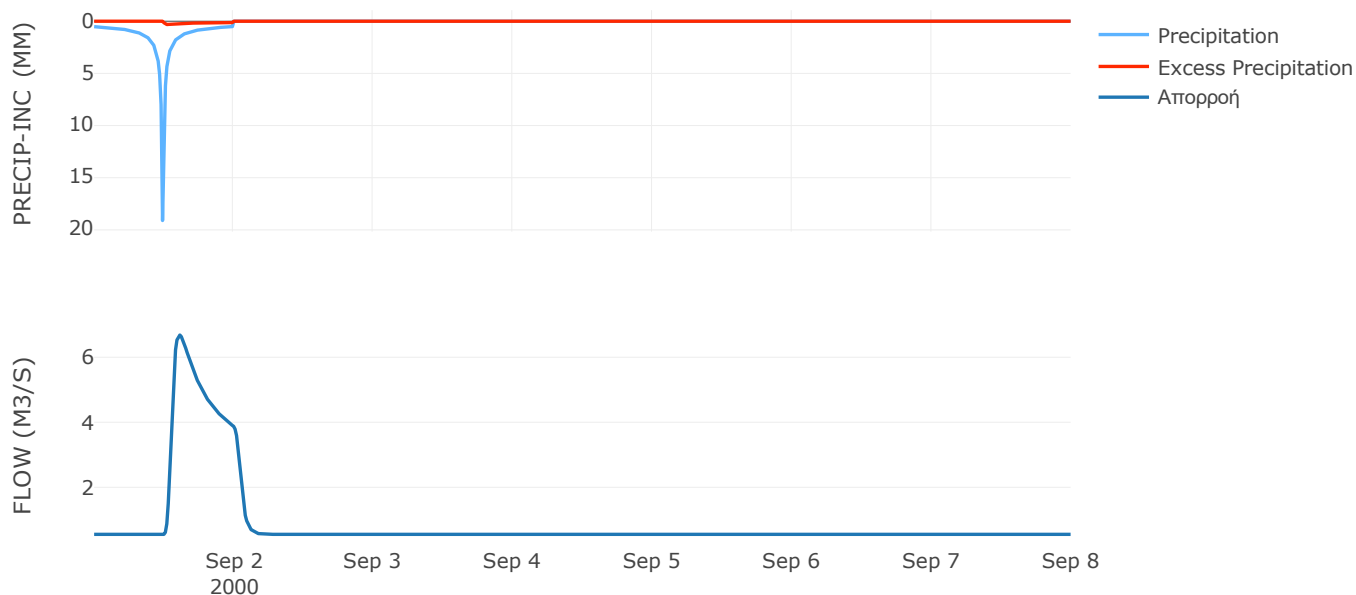
Μέθοδος  
Μετασχηματισμού: SCS

|                  |       |
|------------------|-------|
| Χρόνος Υστέρησης | 63.77 |
|------------------|-------|

Αποτελέσματα:  
EL0415FL11005

|                             |                  |
|-----------------------------|------------------|
| Παροχή αιχμής (M3/S)        | 6.68             |
| Χρονική στιγμή αιχμής       | 01Sep2000, 14:45 |
| Όγκος (MM)                  | 23.97            |
| Όγκος βροχόπτωσης (M3)      | 3.34E6           |
| Όγκος απωλειών (M3)         | 3.15E6           |
| Ενεργός Όγκος (M3)          | 1.96E5           |
| Όγκος άμεσης απορροής (M3)  | 1.96E5           |
| Όγκος βασικής απορροής (M3) | 3.35E5           |

Βροχόπτωση και Απορροή



## 3.2 Δεδομένα και υδρογραφήματα σχεδιασμού Κλάδων υδρογραφικού δικτύου

Κλάδος: R21

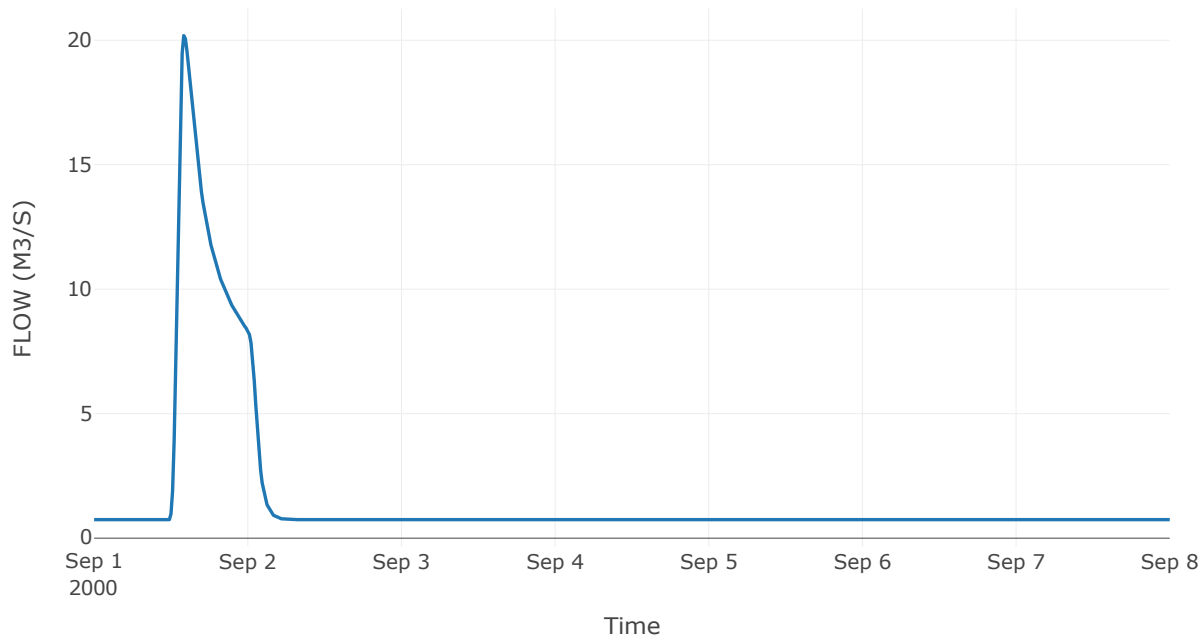
Κατάντη : J1

|                   |                 |
|-------------------|-----------------|
| Μέθοδος Διόδευσης | Χρόνος          |
| Αρχική Μεταβλητή  | Combined Inflow |
| Χρόνος Υστέρησης  | 0               |

Αποτελέσματα: R21

|                              |                  |
|------------------------------|------------------|
| Παροχή Αιχμής(M3/S)          | 20.19            |
| Χρονική στιγμή αιχμής        | 01Sep2000, 14:00 |
| Όγκος(MM)                    | 32.93            |
| Παροχή Αιχμής Εισόδου (M3/S) | 20.19            |
| Όγκος Εισροής(M3)            | 9.8E5            |

Απορροή



Κλάδος: R31

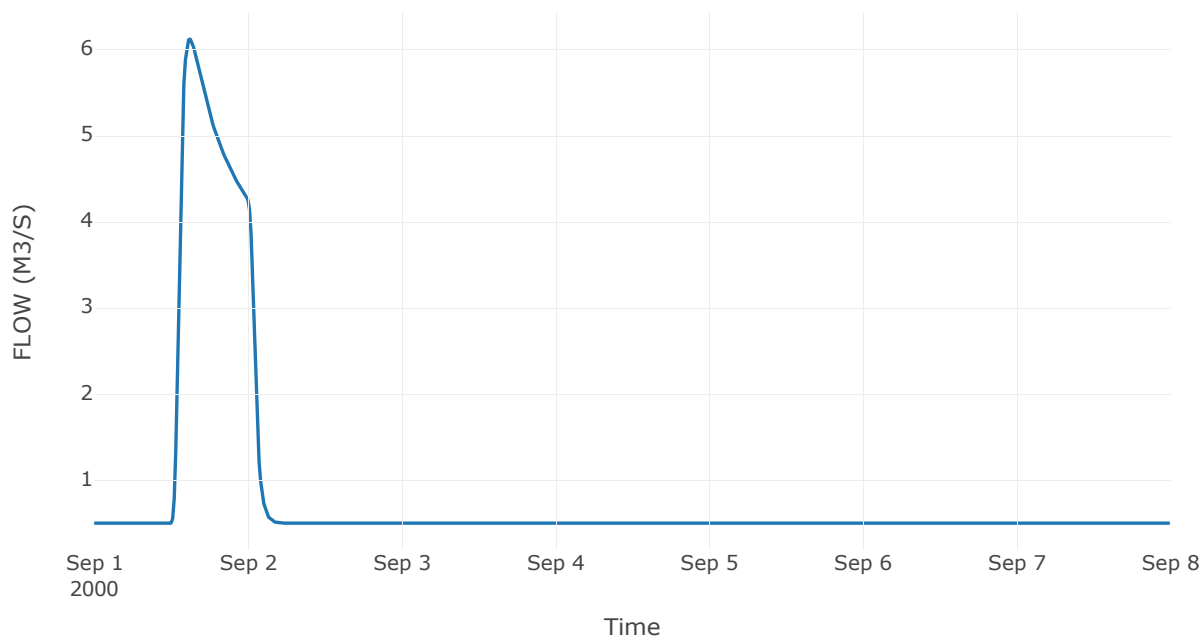
Κατάντη : J1

|                   |                 |
|-------------------|-----------------|
| Μέθοδος Διόδευσης | Χρόνος          |
| Αρχική Μεταβλητή  | Combined Inflow |
| Χρόνος Υστέρησης  | 0               |

Αποτελέσματα: R31

|                              |                  |
|------------------------------|------------------|
| Παροχή Αιχμής(M3/S)          | 6.12             |
| Χρονική στιγμή αιχμής        | 01Sep2000, 15:00 |
| Όγκος(MM)                    | 24.89            |
| Παροχή Αιχμής Εισόδου (M3/S) | 6.12             |
| Όγκος Εισροής(M3)            | 5.05E5           |

Απορροή



Κλάδος: R41

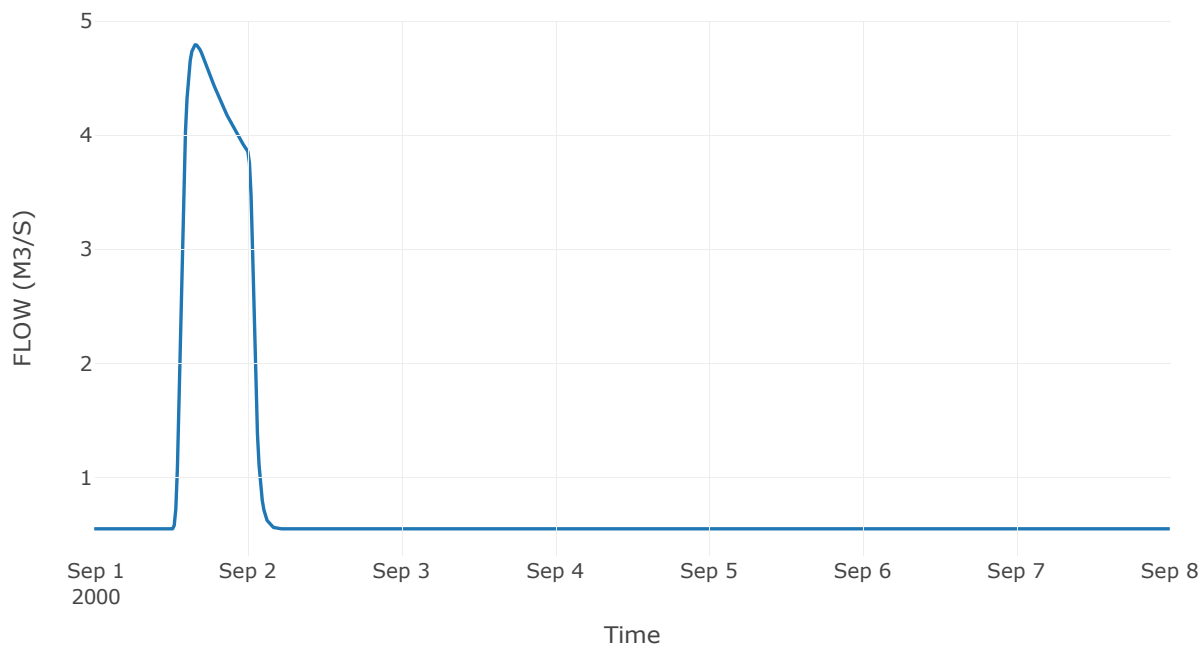
Κατάντη : J1

|                   |                 |
|-------------------|-----------------|
| Μέθοδος Διόδευσης | Χρόνος          |
| Αρχική Μεταβλητή  | Combined Inflow |
| Χρόνος Υστέρησης  | 0               |

Αποτελέσματα: R41

|                              |                  |
|------------------------------|------------------|
| Παροχή Αιχμής(M3/S)          | 4.79             |
| Χρονική στιγμή αιχμής        | 01Sep2000, 15:45 |
| Όγκος(MM)                    | 22.28            |
| Παροχή Αιχμής Εισόδου (M3/S) | 4.79             |
| Όγκος Εισροής(M3)            | 4.9E5            |

Απορροή





Κλάδος: R51

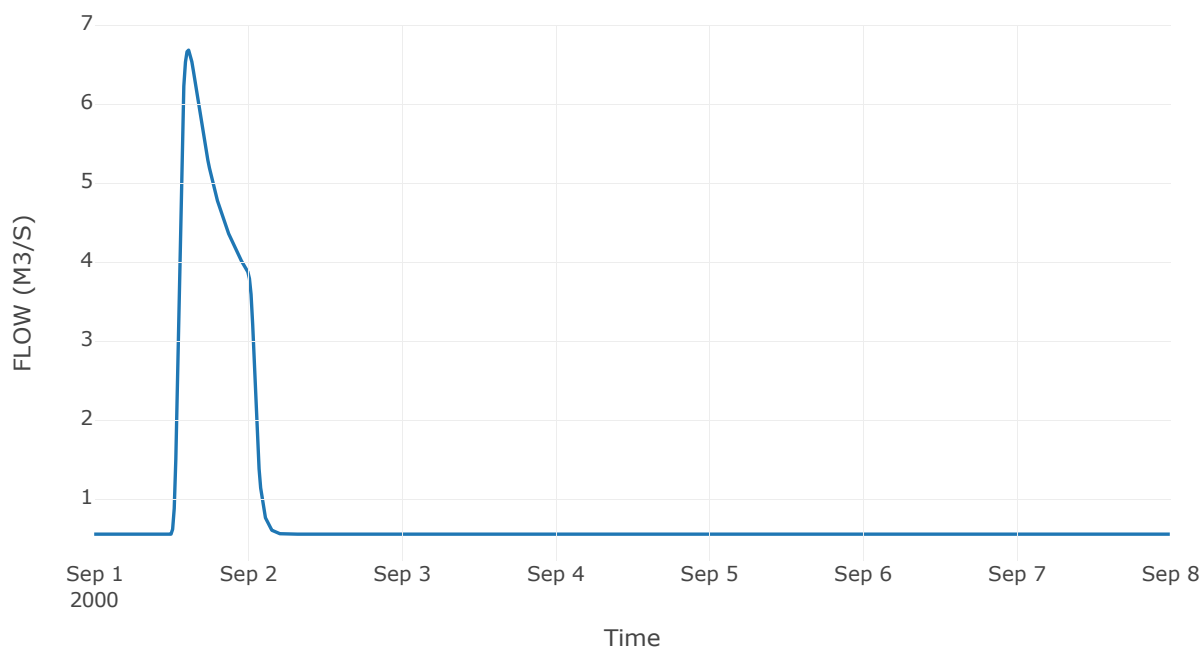
Κατάντη : J1

|                   |                 |
|-------------------|-----------------|
| Μέθοδος Διόδευσης | Χρόνος          |
| Αρχική Μεταβλητή  | Combined Inflow |
| Χρόνος Υστέρησης  | 0               |

Αποτελέσματα: R51

|                              |                  |
|------------------------------|------------------|
| Παροχή Αιχμής(M3/S)          | 6.68             |
| Χρονική στιγμή αιχμής        | 01Sep2000, 14:45 |
| Όγκος(MM)                    | 23.97            |
| Παροχή Αιχμής Εισόδου (M3/S) | 6.68             |
| Όγκος Εισροής(M3)            | 5.31E5           |

Απορροή



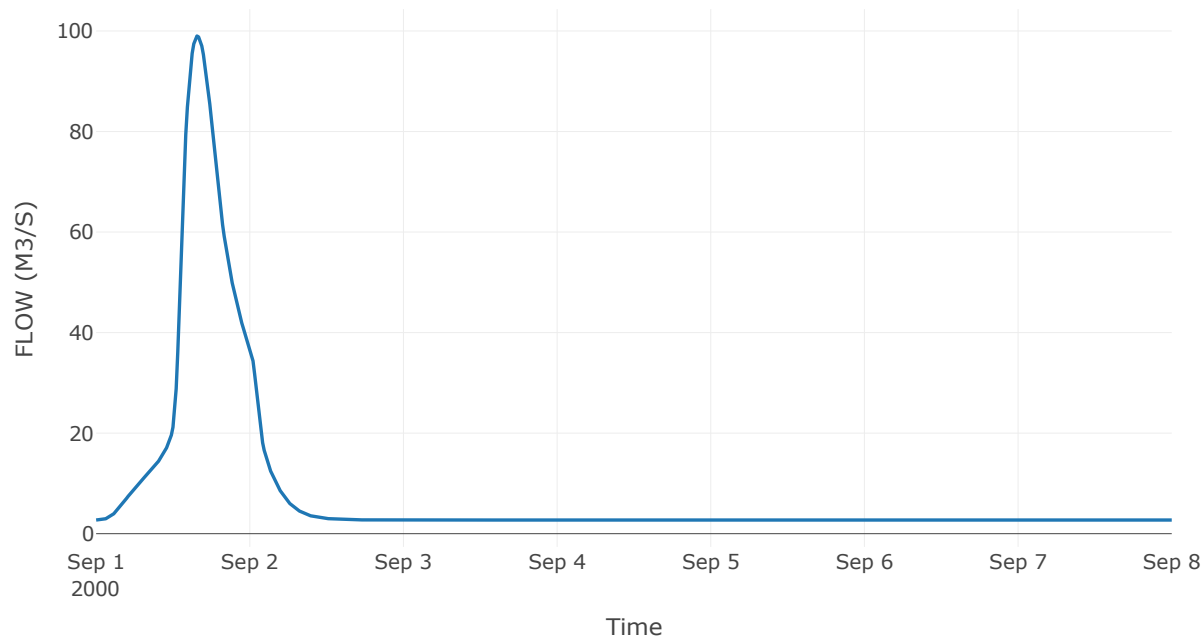
### 3.1 Δεδομένα και υδρογραφήματα σχεδιασμού Κόμβων υδρογραφικού δικτύου

Κόμβος εξόδου: J1

Αποτελέσμα  
α: J1

|                       |                  |
|-----------------------|------------------|
| Παροχή αιχμής (M3/S)  | 99               |
| Χρονική στιγμή αιχμής | 01Sep2000, 15:45 |
| Όγκος (MM)            | 45.91            |

Απορροή



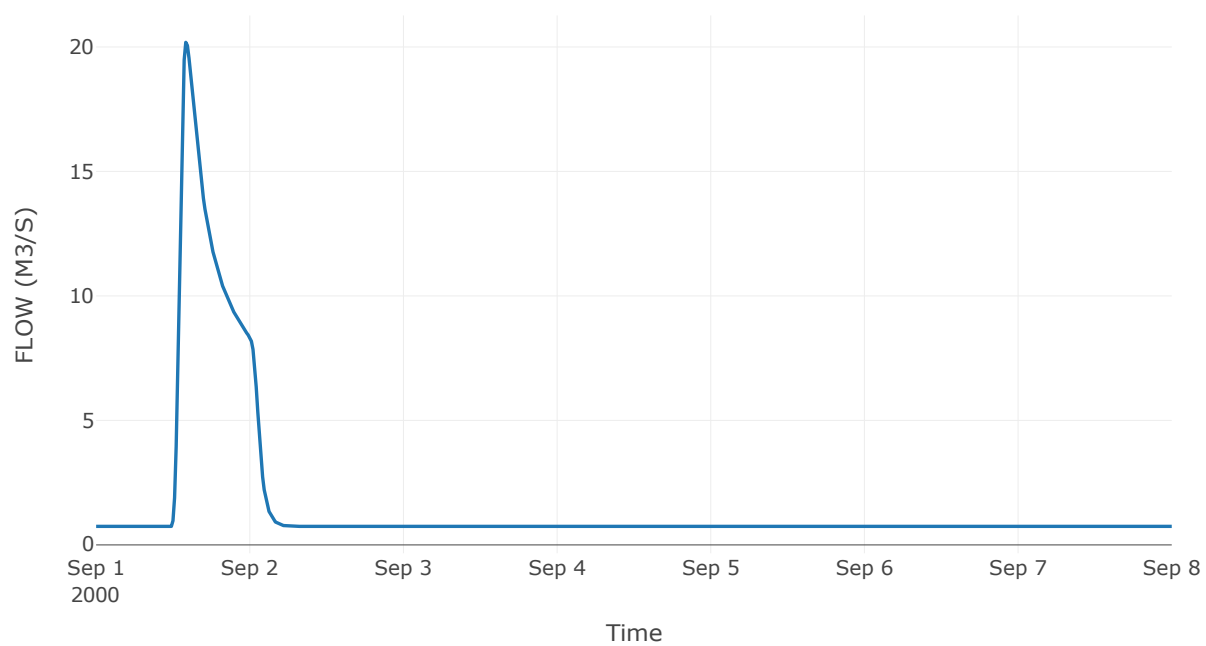
Κόμβος: J2

Κατάντη : R21

Αποτελέσματα: J2

|                       |                  |
|-----------------------|------------------|
| Παροχή Αιχμής(M3/S)   | 20.19            |
| Χρονική στιγμή αιχμής | 01Sep2000, 14:00 |
| Όγκος(MM)             | 32.93            |

Απορροή



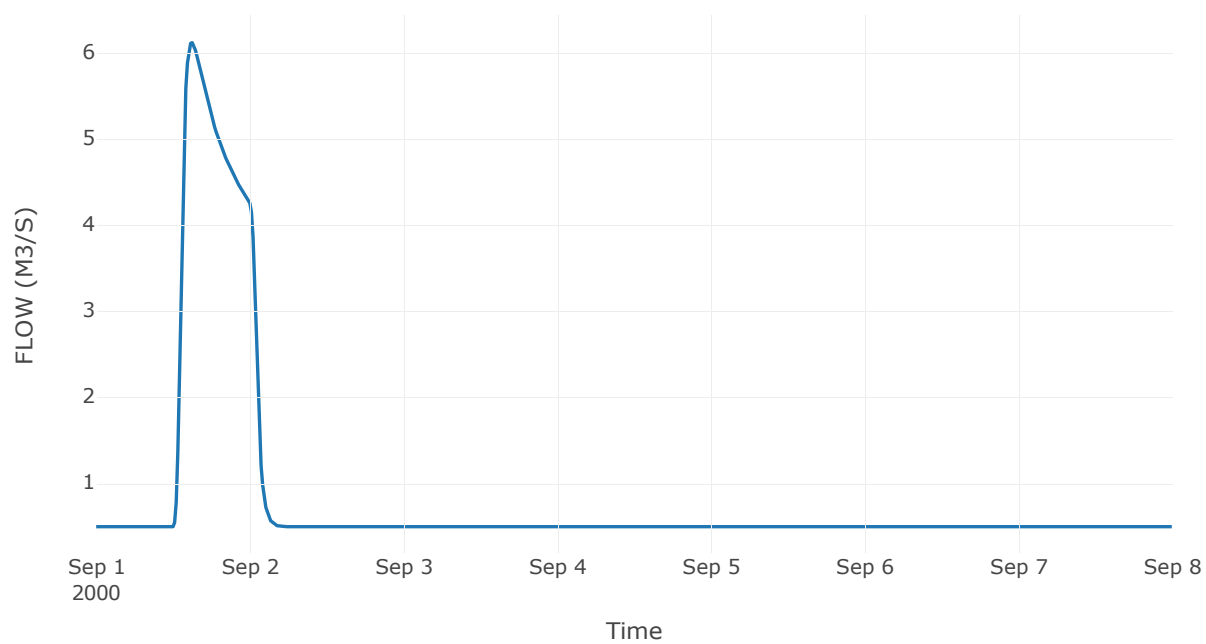
Κόμβος: J3

Κατάντη : R31

Αποτελέσματα: J3

|                       |                  |
|-----------------------|------------------|
| Παροχή Αιχμής(M3/S)   | 6.12             |
| Χρονική στιγμή αιχμής | 01Sep2000, 15:00 |
| Όγκος(MM)             | 24.89            |

Απορροή



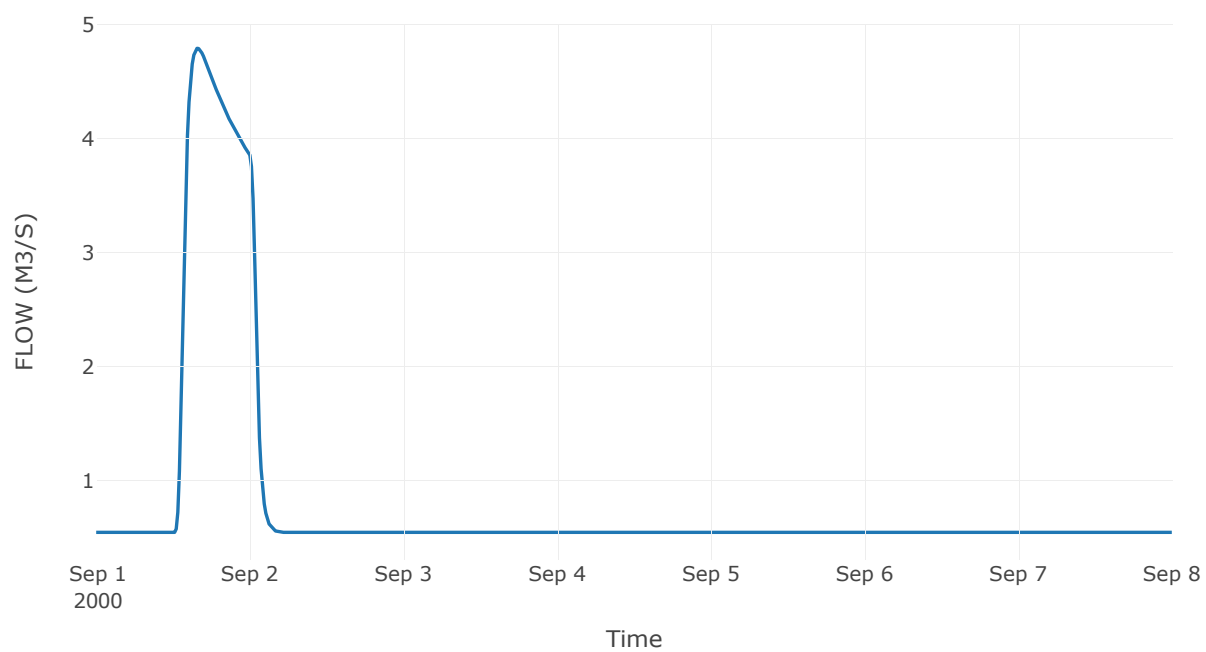
Κόμβος: J4

Κατάντη : R41

Αποτελέσματα: J4

|                       |                  |
|-----------------------|------------------|
| Παροχή Αιχμής(M3/S)   | 4.79             |
| Χρονική στιγμή αιχμής | 01Sep2000, 15:45 |
| Όγκος(MM)             | 22.28            |

Απορροή



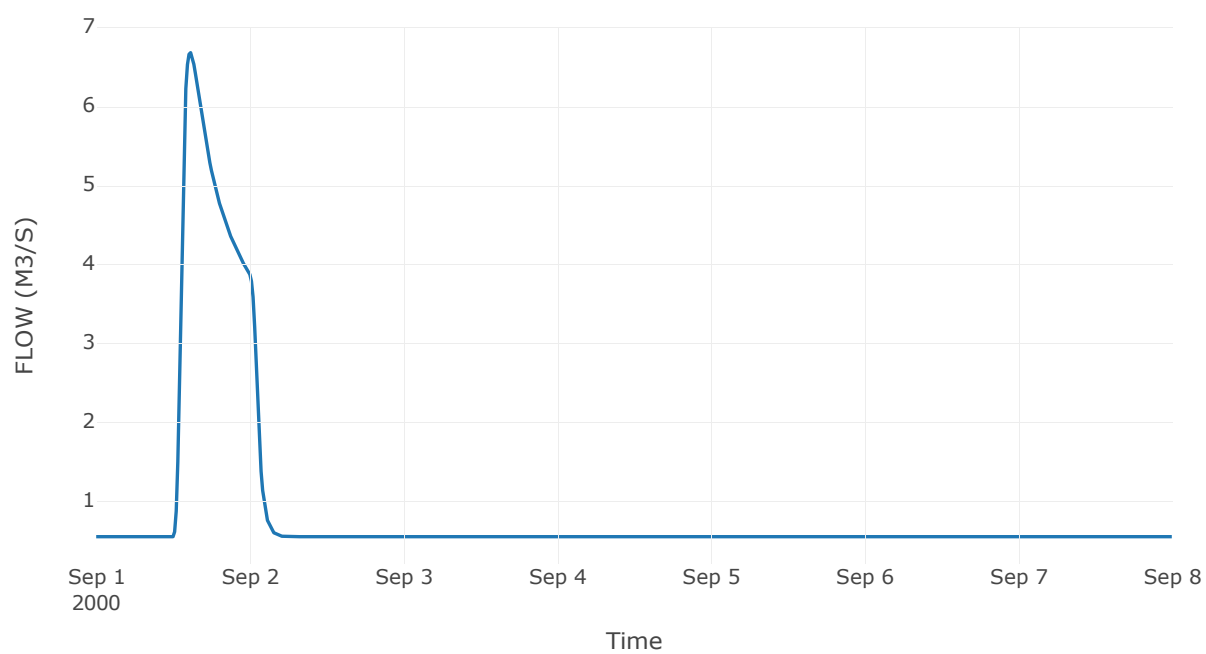
Κόμβος: J5

Κατάντη : R51

Αποτελέσματα: J5

|                       |                  |
|-----------------------|------------------|
| Παροχή Αιχμής(M3/S)   | 6.68             |
| Χρονική στιγμή αιχμής | 01Sep2000, 14:45 |
| Όγκος(MM)             | 23.97            |

Απορροή



#### 4 Δεδομένα εισόδου και αποτελέσματα υδρολογικού σεναρίου T=50U

## 4.1 Αποτελέσματα, υετογραφήματα και υδρογραφήματα σχεδιασμού υπολεκανών



Υπολεκάνη: EL0415FL11001

Έκταση (KM2) : 14.53

Κατάνη : J1

Μέθοδος Απωλειών: SCS

|                                |       |
|--------------------------------|-------|
| Ποσοστό αδιαπέρατης επιφάνειας | 100   |
| Αριθμός Καμπύλης Απορροής-CN   | 98.71 |
| Αρχικές Απώλειες               | 0.66  |

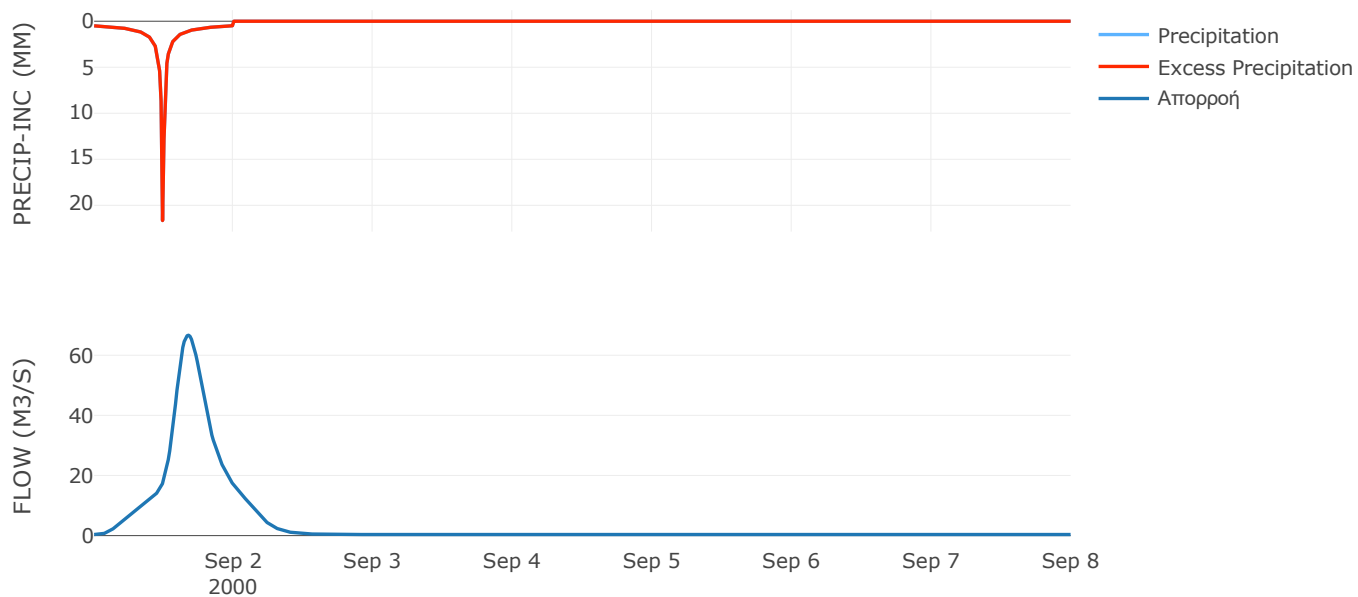
Μέθοδος  
Μετασχηματισμού: SCS

|                  |        |
|------------------|--------|
| Χρόνος Υστέρησης | 247.42 |
|------------------|--------|

Αποτελέσματα:  
EL0415FL11001

|                             |                  |
|-----------------------------|------------------|
| Παροχή αιχμής (M3/S)        | 66.66            |
| Χρονική στιγμή αιχμής       | 01Sep2000, 16:15 |
| Όγκος (MM)                  | 170.93           |
| Όγκος βροχόπτωσης (M3)      | 2.26E6           |
| Όγκος απωλειών (M3)         | 0                |
| Ενεργός Όγκος (M3)          | 2.26E6           |
| Όγκος άμεσης απορροής (M3)  | 2.26E6           |
| Όγκος βασικής απορροής (M3) | 2.2E5            |

Βροχόπτωση και Απορροή



Υπολεκάνη: EL0415FL11002

Έκταση (KM2) : 29.77

Κατάντη : J2

Μέθοδος Απωλειών: SCS

|                                |       |
|--------------------------------|-------|
| Ποσοστό αδιαπέρατης επιφάνειας | 0     |
| Αριθμός Καμπύλης Απορροής-CN   | 80.1  |
| Αρχικές Απώλειες               | 12.62 |

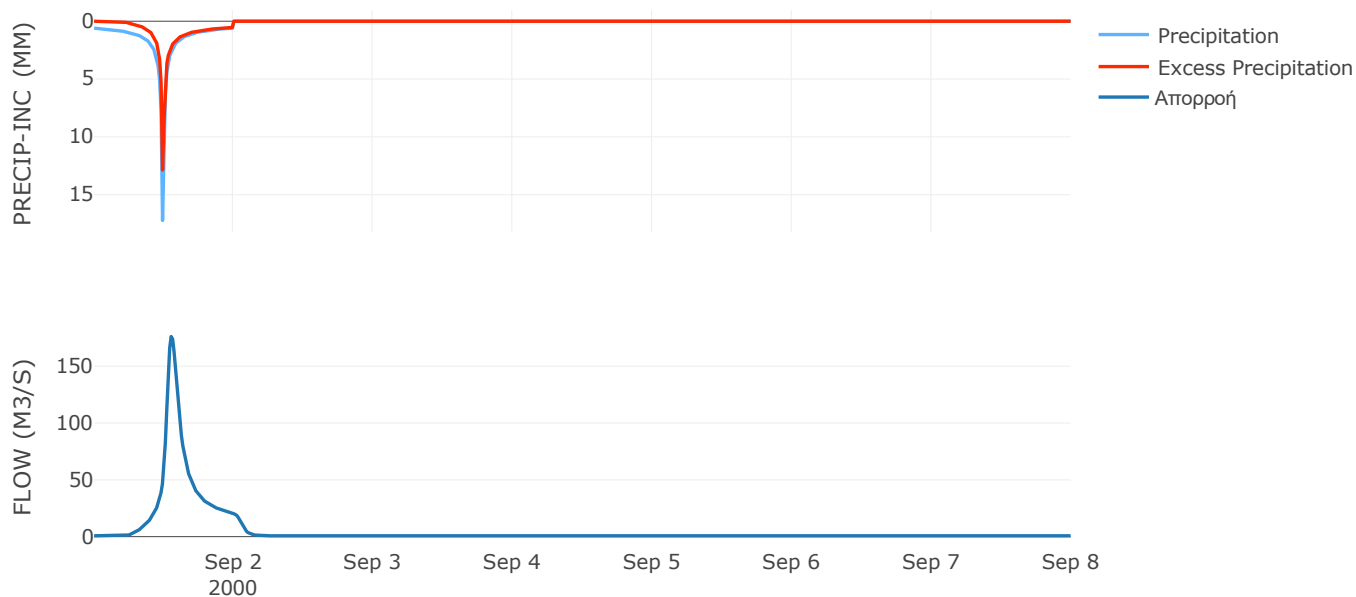
Μέθοδος  
Μετασχηματισμού: SCS

|                  |       |
|------------------|-------|
| Χρόνος Υστέρησης | 74.93 |
|------------------|-------|

Αποτελέσματα:  
EL0415FL11002

|                             |                  |
|-----------------------------|------------------|
| Παροχή αιχμής (M3/S)        | 176.15           |
| Χρονική στιγμή αιχμής       | 01Sep2000, 13:15 |
| Όγκος (MM)                  | 115.57           |
| Όγκος βροχόπτωσης (M3)      | 4.67E6           |
| Όγκος απωλειών (M3)         | 1.68E6           |
| Ενεργός Όγκος (M3)          | 2.99E6           |
| Όγκος άμεσης απορροής (M3)  | 2.99E6           |
| Όγκος βασικής απορροής (M3) | 4.5E5            |

Βροχόπτωση και Απορροή



Υπολεκάνη: EL0415FL11003

Έκταση (KM2) : 20.29

Κατάνη : J3

Μέθοδος Απωλειών: SCS

|                                |       |
|--------------------------------|-------|
| Ποσοστό αδιαπέρατης επιφάνειας | 0     |
| Αριθμός Καμπύλης Απορροής-CN   | 75.85 |
| Αρχικές Απώλειες               | 16.18 |

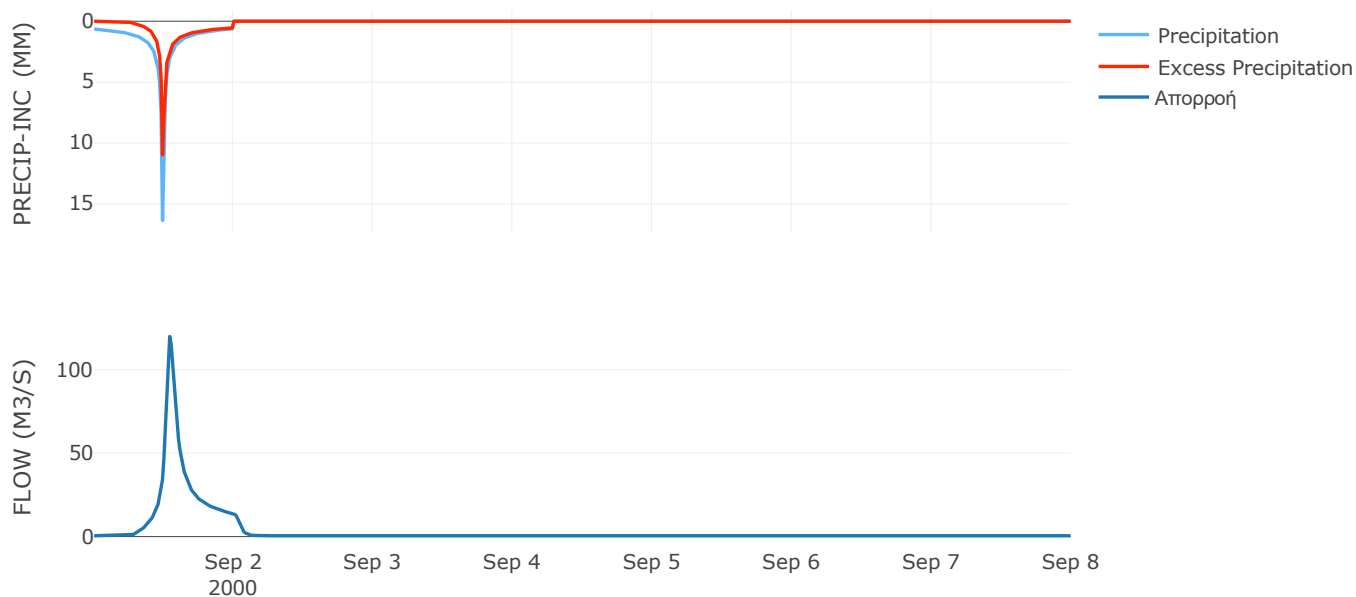
Μέθοδος  
Μετασχηματισμού: SCS

|                  |       |
|------------------|-------|
| Χρόνος Υστέρησης | 56.71 |
|------------------|-------|

Αποτελέσματα:  
EL0415FL11003

|                             |                  |
|-----------------------------|------------------|
| Παροχή αιχμής (M3/S)        | 119.99           |
| Χρονική στιγμή αιχμής       | 01Sep2000, 13:00 |
| Όγκος (MM)                  | 106.7            |
| Όγκος βροχόπτωσης (M3)      | 3.24E6           |
| Όγκος απωλειών (M3)         | 1.38E6           |
| Ενεργός Όγκος (M3)          | 1.86E6           |
| Όγκος άμεσης απορροής (M3)  | 1.86E6           |
| Όγκος βασικής απορροής (M3) | 3.07E5           |

Βροχόπτωση και Απορροή



Υπολεκάνη: EL0415FL11004

Έκταση (KM2) : 21.97

Κατάνη : J4

Μέθοδος Απωλειών: SCS

|                                |       |
|--------------------------------|-------|
| Ποσοστό αδιαπέρατης επιφάνειας | 0     |
| Αριθμός Καμπύλης Απορροής-CN   | 74.05 |
| Αρχικές Απώλειες               | 17.81 |

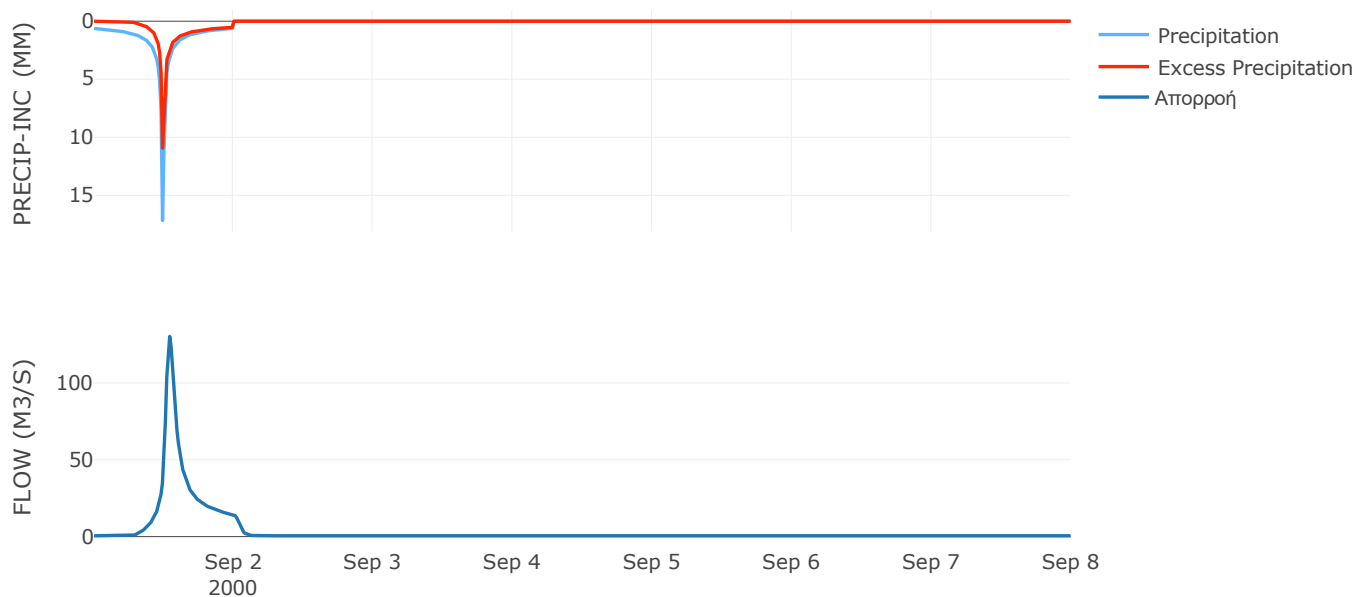
Μέθοδος  
Μετασχηματισμού: SCS

|                  |       |
|------------------|-------|
| Χρόνος Υστέρησης | 54.14 |
|------------------|-------|

Αποτελέσματα:  
EL0415FL11004

|                             |                  |
|-----------------------------|------------------|
| Παροχή αιχμής (M3/S)        | 130.24           |
| Χρονική στιγμή αιχμής       | 01Sep2000, 13:00 |
| Όγκος (MM)                  | 102.83           |
| Όγκος βροχόπτωσης (M3)      | 3.52E6           |
| Όγκος απωλειών (M3)         | 1.59E6           |
| Ενεργός Όγκος (M3)          | 1.93E6           |
| Όγκος άμεσης απορροής (M3)  | 1.93E6           |
| Όγκος βασικής απορροής (M3) | 3.32E5           |

Βροχόπτωση και Απορροή



Υπολεκάνη: EL0415FL11005

Έκταση (KM2) : 22.14

Κατάνη : J5

Μέθοδος Απωλειών: SCS

|                                |       |
|--------------------------------|-------|
| Ποσοστό αδιαπέρατης επιφάνειας | 0     |
| Αριθμός Καμπύλης Απορροής-CN   | 76.6  |
| Αρχικές Απώλειες               | 15.52 |

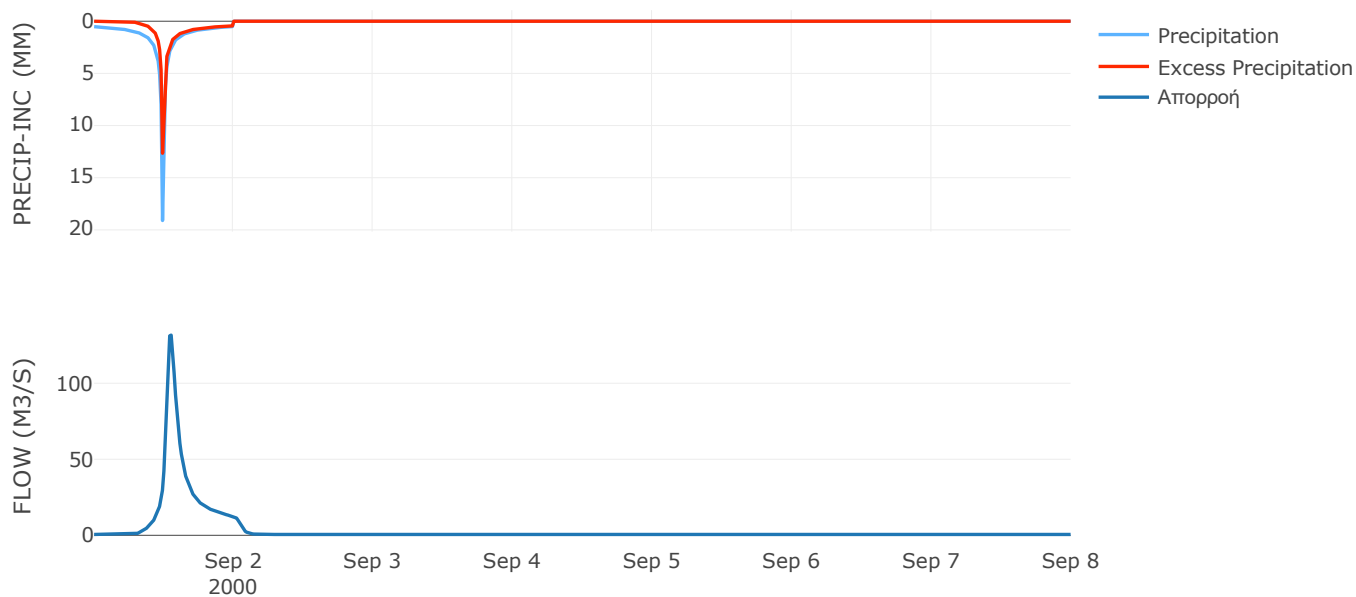
Μέθοδος  
Μετασχηματισμού: SCS

|                  |       |
|------------------|-------|
| Χρόνος Υστέρησης | 63.77 |
|------------------|-------|

Αποτελέσματα:  
EL0415FL11005

|                             |                  |
|-----------------------------|------------------|
| Παροχή αιχμής (M3/S)        | 131.62           |
| Χρονική στιγμή αιχμής       | 01Sep2000, 13:15 |
| Όγκος (MM)                  | 101.18           |
| Όγκος βροχόπτωσης (M3)      | 3.34E6           |
| Όγκος απωλειών (M3)         | 1.44E6           |
| Ενεργός Όγκος (M3)          | 1.91E6           |
| Όγκος άμεσης απορροής (M3)  | 1.91E6           |
| Όγκος βασικής απορροής (M3) | 3.35E5           |

Βροχόπτωση και Απορροή



## 4.2 Δεδομένα και υδρογραφήματα σχεδιασμού Κλάδων υδρογραφικού δικτύου

Κλάδος: R21

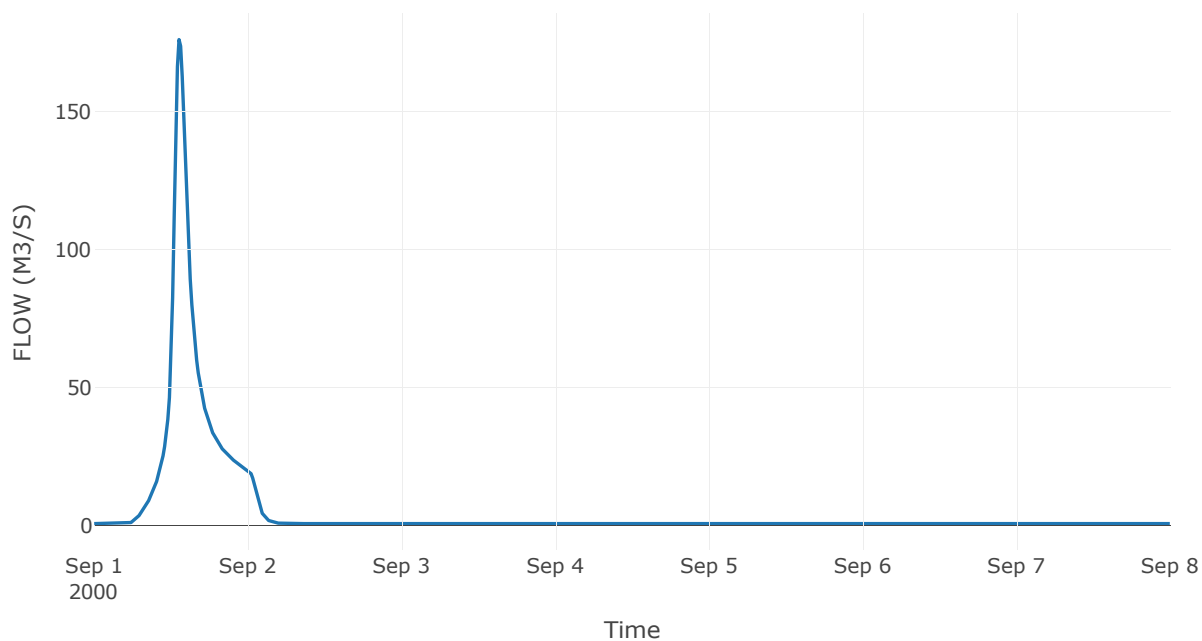
Κατάντη : J1

|                   |                 |
|-------------------|-----------------|
| Μέθοδος Διόδευσης | Χρόνος          |
| Αρχική Μεταβλητή  | Combined Inflow |
| Χρόνος Υστέρησης  | 0               |

Αποτελέσματα: R21

|                              |                  |
|------------------------------|------------------|
| Παροχή Αιχμής(M3/S)          | 176.15           |
| Χρονική στιγμή αιχμής        | 01Sep2000, 13:15 |
| Όγκος(MM)                    | 115.57           |
| Παροχή Αιχμής Εισόδου (M3/S) | 176.15           |
| Όγκος Εισροής(M3)            | 3.44E6           |

Απορροή



Κλάδος: R31

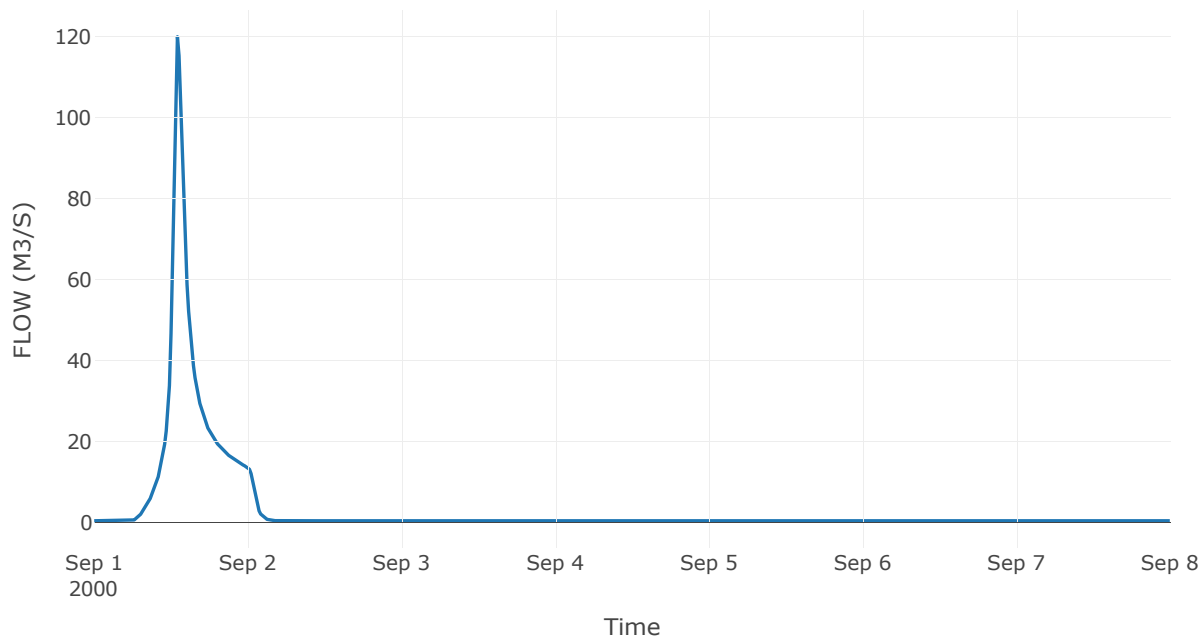
Κατάντη : J1

|                   |                 |
|-------------------|-----------------|
| Μέθοδος Διόδευσης | Χρόνος          |
| Αρχική Μεταβλητή  | Combined Inflow |
| Χρόνος Υστέρησης  | 0               |

Αποτελέσματα: R31

|                              |                  |
|------------------------------|------------------|
| Παροχή Αιχμής(M3/S)          | 119.99           |
| Χρονική στιγμή αιχμής        | 01Sep2000, 13:00 |
| Όγκος(MM)                    | 106.7            |
| Παροχή Αιχμής Εισόδου (M3/S) | 119.99           |
| Όγκος Εισροής(M3)            | 2.17E6           |

Απορροή



Κλάδος: R41

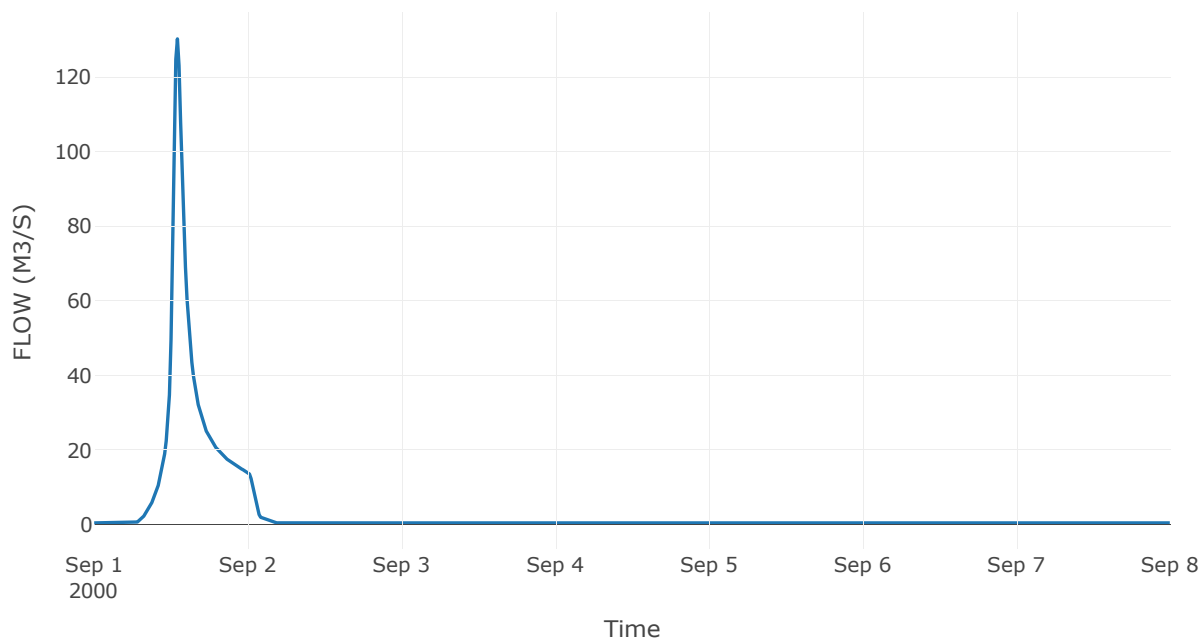
Κατάντη : J1

|                   |                 |
|-------------------|-----------------|
| Μέθοδος Διόδευσης | Χρόνος          |
| Αρχική Μεταβλητή  | Combined Inflow |
| Χρόνος Υστέρησης  | 0               |

Αποτελέσματα: R41

|                              |                  |
|------------------------------|------------------|
| Παροχή Αιχμής(M3/S)          | 130.24           |
| Χρονική στιγμή αιχμής        | 01Sep2000, 13:00 |
| Όγκος(MM)                    | 102.83           |
| Παροχή Αιχμής Εισόδου (M3/S) | 130.24           |
| Όγκος Εισροής(M3)            | 2.26E6           |

Απορροή





Κλάδος: R51

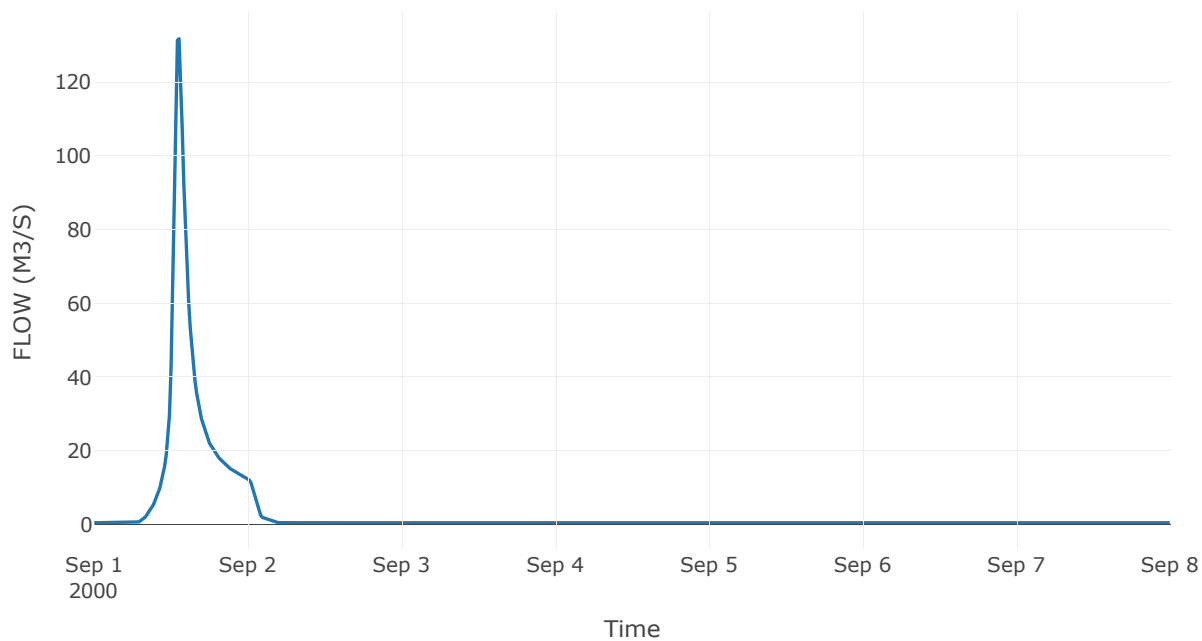
Κατάντη : J1

|                   |                 |
|-------------------|-----------------|
| Μέθοδος Διόδευσης | Χρόνος          |
| Αρχική Μεταβλητή  | Combined Inflow |
| Χρόνος Υστέρησης  | 0               |

Αποτελέσματα: R51

|                              |                  |
|------------------------------|------------------|
| Παροχή Αιχμής(M3/S)          | 131.62           |
| Χρονική στιγμή αιχμής        | 01Sep2000, 13:15 |
| Όγκος(MM)                    | 101.18           |
| Παροχή Αιχμής Εισόδου (M3/S) | 131.62           |
| Όγκος Εισροής(M3)            | 2.24E6           |

Απορροή



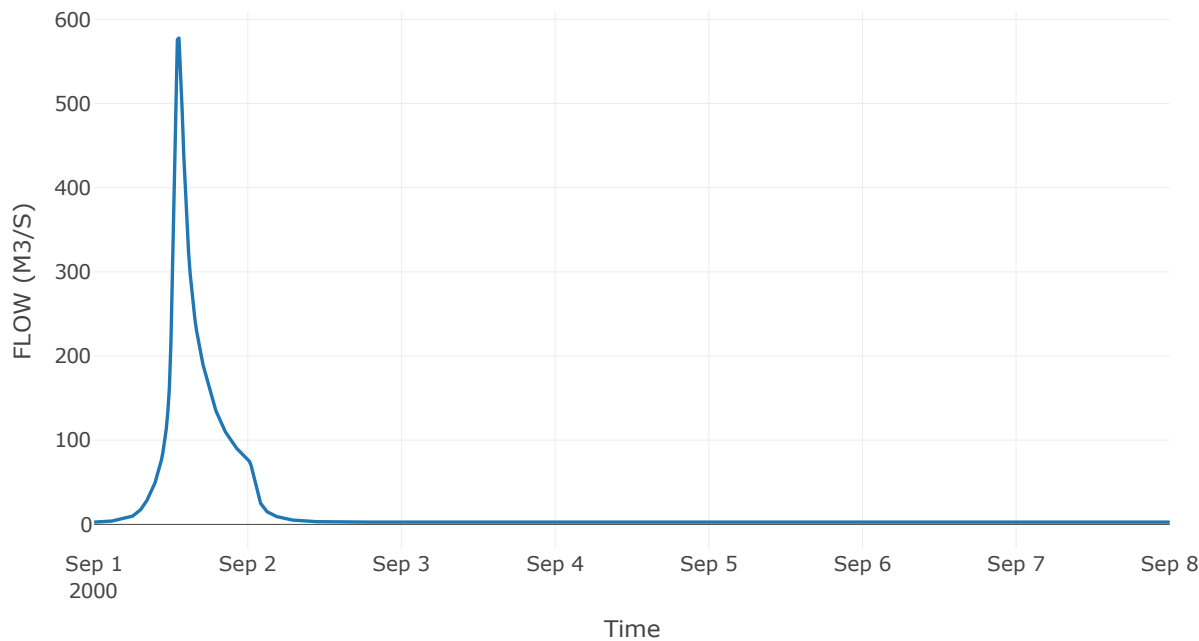
## 4.3 Δεδομένα και υδρογραφήματα σχεδιασμού Κόμβων υδρογραφικού δικτύου

Κόμβος εξόδου: J1

Αποτελέσμα  
α: J1

|                       |                  |
|-----------------------|------------------|
| Παροχή αιχμής (M3/S)  | 577.65           |
| Χρονική στιγμή αιχμής | 01Sep2000, 13:15 |
| Όγκος (MM)            | 115.81           |

Απορροή



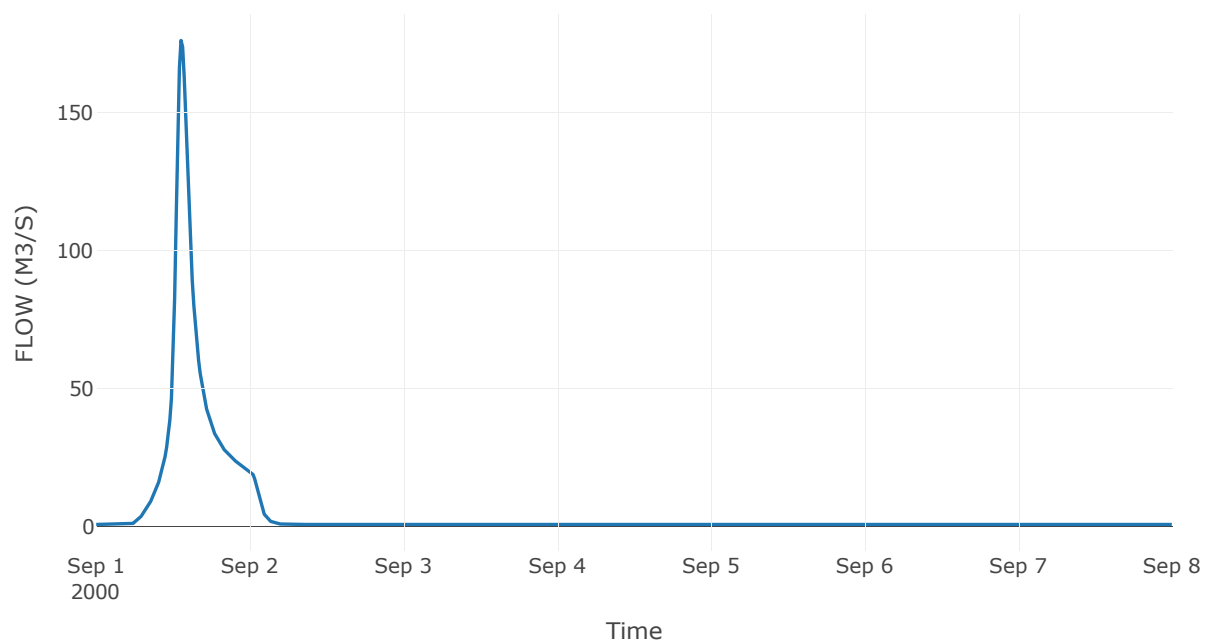
Κόμβος: J2

Κατάντη : R21

Αποτελέσματα: J2

|                       |                  |
|-----------------------|------------------|
| Παροχή Αιχμής(M3/S)   | 176.15           |
| Χρονική στιγμή αιχμής | 01Sep2000, 13:15 |
| Όγκος(MM)             | 115.57           |

Απορροή



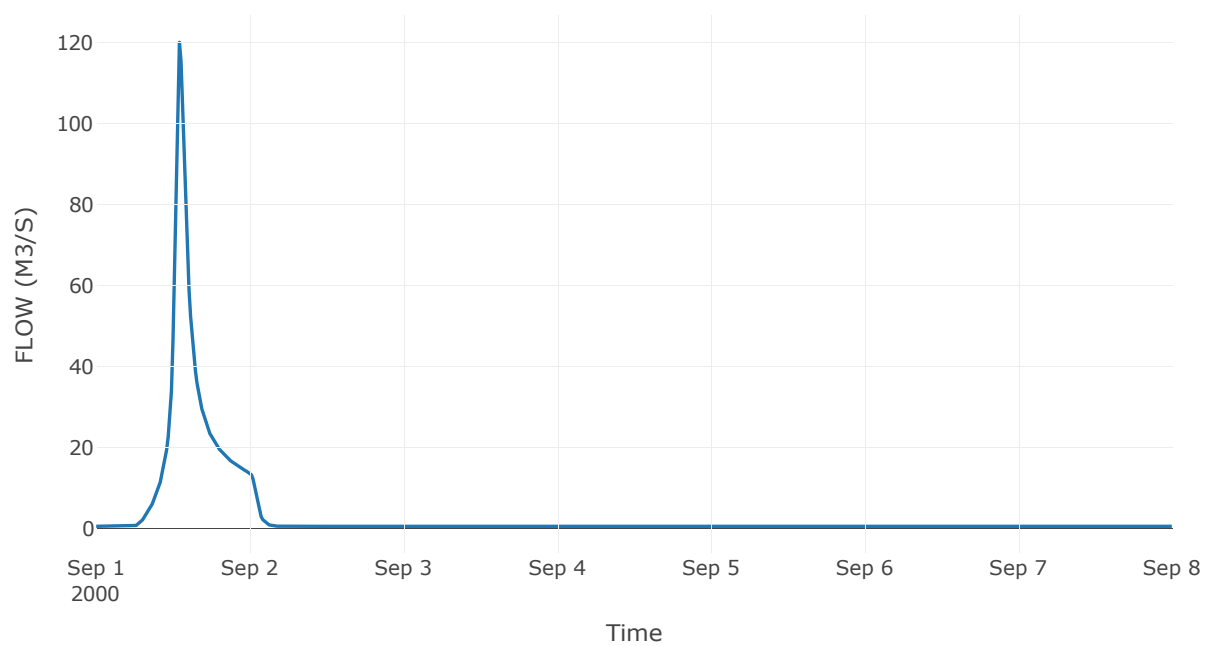
Κόμβος: J3

Κατάντη : R31

Αποτελέσματα: J3

|                       |                  |
|-----------------------|------------------|
| Παροχή Αιχμής(M3/S)   | 119.99           |
| Χρονική στιγμή αιχμής | 01Sep2000, 13:00 |
| Όγκος(MM)             | 106.7            |

Απορροή



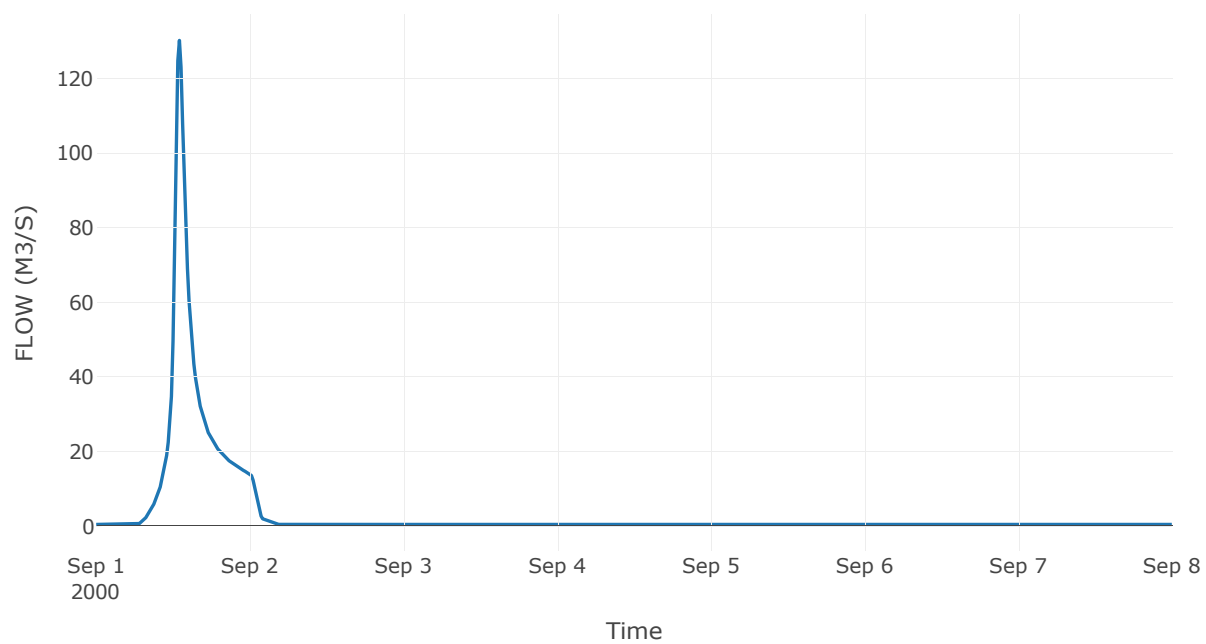
Κόμβος: J4

Κατάντη : R41

Αποτελέσματα: J4

|                       |                  |
|-----------------------|------------------|
| Παροχή Αιχμής(M3/S)   | 130.24           |
| Χρονική στιγμή αιχμής | 01Sep2000, 13:00 |
| Όγκος(MM)             | 102.83           |

Απορροή



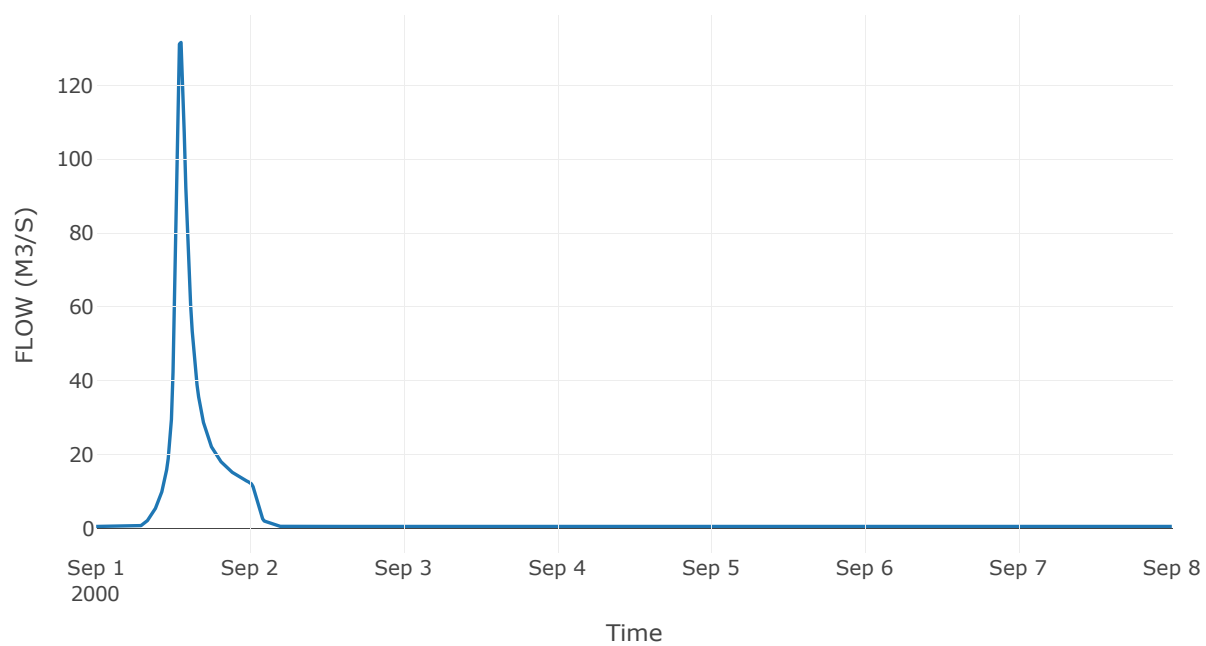
Κόμβος: J5

Κατάντη : R51

Αποτελέσματα: J5

|                       |                  |
|-----------------------|------------------|
| Παροχή Αιχμής(M3/S)   | 131.62           |
| Χρονική στιγμή αιχμής | 01Sep2000, 13:15 |
| Όγκος(MM)             | 101.18           |

Απορροή



## 5 Δεδομένα εισόδου και αποτελέσματα υδρολογικού σεναρίου T=100

## 5.1 Αποτελέσματα, υετογραφήματα και υδρογραφήματα σχεδιασμού υπολεκανών



Υπολεκάνη: EL0415FL11001

Έκταση (KM2) : 14.53

Κατάντη : J1

Μέθοδος Απωλειών: SCS

|                                |       |
|--------------------------------|-------|
| Ποσοστό αδιαπέρατης επιφάνειας | 100   |
| Αριθμός Καμπύλης Απορροής-CN   | 98.71 |
| Αρχικές Απώλειες               | 0.66  |

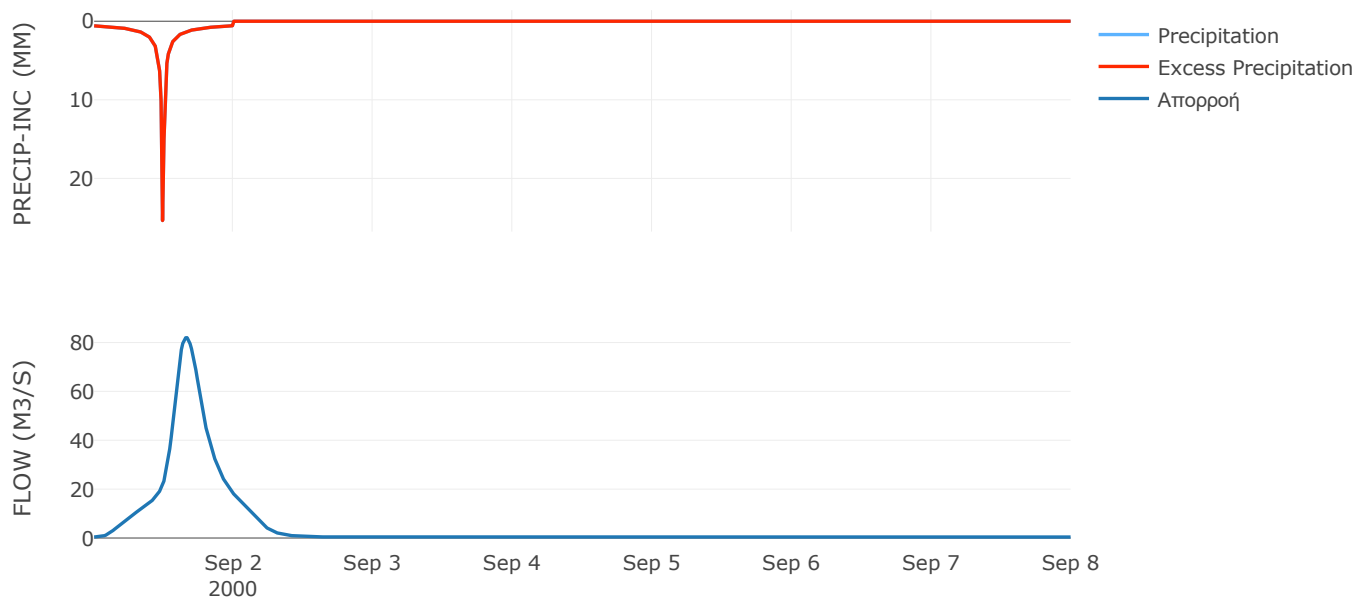
Μέθοδος  
Μετασχηματισμού: SCS

|                  |        |
|------------------|--------|
| Χρόνος Υστέρησης | 228.63 |
|------------------|--------|

Αποτελέσματα:  
EL0415FL11001

|                             |                  |
|-----------------------------|------------------|
| Παροχή αιχμής (M3/S)        | 81.95            |
| Χρονική στιγμή αιχμής       | 01Sep2000, 16:00 |
| Όγκος (MM)                  | 199.42           |
| Όγκος βροχόπτωσης (M3)      | 2.65E6           |
| Όγκος απωλειών (M3)         | 0                |
| Ενεργός Όγκος (M3)          | 2.65E6           |
| Όγκος άμεσης απορροής (M3)  | 2.65E6           |
| Όγκος βασικής απορροής (M3) | 2.46E5           |

Βροχόπτωση και Απορροή



Υπολεκάνη: EL0415FL11002

Έκταση (KM2) : 29.77

Κατάντη : J2

Μέθοδος Απωλειών: SCS

|                                |       |
|--------------------------------|-------|
| Ποσοστό αδιαπέρατης επιφάνειας | 0     |
| Αριθμός Καμπύλης Απορροής-CN   | 63.64 |
| Αρχικές Απώλειες               | 29.02 |

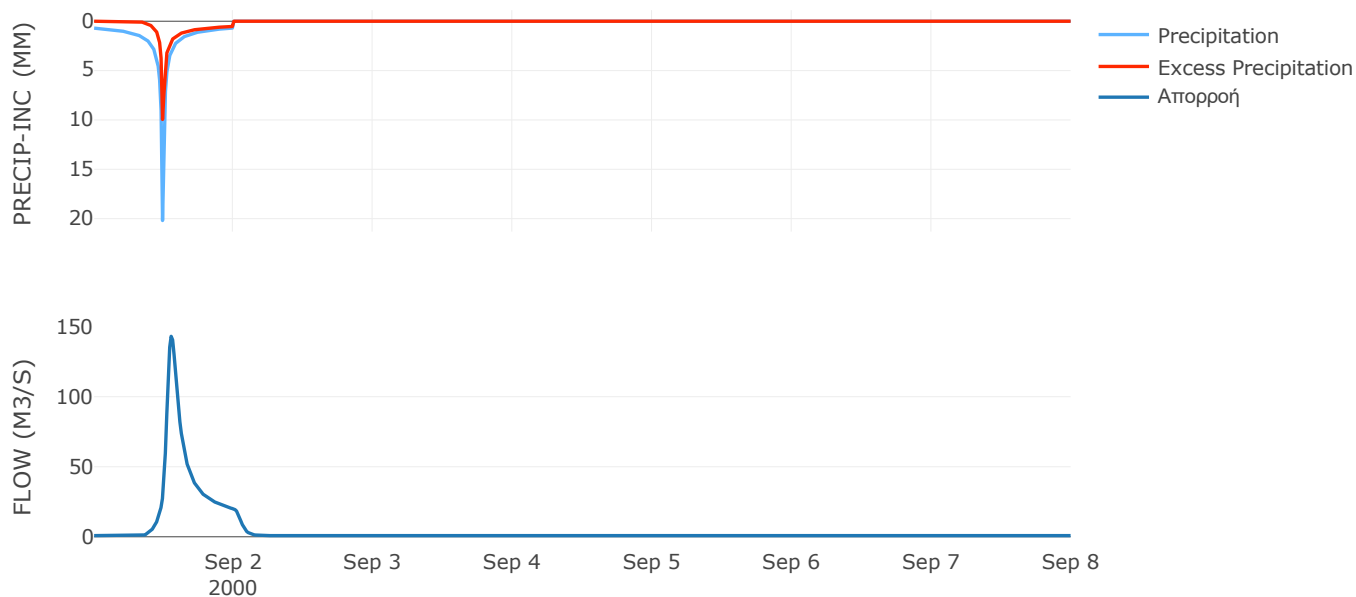
Μέθοδος  
Μετασχηματισμού: SCS

|                  |       |
|------------------|-------|
| Χρόνος Υστέρησης | 69.23 |
|------------------|-------|

Αποτελέσματα:  
EL0415FL11002

|                             |                  |
|-----------------------------|------------------|
| Παροχή αιχμής (M3/S)        | 143.13           |
| Χρονική στιγμή αιχμής       | 01Sep2000, 13:15 |
| Όγκος (MM)                  | 96.87            |
| Όγκος βροχόπτωσης (M3)      | 5.47E6           |
| Όγκος απωλειών (M3)         | 3.09E6           |
| Ενεργός Όγκος (M3)          | 2.38E6           |
| Όγκος άμεσης απορροής (M3)  | 2.38E6           |
| Όγκος βασικής απορροής (M3) | 5.04E5           |

Βροχόπτωση και Απορροή



Υπολεκάνη: EL0415FL11003

Έκταση (KM2) : 20.29

Κατάνη : J3

Μέθοδος Απωλειών: SCS

|                                |       |
|--------------------------------|-------|
| Ποσοστό αδιαπέρατης επιφάνειας | 0     |
| Αριθμός Καμπύλης Απορροής-CN   | 57.72 |
| Αρχικές Απώλειες               | 37.21 |

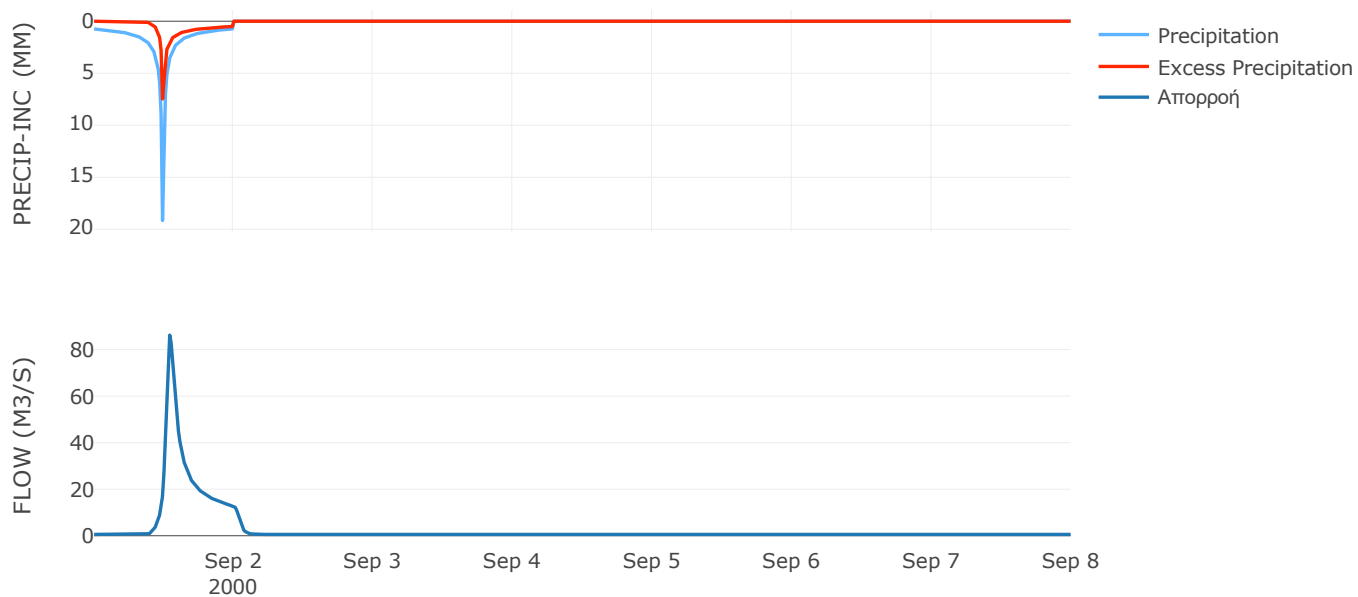
Μέθοδος  
Μετασχηματισμού: SCS

|                  |       |
|------------------|-------|
| Χρόνος Υστέρησης | 52.41 |
|------------------|-------|

Αποτελέσματα:  
EL0415FL11003

|                             |                  |
|-----------------------------|------------------|
| Παροχή αιχμής (M3/S)        | 86.22            |
| Χρονική στιγμή αιχμής       | 01Sep2000, 13:00 |
| Όγκος (MM)                  | 83.57            |
| Όγκος βροχόπτωσης (M3)      | 3.79E6           |
| Όγκος απωλειών (M3)         | 2.44E6           |
| Ενεργός Όγκος (M3)          | 1.35E6           |
| Όγκος άμεσης απορροής (M3)  | 1.35E6           |
| Όγκος βασικής απορροής (M3) | 3.44E5           |

Βροχόπτωση και Απορροή



Υπολεκάνη: EL0415FL11004

Έκταση (KM2) : 21.97

Κατάντη : J4

Μέθοδος Απωλειών: SCS

|                                |       |
|--------------------------------|-------|
| Ποσοστό αδιαπέρατης επιφάνειας | 0     |
| Αριθμός Καμπύλης Απορροής-CN   | 55.37 |
| Αρχικές Απώλειες               | 40.95 |

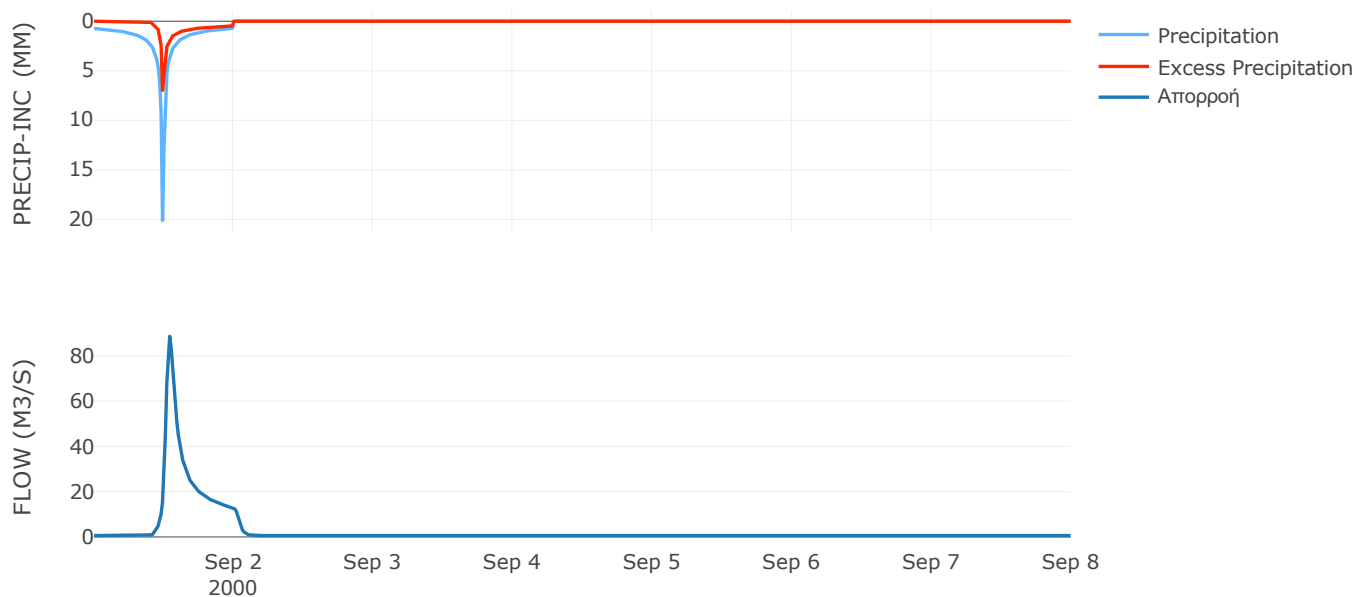
Μέθοδος  
Μετασχηματισμού: SCS

|                  |       |
|------------------|-------|
| Χρόνος Υστέρησης | 50.03 |
|------------------|-------|

Αποτελέσματα:  
EL0415FL11004

|                             |                  |
|-----------------------------|------------------|
| Παροχή αιχμής (M3/S)        | 88.64            |
| Χρονική στιγμή αιχμής       | 01Sep2000, 13:00 |
| Όγκος (MM)                  | 78.2             |
| Όγκος βροχόπτωσης (M3)      | 4.12E6           |
| Όγκος απωλειών (M3)         | 2.78E6           |
| Ενεργός Όγκος (M3)          | 1.35E6           |
| Όγκος άμεσης απορροής (M3)  | 1.35E6           |
| Όγκος βασικής απορροής (M3) | 3.72E5           |

Βροχόπτωση και Απορροή



Υπολεκάνη: EL0415FL11005

Έκταση (KM2) : 22.14

Κατάντη : J5

Μέθοδος Απωλειών: SCS

|                                |       |
|--------------------------------|-------|
| Ποσοστό αδιαπέρατης επιφάνειας | 0     |
| Αριθμός Καμπύλης Απορροής-CN   | 58.73 |
| Αρχικές Απώλειες               | 35.7  |

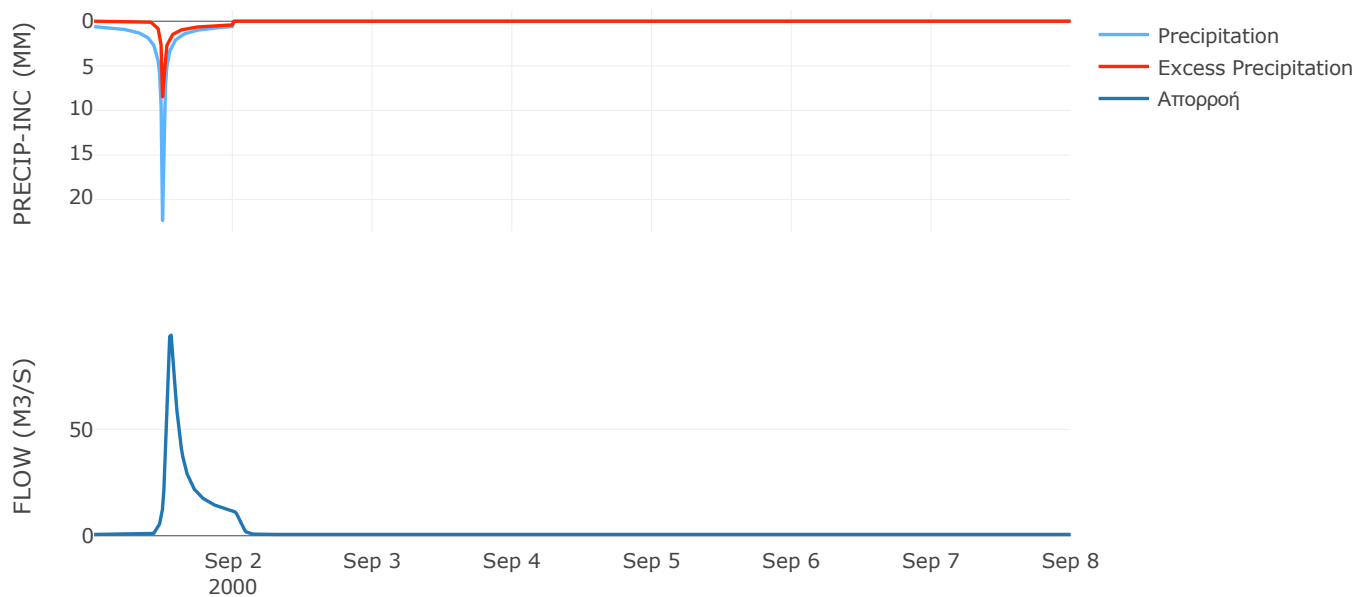
Μέθοδος  
Μετασχηματισμού: SCS

|                  |       |
|------------------|-------|
| Χρόνος Υστέρησης | 58.94 |
|------------------|-------|

Αποτελέσματα:  
EL0415FL11005

|                             |                  |
|-----------------------------|------------------|
| Παροχή αιχμής (M3/S)        | 94.33            |
| Χρονική στιγμή αιχμής       | 01Sep2000, 13:15 |
| Όγκος (MM)                  | 79.15            |
| Όγκος βροχόπτωσης (M3)      | 3.91E6           |
| Όγκος απωλειών (M3)         | 2.53E6           |
| Ενεργός Όγκος (M3)          | 1.38E6           |
| Όγκος άμεσης απορροής (M3)  | 1.38E6           |
| Όγκος βασικής απορροής (M3) | 3.75E5           |

Βροχόπτωση και Απορροή



## 5.2 Δεδομένα και υδρογραφήματα σχεδιασμού Κλάδων υδρογραφικού δικτύου

Κλάδος: R21

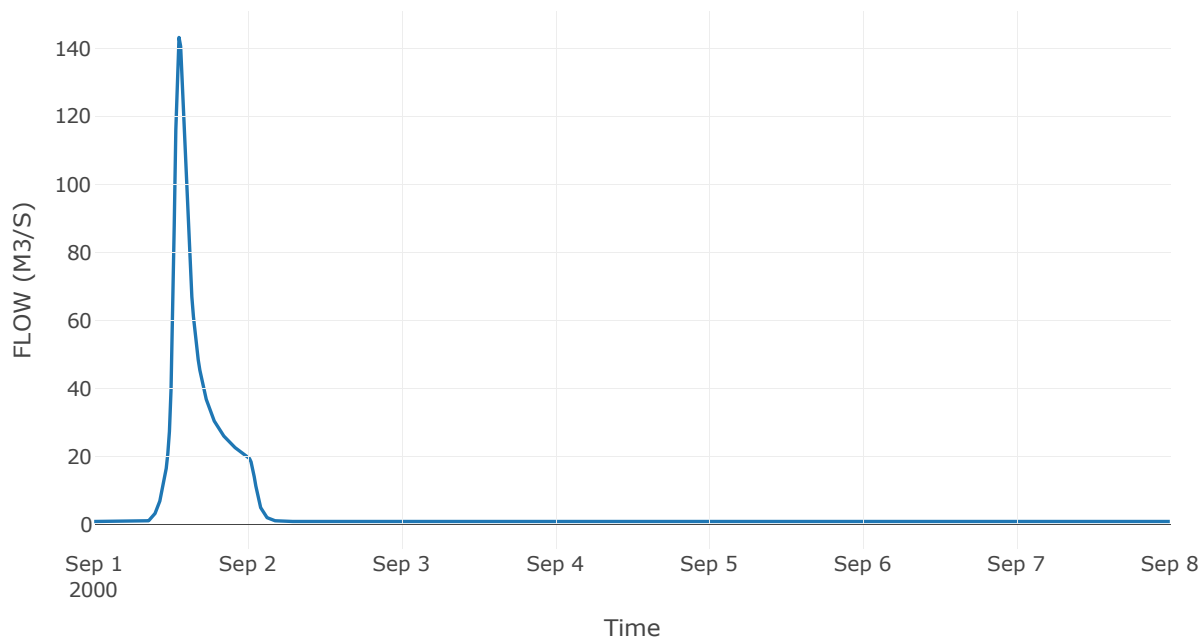
Κατάντη : J1

|                   |                 |
|-------------------|-----------------|
| Μέθοδος Διόδευσης | Χρόνος          |
| Αρχική Μεταβλητή  | Combined Inflow |
| Χρόνος Υστέρησης  | 0               |

Αποτελέσματα: R21

|                              |                  |
|------------------------------|------------------|
| Παροχή Αιχμής(M3/S)          | 143.13           |
| Χρονική στιγμή αιχμής        | 01Sep2000, 13:15 |
| Όγκος(MM)                    | 96.87            |
| Παροχή Αιχμής Εισόδου (M3/S) | 143.13           |
| Όγκος Εισροής(M3)            | 2.88E6           |

Απορροή



Κλάδος: R31

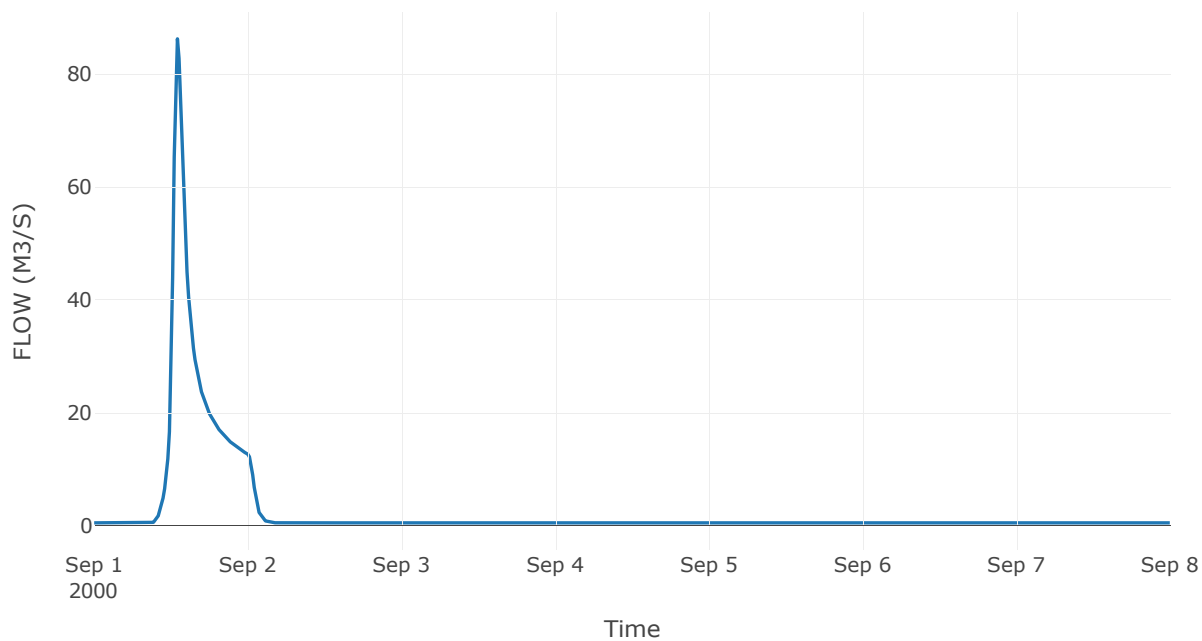
Κατάντη : J1

|                   |                 |
|-------------------|-----------------|
| Μέθοδος Διόδευσης | Χρόνος          |
| Αρχική Μεταβλητή  | Combined Inflow |
| Χρόνος Υστέρησης  | 0               |

Αποτελέσματα: R31

|                              |                  |
|------------------------------|------------------|
| Παροχή Αιχμής(M3/S)          | 86.22            |
| Χρονική στιγμή αιχμής        | 01Sep2000, 13:00 |
| Όγκος(MM)                    | 83.57            |
| Παροχή Αιχμής Εισόδου (M3/S) | 86.22            |
| Όγκος Εισροής(M3)            | 1.7E6            |

Απορροή



Κλάδος: R41

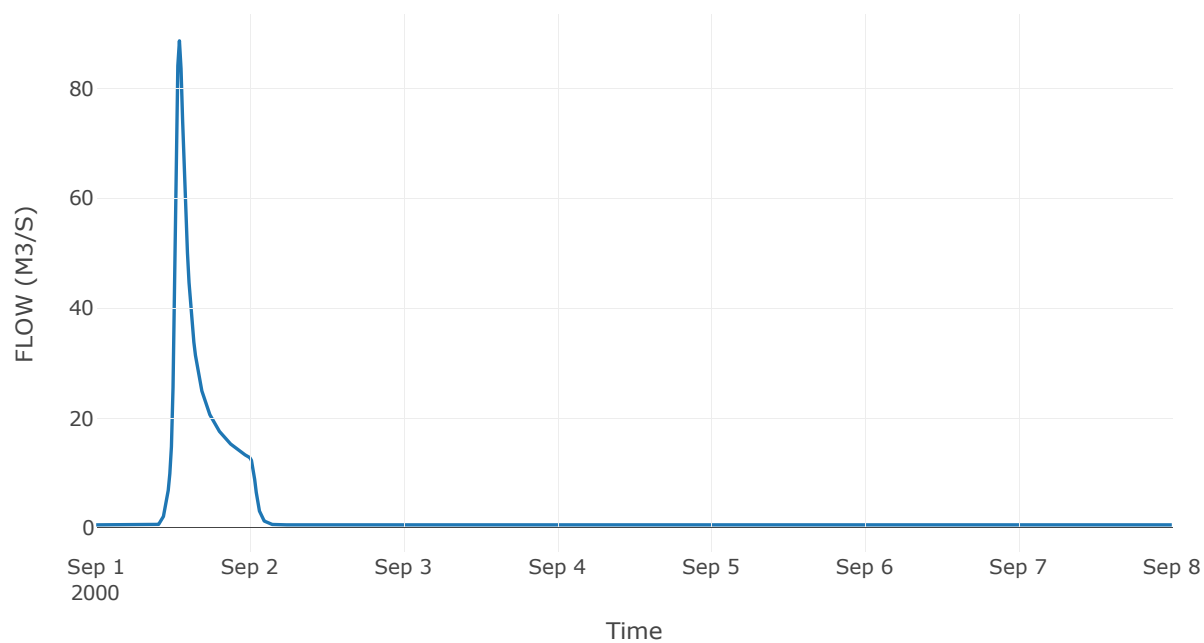
Κατάντη : J1

|                   |                 |
|-------------------|-----------------|
| Μέθοδος Διόδευσης | Χρόνος          |
| Αρχική Μεταβλητή  | Combined Inflow |
| Χρόνος Υστέρησης  | 0               |

Αποτελέσματα: R41

|                              |                  |
|------------------------------|------------------|
| Παροχή Αιχμής(M3/S)          | 88.64            |
| Χρονική στιγμή αιχμής        | 01Sep2000, 13:00 |
| Όγκος(MM)                    | 78.2             |
| Παροχή Αιχμής Εισόδου (M3/S) | 88.64            |
| Όγκος Εισροής(M3)            | 1.72E6           |

Απορροή





Κλάδος: R51

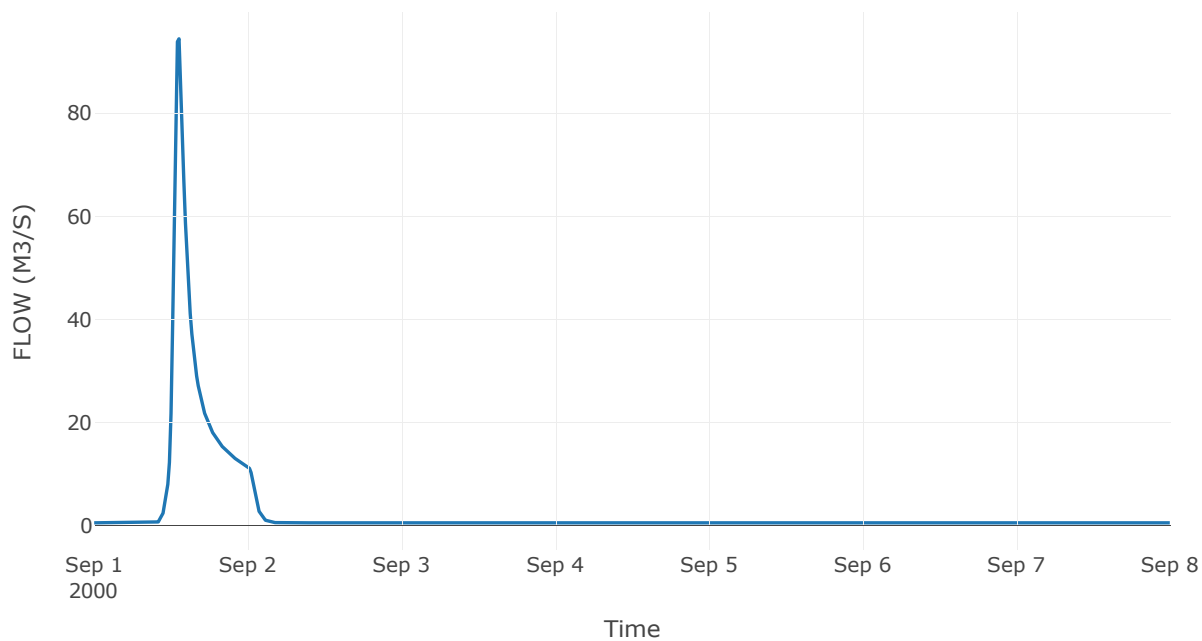
Κατάντη : J1

|                   |                 |
|-------------------|-----------------|
| Μέθοδος Διόδευσης | Χρόνος          |
| Αρχική Μεταβλητή  | Combined Inflow |
| Χρόνος Υστέρησης  | 0               |

Αποτελέσματα: R51

|                              |                  |
|------------------------------|------------------|
| Παροχή Αιχμής(M3/S)          | 94.33            |
| Χρονική στιγμή αιχμής        | 01Sep2000, 13:15 |
| Όγκος(MM)                    | 79.15            |
| Παροχή Αιχμής Εισόδου (M3/S) | 94.33            |
| Όγκος Εισροής(M3)            | 1.75E6           |

Απορροή



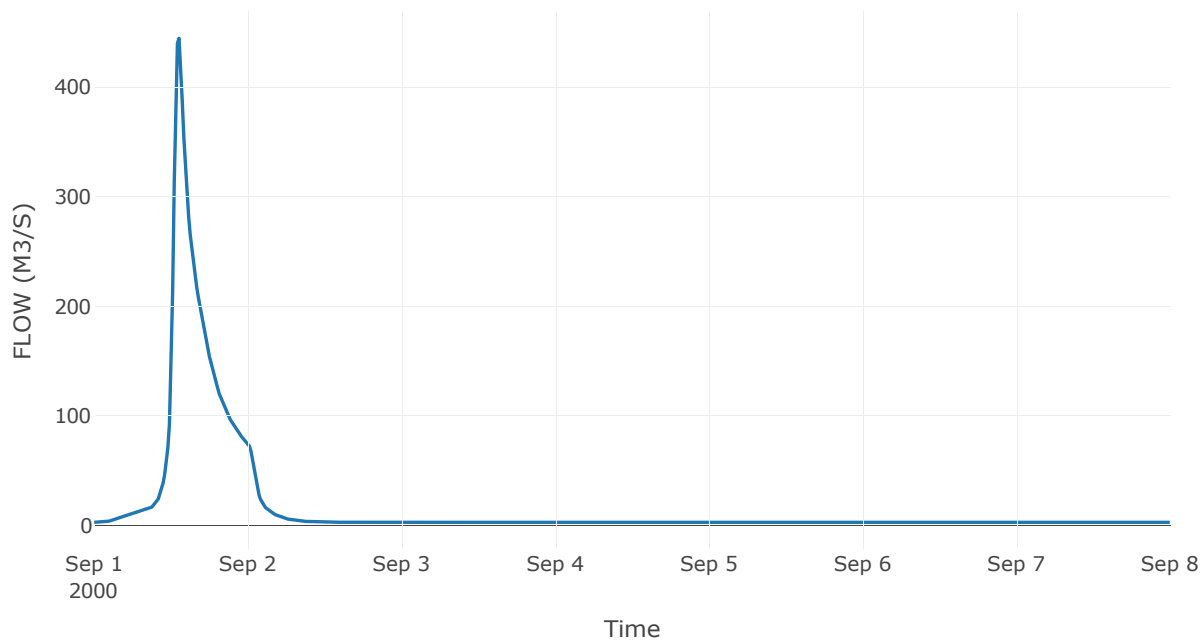
## 5.3 Δεδομένα και υδρογραφήματα σχεδιασμού Κόμβων υδρογραφικού δικτύου

Κόμβος εξόδου: J1

Αποτελέσματ  
α: J1

|                       |                  |
|-----------------------|------------------|
| Παροχή αιχμής (M3/S)  | 444.89           |
| Χρονική στιγμή αιχμής | 01Sep2000, 13:15 |
| Όγκος (MM)            | 100.72           |

Απορροή



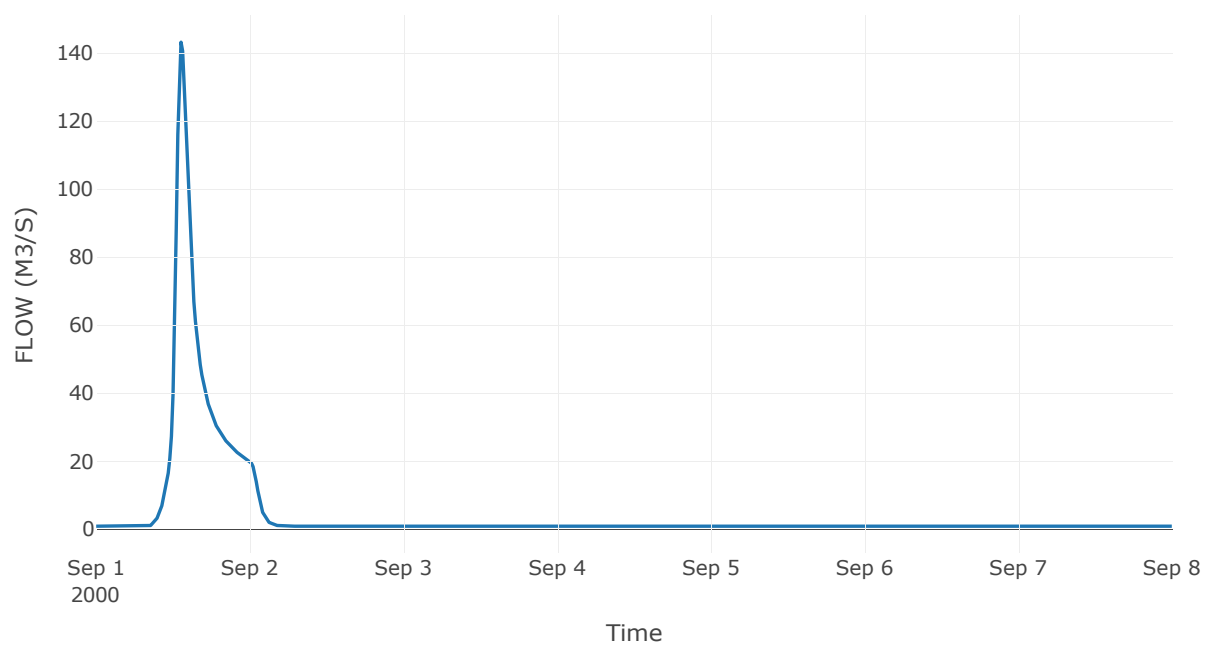
Κόμβος: J2

Κατάντη : R21

Αποτελέσματα: J2

|                       |                  |
|-----------------------|------------------|
| Παροχή Αιχμής(M3/S)   | 143.13           |
| Χρονική στιγμή αιχμής | 01Sep2000, 13:15 |
| Όγκος(MM)             | 96.87            |

Απορροή



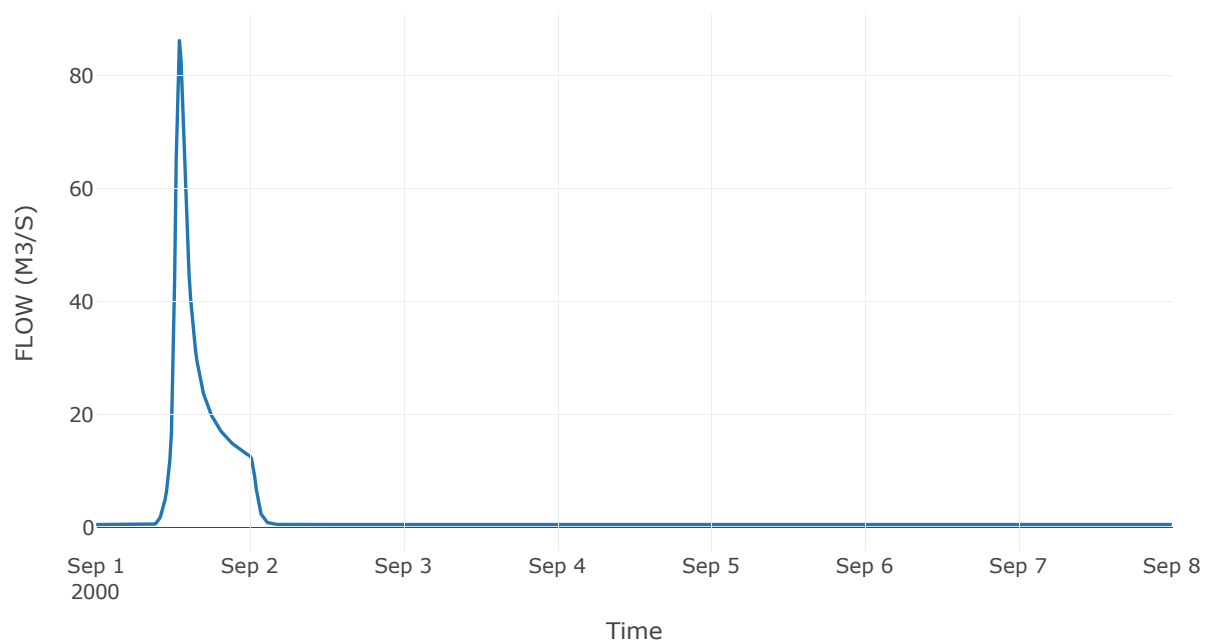
Κόμβος: J3

Κατάντη : R31

Αποτελέσματα: J3

|                       |                  |
|-----------------------|------------------|
| Παροχή Αιχμής(M3/S)   | 86.22            |
| Χρονική στιγμή αιχμής | 01Sep2000, 13:00 |
| Όγκος(MM)             | 83.57            |

Απορροή



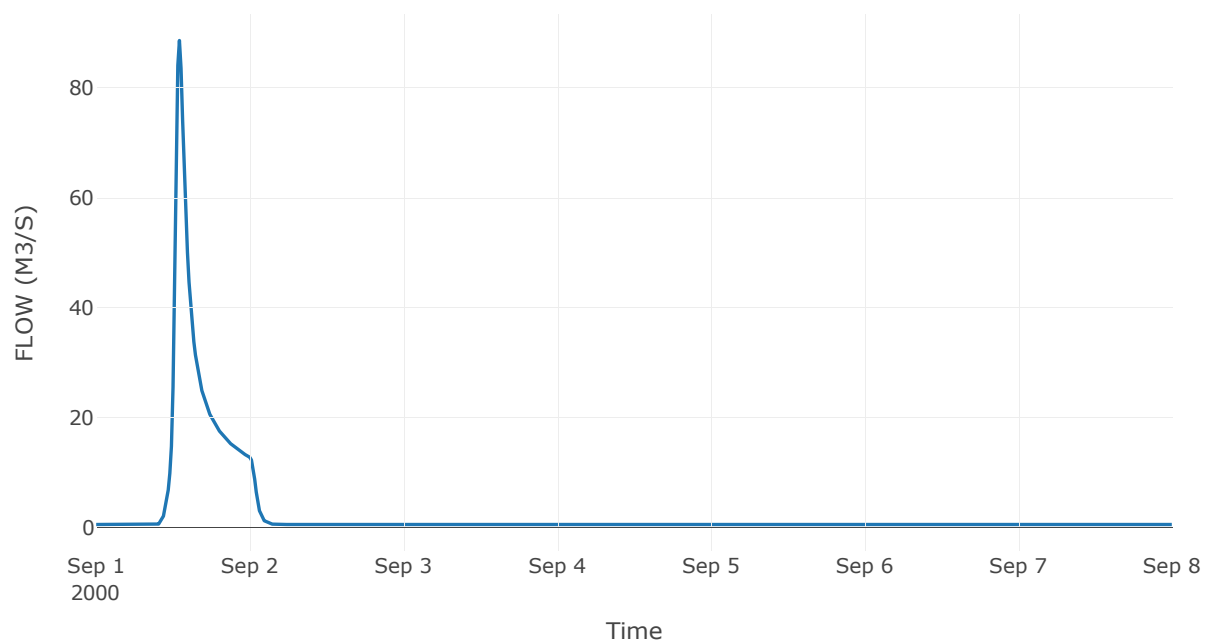
Κόμβος: J4

Κατάντη : R41

Αποτελέσματα: J4

|                       |                  |
|-----------------------|------------------|
| Παροχή Αιχμής(M3/S)   | 88.64            |
| Χρονική στιγμή αιχμής | 01Sep2000, 13:00 |
| Όγκος(MM)             | 78.2             |

Απορροή



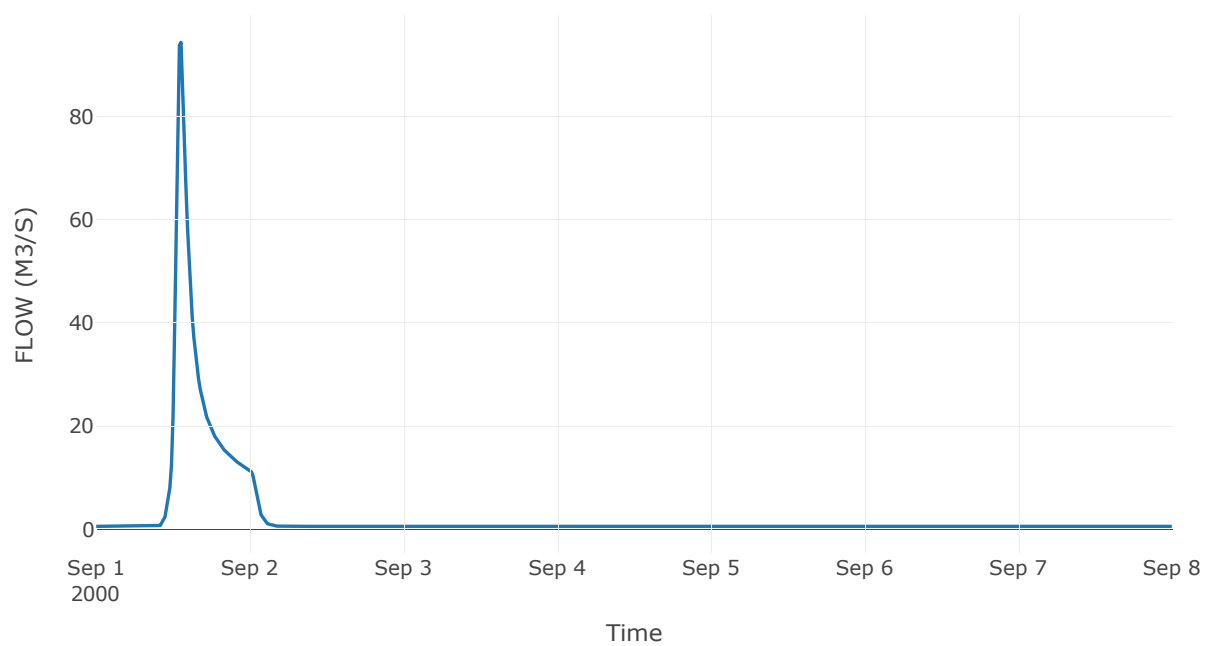
Κόμβος: J5

Κατάντη : R51

Αποτελέσματα: J5

|                       |                  |
|-----------------------|------------------|
| Παροχή Αιχμής(M3/S)   | 94.33            |
| Χρονική στιγμή αιχμής | 01Sep2000, 13:15 |
| Όγκος(MM)             | 79.15            |

Απορροή



## 6 Δεδομένα εισόδου και αποτελέσματα υδρολογικού σεναρίου T=100L

## 6.1 Αποτελέσματα, υετογραφήματα και υδρογραφήματα σχεδιασμού υπολεκανών



Υπολεκάνη: EL0415FL11001

Έκταση (KM2) : 14.53

Κατάνη : J1

Μέθοδος Απωλειών: SCS

|                                |       |
|--------------------------------|-------|
| Ποσοστό αδιαπέρατης επιφάνειας | 100   |
| Αριθμός Καμπύλης Απορροής-CN   | 98.71 |
| Αρχικές Απώλειες               | 0.66  |

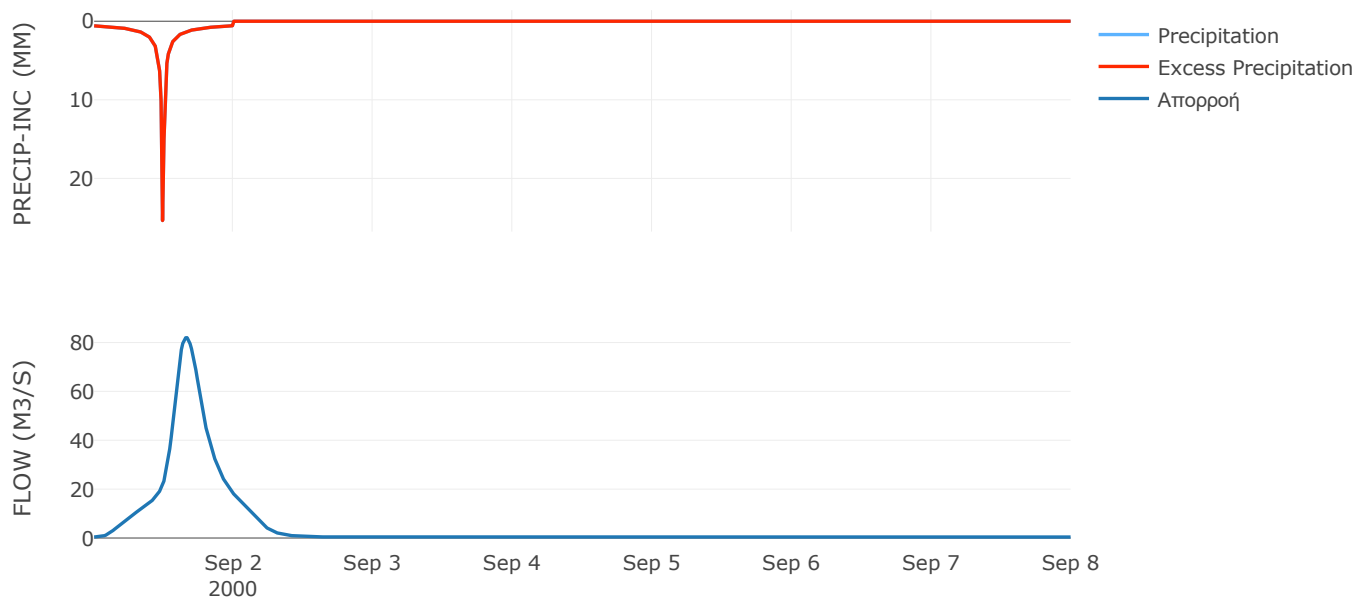
Μέθοδος  
Μετασχηματισμού: SCS

|                  |        |
|------------------|--------|
| Χρόνος Υστέρησης | 228.63 |
|------------------|--------|

Αποτελέσματα:  
EL0415FL11001

|                             |                  |
|-----------------------------|------------------|
| Παροχή αιχμής (M3/S)        | 81.95            |
| Χρονική στιγμή αιχμής       | 01Sep2000, 16:00 |
| Όγκος (MM)                  | 199.42           |
| Όγκος βροχόπτωσης (M3)      | 2.65E6           |
| Όγκος απωλειών (M3)         | 0                |
| Ενεργός Όγκος (M3)          | 2.65E6           |
| Όγκος άμεσης απορροής (M3)  | 2.65E6           |
| Όγκος βασικής απορροής (M3) | 2.46E5           |

Βροχόπτωση και Απορροή



Υπολεκάνη: EL0415FL11002

Έκταση (KM2) : 29.77

Κατάντη : J2

Μέθοδος Απωλειών: SCS

|                                |       |
|--------------------------------|-------|
| Ποσοστό αδιαπέρατης επιφάνειας | 0     |
| Αριθμός Καμπύλης Απορροής-CN   | 42.37 |
| Αρχικές Απώλειες               | 69.1  |

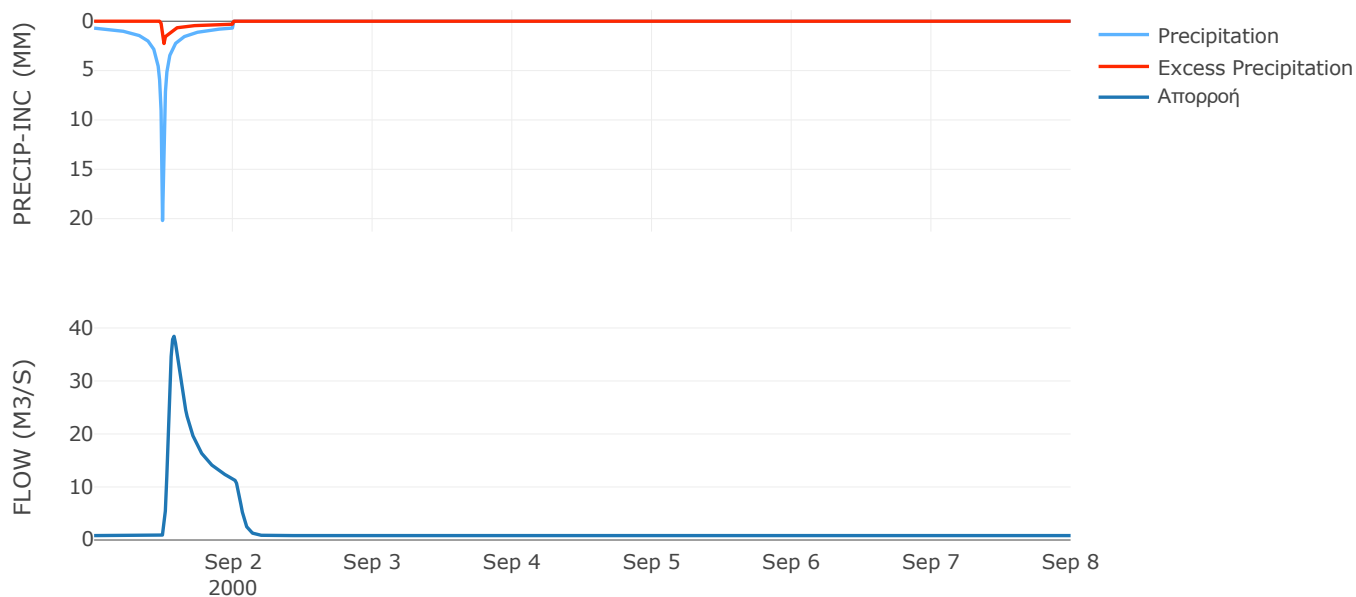
Μέθοδος  
Μετασχηματισμού: SCS

|                  |       |
|------------------|-------|
| Χρόνος Υστέρησης | 69.23 |
|------------------|-------|

Αποτελέσματα:  
EL0415FL11002

|                             |                  |
|-----------------------------|------------------|
| Παροχή αιχμής (M3/S)        | 38.43            |
| Χρονική στιγμή αιχμής       | 01Sep2000, 13:45 |
| Όγκος (MM)                  | 45.55            |
| Όγκος βροχόπτωσης (M3)      | 5.47E6           |
| Όγκος απωλειών (M3)         | 4.62E6           |
| Ενεργός Όγκος (M3)          | 8.52E5           |
| Όγκος άμεσης απορροής (M3)  | 8.52E5           |
| Όγκος βασικής απορροής (M3) | 5.04E5           |

Βροχόπτωση και Απορροή



Υπολεκάνη: EL0415FL11003

Έκταση (KM2) : 20.29

Κατάντη : J3

Μέθοδος Απωλειών: SCS

|                                |       |
|--------------------------------|-------|
| Ποσοστό αδιαπέρατης επιφάνειας | 0     |
| Αριθμός Καμπύλης Απορροής-CN   | 36.45 |
| Αρχικές Απώλειες               | 88.59 |

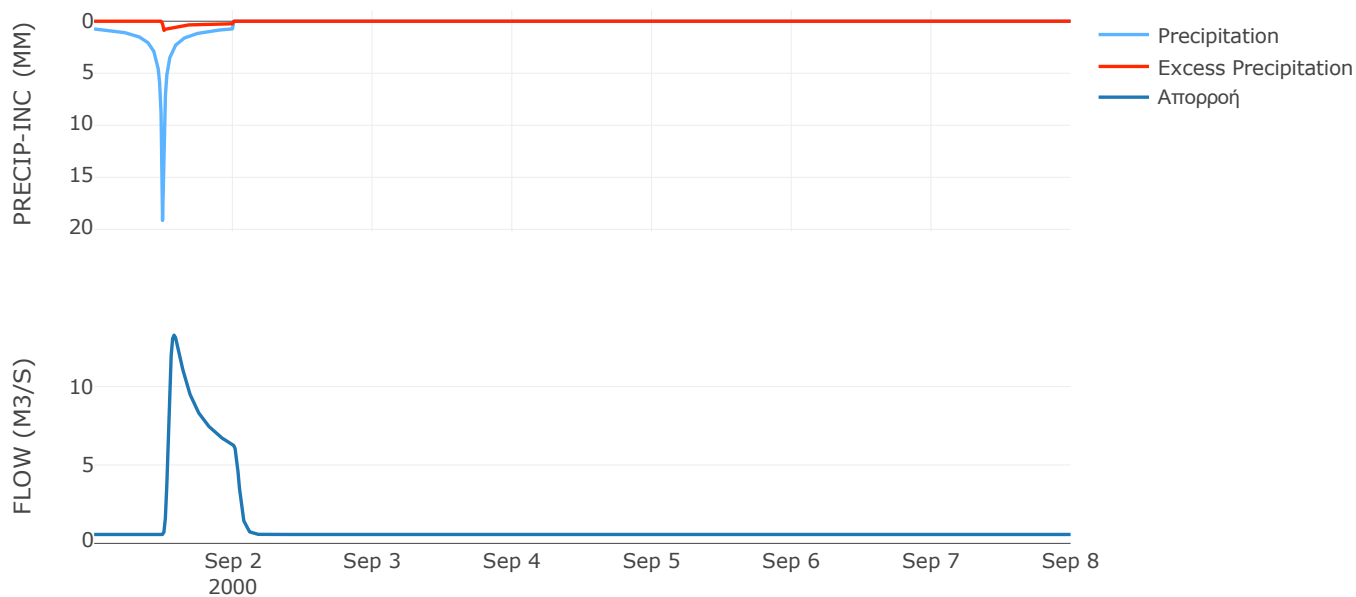
Μέθοδος  
Μετασχηματισμού: SCS

|                  |       |
|------------------|-------|
| Χρόνος Υστέρησης | 52.41 |
|------------------|-------|

Αποτελέσματα:  
EL0415FL11003

|                             |                  |
|-----------------------------|------------------|
| Παροχή αιχμής (M3/S)        | 13.28            |
| Χρονική στιγμή αιχμής       | 01Sep2000, 13:45 |
| Όγκος (MM)                  | 34.74            |
| Όγκος βροχόπτωσης (M3)      | 3.79E6           |
| Όγκος απωλειών (M3)         | 3.43E6           |
| Ενεργός Όγκος (M3)          | 3.61E5           |
| Όγκος άμεσης απορροής (M3)  | 3.61E5           |
| Όγκος βασικής απορροής (M3) | 3.44E5           |

Βροχόπτωση και Απορροή



Υπολεκάνη: EL0415FL11004

Έκταση (KM2) : 21.97

Κατάντη : J4

Μέθοδος Απωλειών: SCS

|                                |       |
|--------------------------------|-------|
| Ποσοστό αδιαπέρατης επιφάνειας | 0     |
| Αριθμός Καμπύλης Απορροής-CN   | 34.25 |
| Αρχικές Απώλειες               | 97.51 |

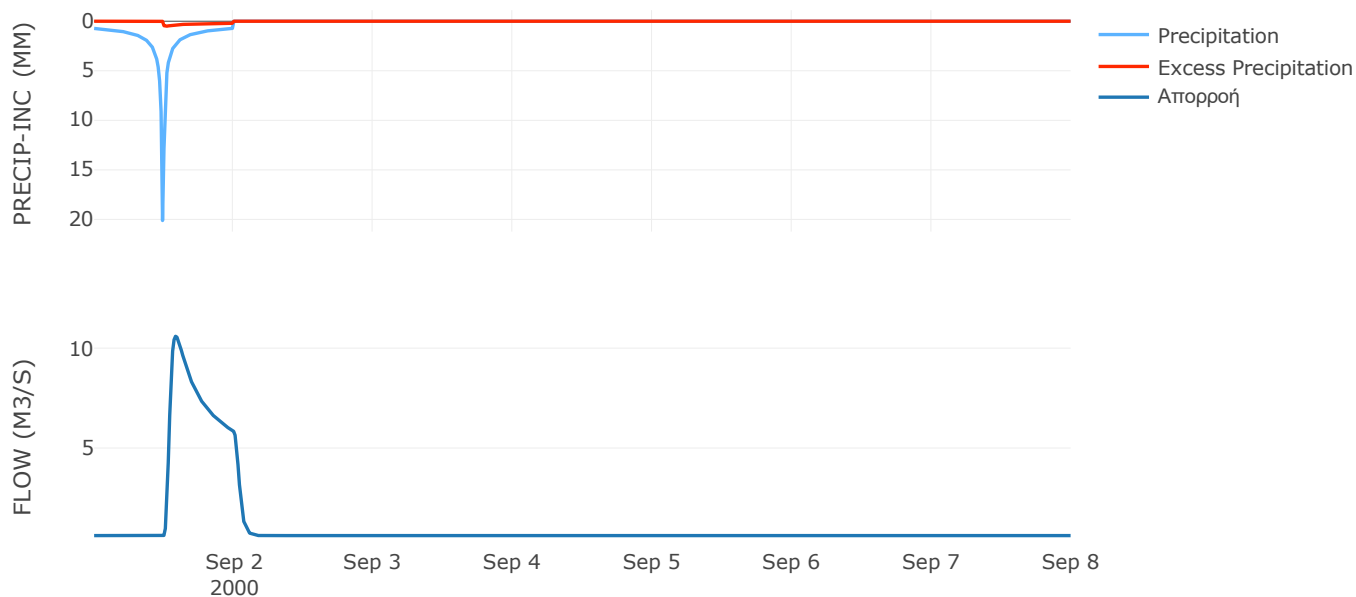
Μέθοδος  
Μετασχηματισμού: SCS

|                  |       |
|------------------|-------|
| Χρόνος Υστέρησης | 50.03 |
|------------------|-------|

Αποτελέσματα:  
EL0415FL11004

|                             |                  |
|-----------------------------|------------------|
| Παροχή αιχμής (M3/S)        | 10.6             |
| Χρονική στιγμή αιχμής       | 01Sep2000, 14:00 |
| Όγκος (MM)                  | 31.02            |
| Όγκος βροχόπτωσης (M3)      | 4.12E6           |
| Όγκος απωλειών (M3)         | 3.81E6           |
| Ενεργός Όγκος (M3)          | 3.09E5           |
| Όγκος άμεσης απορροής (M3)  | 3.09E5           |
| Όγκος βασικής απορροής (M3) | 3.72E5           |

Βροχόπτωση και Απορροή



Υπολεκάνη: EL0415FL11005

Έκταση (KM2) : 22.14

Κατάνη : J5

Μέθοδος Απωλειών: SCS

|                                |       |
|--------------------------------|-------|
| Ποσοστό αδιαπέρατης επιφάνειας | 0     |
| Αριθμός Καμπύλης Απορροής-CN   | 37.41 |
| Αρχικές Απώλειες               | 85    |

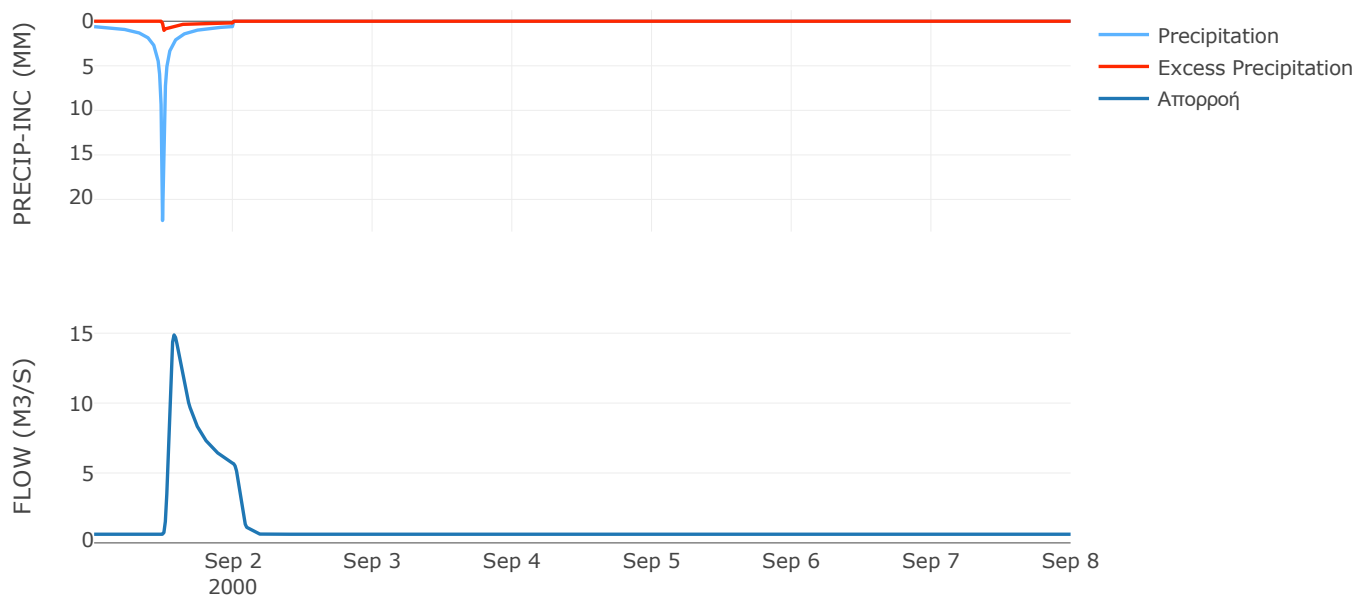
Μέθοδος  
Μετασχηματισμού: SCS

|                  |       |
|------------------|-------|
| Χρόνος Υστέρησης | 58.94 |
|------------------|-------|

Αποτελέσματα:  
EL0415FL11005

|                             |                  |
|-----------------------------|------------------|
| Παροχή αιχμής (M3/S)        | 14.87            |
| Χρονική στιγμή αιχμής       | 01Sep2000, 13:45 |
| Όγκος (MM)                  | 33.21            |
| Όγκος βροχόπτωσης (M3)      | 3.91E6           |
| Όγκος απωλειών (M3)         | 3.55E6           |
| Ενεργός Όγκος (M3)          | 3.6E5            |
| Όγκος άμεσης απορροής (M3)  | 3.6E5            |
| Όγκος βασικής απορροής (M3) | 3.75E5           |

Βροχόπτωση και Απορροή



## 6.2 Δεδομένα και υδρογραφήματα σχεδιασμού Κλάδων υδρογραφικού δικτύου

Κλάδος: R21

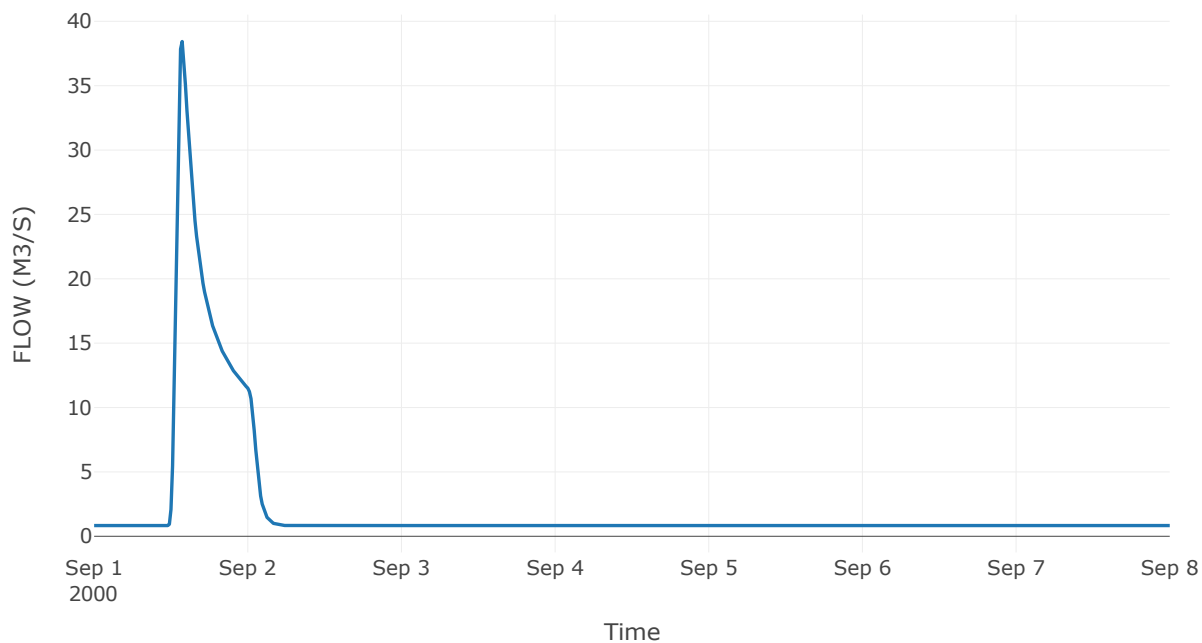
Κατάντη : J1

|                   |                 |
|-------------------|-----------------|
| Μέθοδος Διόδευσης | Χρόνος          |
| Αρχική Μεταβλητή  | Combined Inflow |
| Χρόνος Υστέρησης  | 0               |

Αποτελέσματα: R21

|                              |                  |
|------------------------------|------------------|
| Παροχή Αιχμής(M3/S)          | 38.43            |
| Χρονική στιγμή αιχμής        | 01Sep2000, 13:45 |
| Όγκος(MM)                    | 45.55            |
| Παροχή Αιχμής Εισόδου (M3/S) | 38.43            |
| Όγκος Εισροής(M3)            | 1.36E6           |

Απορροή



Κλάδος: R31

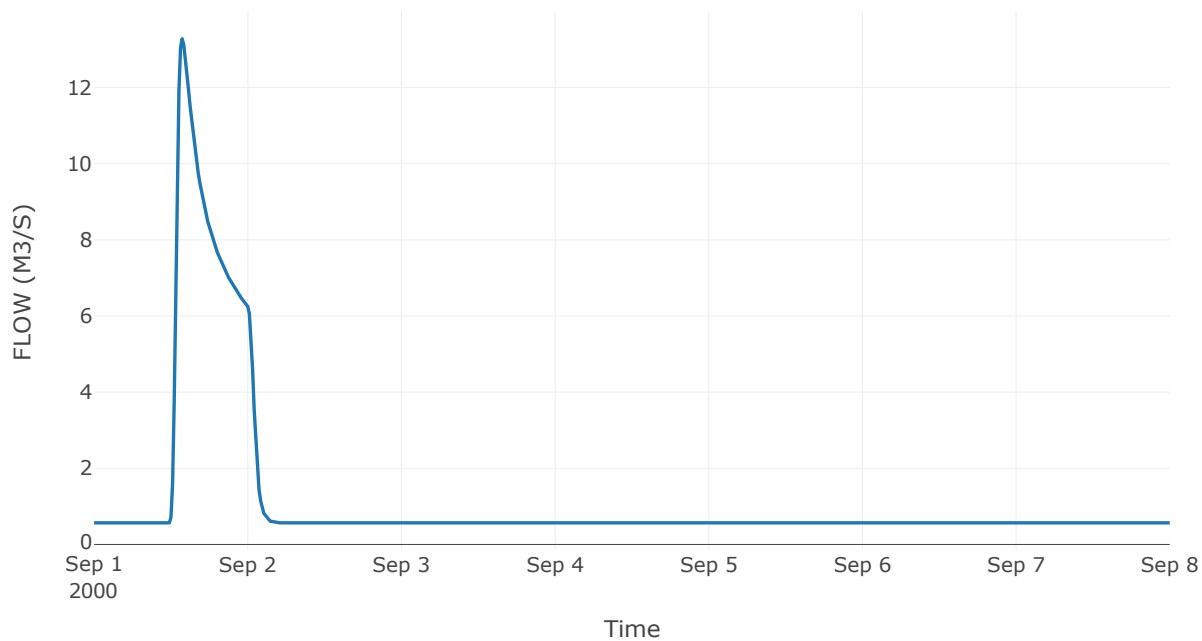
Κατάντη : J1

|                   |                 |
|-------------------|-----------------|
| Μέθοδος Διόδευσης | Χρόνος          |
| Αρχική Μεταβλητή  | Combined Inflow |
| Χρόνος Υστέρησης  | 0               |

Αποτελέσματα: R31

|                              |                  |
|------------------------------|------------------|
| Παροχή Αιχμής(M3/S)          | 13.28            |
| Χρονική στιγμή αιχμής        | 01Sep2000, 13:45 |
| Όγκος(MM)                    | 34.74            |
| Παροχή Αιχμής Εισόδου (M3/S) | 13.28            |
| Όγκος Εισροής(M3)            | 7.05E5           |

Απορροή



Κλάδος: R41

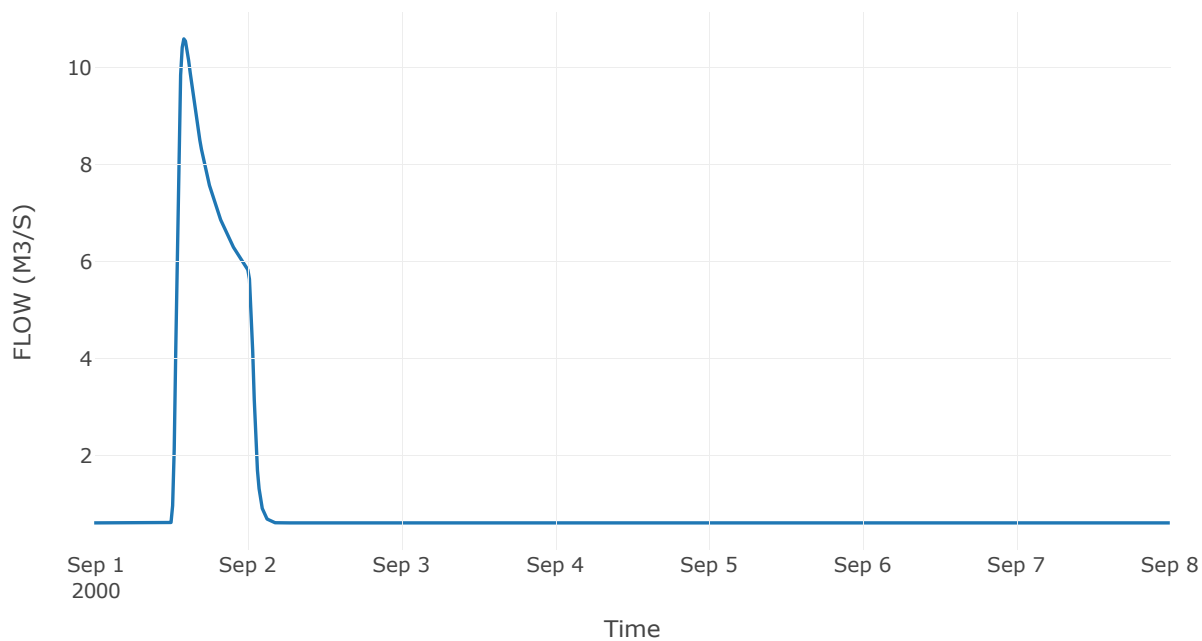
Κατάντη : J1

|                   |                 |
|-------------------|-----------------|
| Μέθοδος Διόδευσης | Χρόνος          |
| Αρχική Μεταβλητή  | Combined Inflow |
| Χρόνος Υστέρησης  | 0               |

Αποτελέσματα: R41

|                              |                  |
|------------------------------|------------------|
| Παροχή Αιχμής(M3/S)          | 10.6             |
| Χρονική στιγμή αιχμής        | 01Sep2000, 14:00 |
| Όγκος(MM)                    | 31.02            |
| Παροχή Αιχμής Εισόδου (M3/S) | 10.6             |
| Όγκος Εισροής(M3)            | 6.81E5           |

Απορροή





Κλάδος: R51

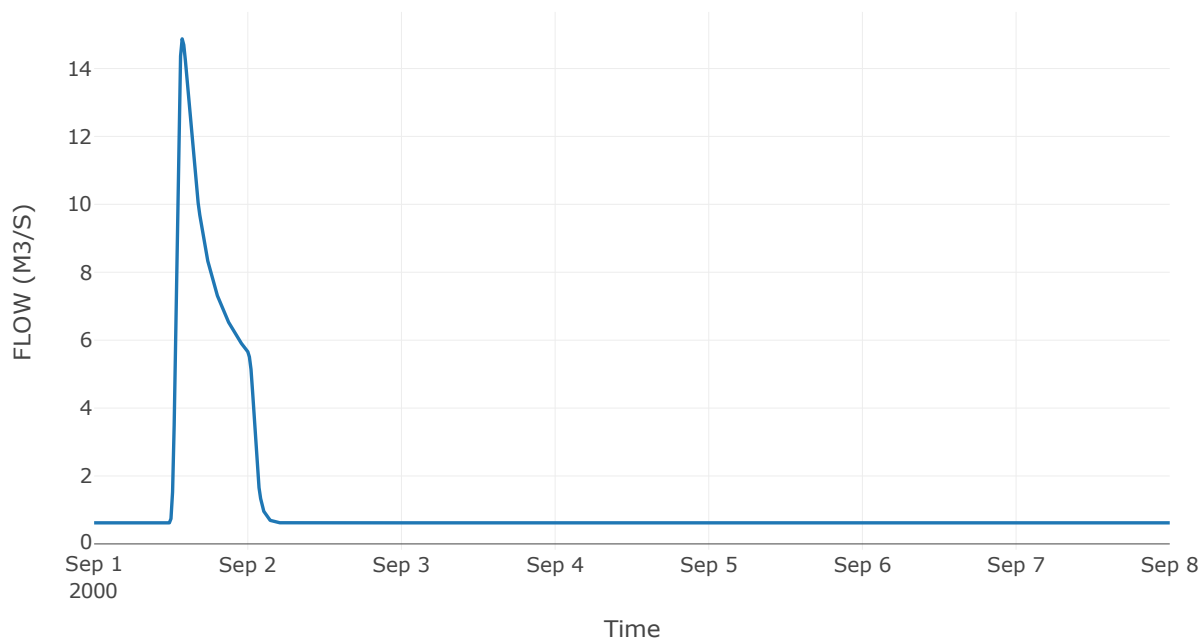
Κατάντη : J1

|                   |                 |
|-------------------|-----------------|
| Μέθοδος Διόδευσης | Χρόνος          |
| Αρχική Μεταβλητή  | Combined Inflow |
| Χρόνος Υστέρησης  | 0               |

Αποτελέσματα: R51

|                              |                  |
|------------------------------|------------------|
| Παροχή Αιχμής(M3/S)          | 14.87            |
| Χρονική στιγμή αιχμής        | 01Sep2000, 13:45 |
| Όγκος(MM)                    | 33.21            |
| Παροχή Αιχμής Εισόδου (M3/S) | 14.87            |
| Όγκος Εισροής(M3)            | 7.35E5           |

Απορροή



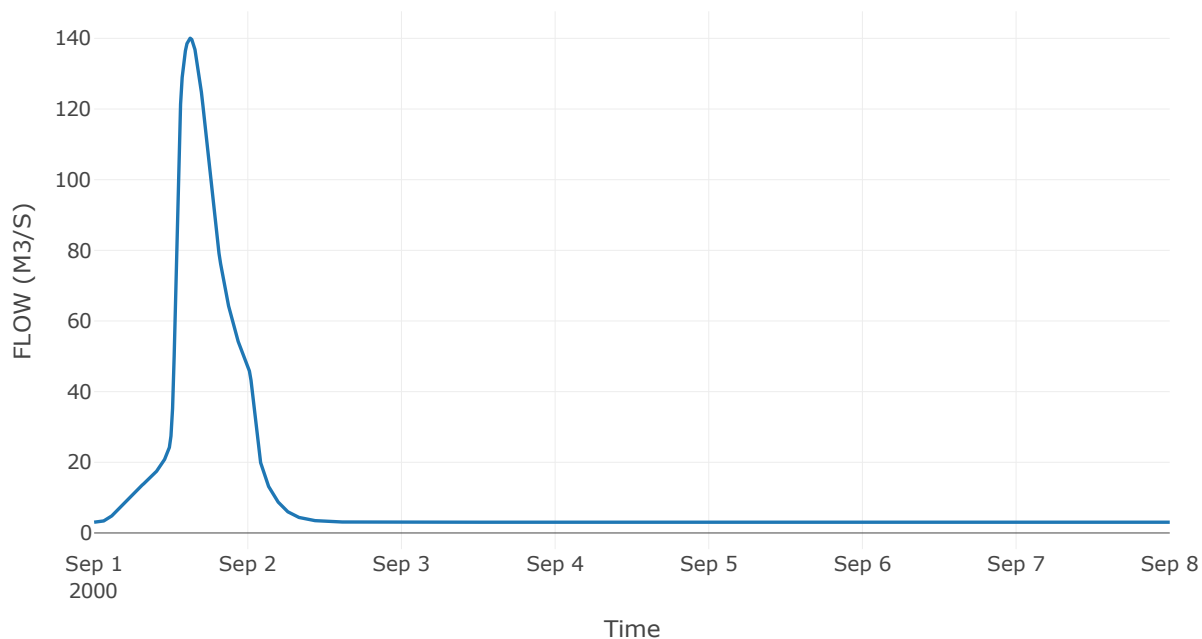
## 6.3 Δεδομένα και υδρογραφήματα σχεδιασμού Κόμβων υδρογραφικού δικτύου

Κόμβος εξόδου: J1

Αποτέλεσμα  
τα: J1

|                       |                  |
|-----------------------|------------------|
| Παροχή αιχμής (M3/S)  | 140.05           |
| Χρονική στιγμή αιχμής | 01Sep2000, 15:00 |
| Όγκος (MM)            | 58.65            |

Απορροή



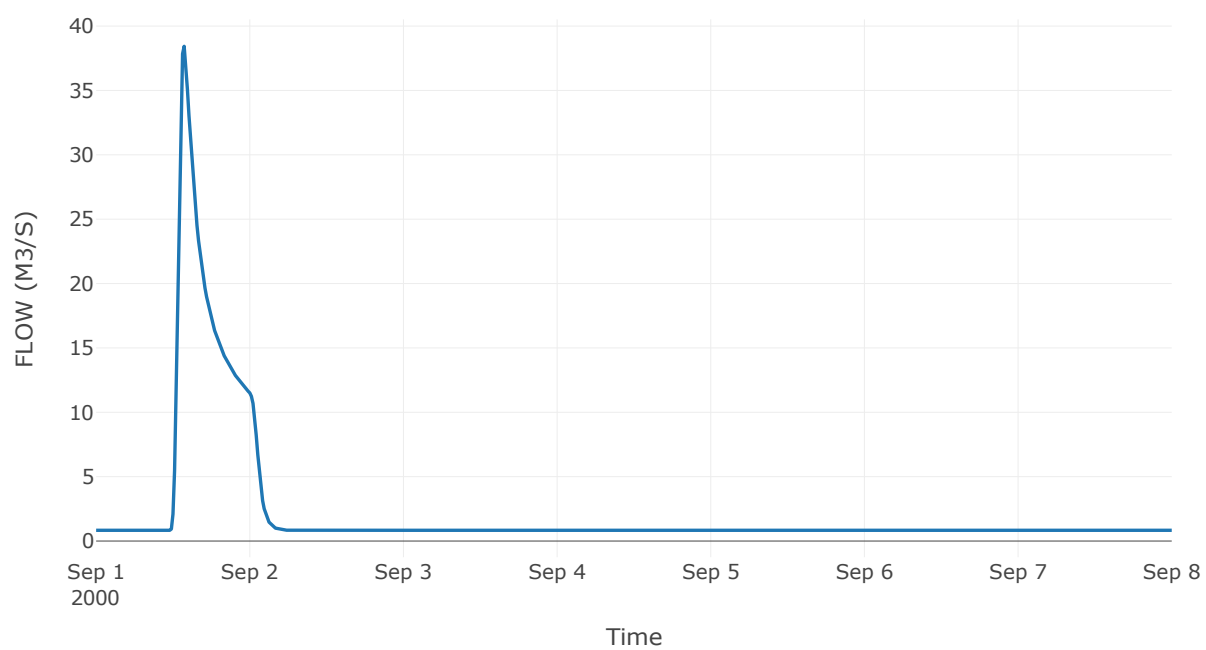
Κόμβος: J2

Κατάντη : R21

Αποτελέσματα: J2

|                       |                  |
|-----------------------|------------------|
| Παροχή Αιχμής(M3/S)   | 38.43            |
| Χρονική στιγμή αιχμής | 01Sep2000, 13:45 |
| Όγκος(MM)             | 45.55            |

Απορροή



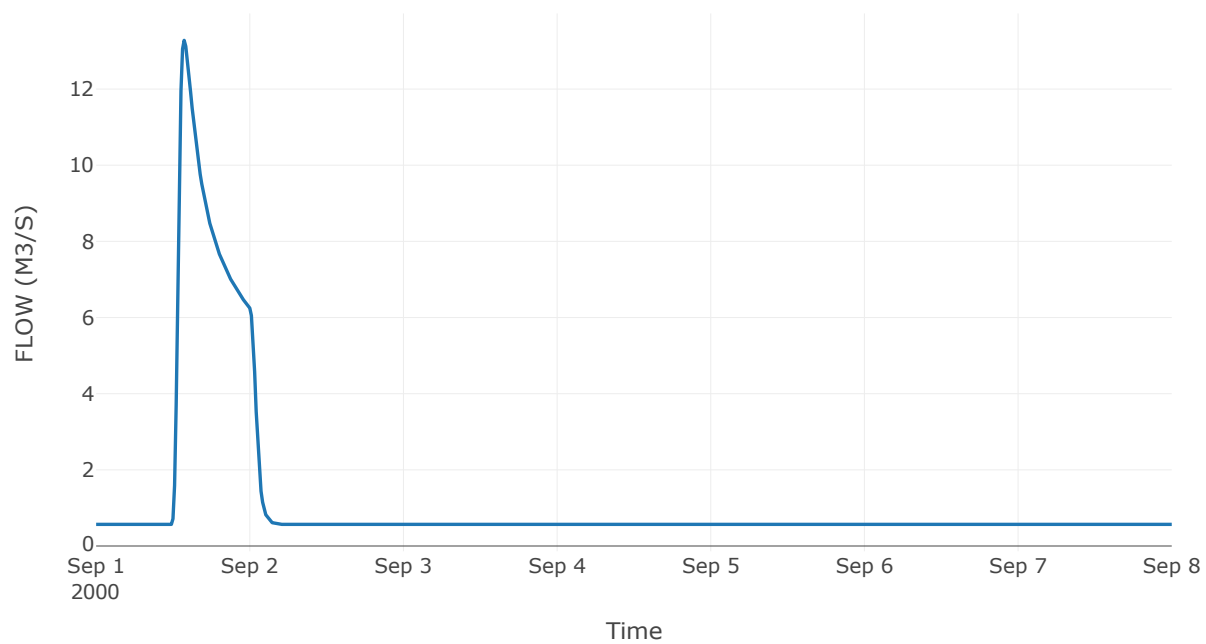
Κόμβος: J3

Κατάντη : R31

Αποτελέσματα: J3

|                       |                  |
|-----------------------|------------------|
| Παροχή Αιχμής(M3/S)   | 13.28            |
| Χρονική στιγμή αιχμής | 01Sep2000, 13:45 |
| Όγκος(MM)             | 34.74            |

Απορροή



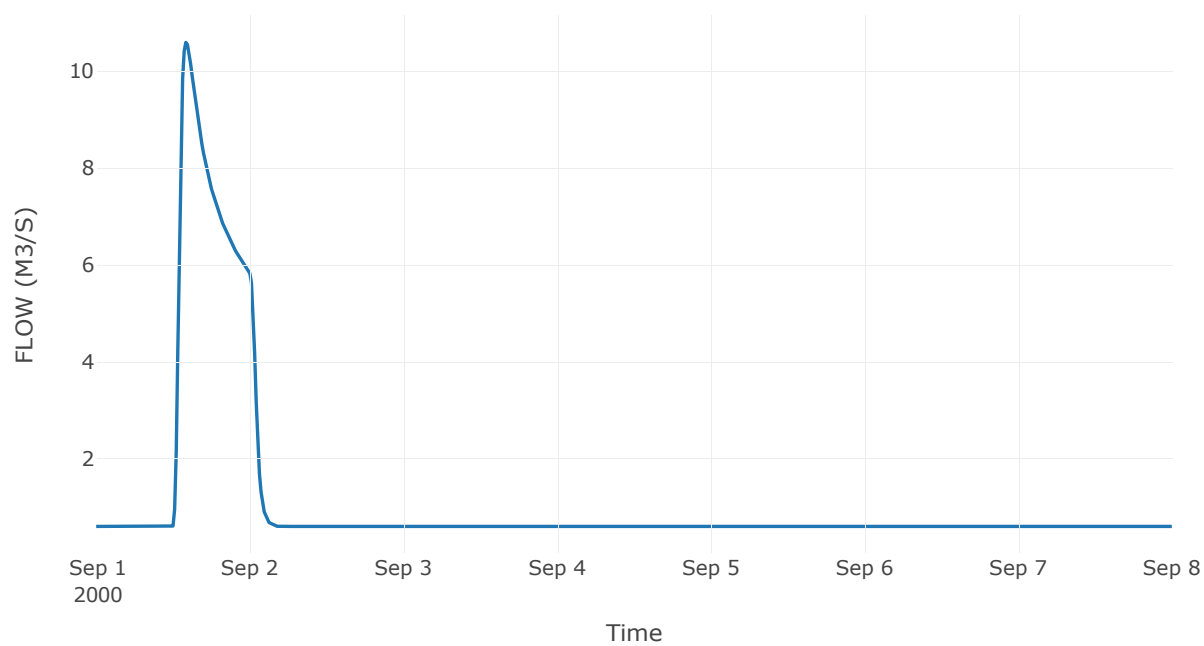
Κόμβος: J4

Κατάντη : R41

Αποτελέσματα: J4

|                       |                  |
|-----------------------|------------------|
| Παροχή Αιχμής(M3/S)   | 10.6             |
| Χρονική στιγμή αιχμής | 01Sep2000, 14:00 |
| Όγκος(MM)             | 31.02            |

Απορροή



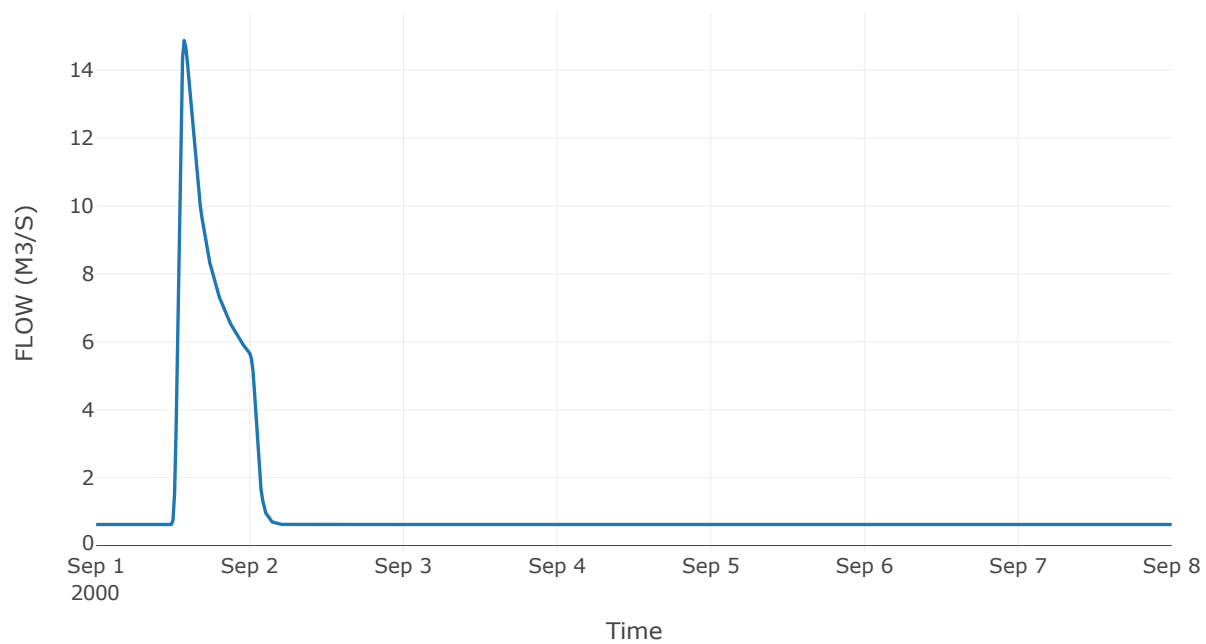
Κόμβος: J5

Κατάντη : R51

Αποτελέσματα: J5

|                       |                  |
|-----------------------|------------------|
| Παροχή Αιχμής(M3/S)   | 14.87            |
| Χρονική στιγμή αιχμής | 01Sep2000, 13:45 |
| Όγκος(MM)             | 33.21            |

Απορροή



## 7 Δεδομένα εισόδου και αποτελέσματα υδρολογικού σεναρίου T=100U

## 7.1 Αποτελέσματα, υετογραφήματα και υδρογραφήματα σχεδιασμού υπολεκανών



Υπολεκάνη: EL0415FL11001

Έκταση (KM2) : 14.53

Κατάνη : J1

Μέθοδος Απωλειών: SCS

|                                |       |
|--------------------------------|-------|
| Ποσοστό αδιαπέρατης επιφάνειας | 100   |
| Αριθμός Καμπύλης Απορροής-CN   | 98.71 |
| Αρχικές Απώλειες               | 0.66  |

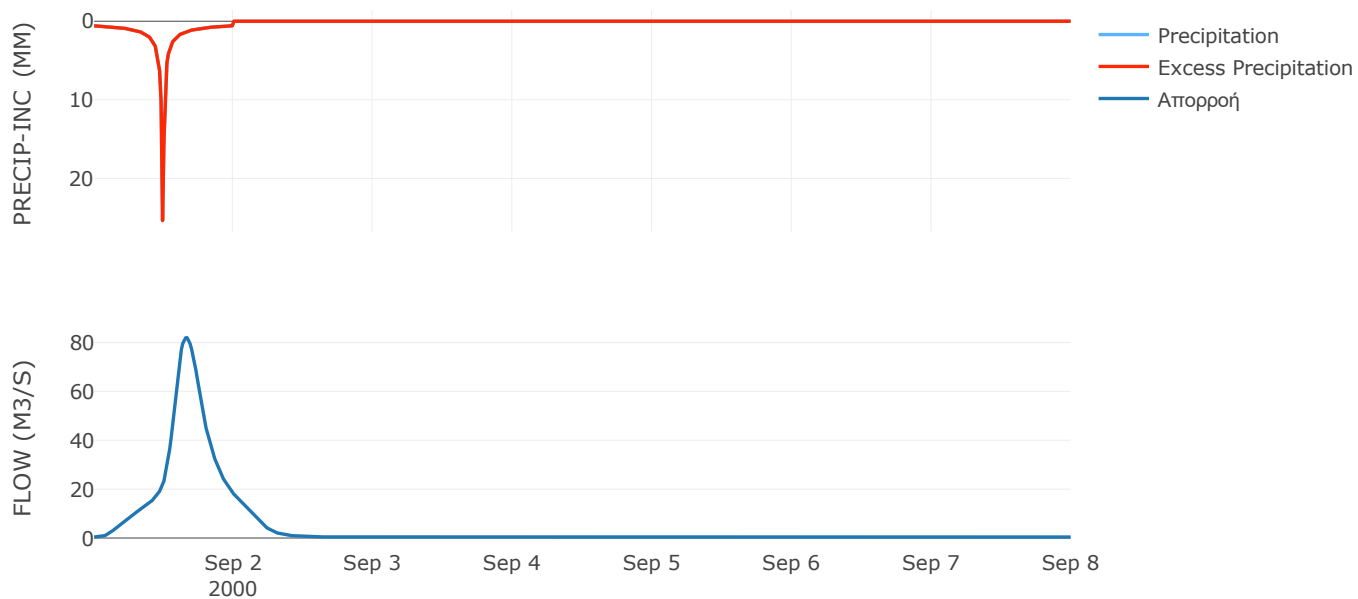
Μέθοδος  
Μετασχηματισμού: SCS

|                  |        |
|------------------|--------|
| Χρόνος Υστέρησης | 228.63 |
|------------------|--------|

Αποτελέσματα:  
EL0415FL11001

|                             |                  |
|-----------------------------|------------------|
| Παροχή αιχμής (M3/S)        | 81.95            |
| Χρονική στιγμή αιχμής       | 01Sep2000, 16:00 |
| Όγκος (MM)                  | 199.42           |
| Όγκος βροχόπτωσης (M3)      | 2.65E6           |
| Όγκος απωλειών (M3)         | 0                |
| Ενεργός Όγκος (M3)          | 2.65E6           |
| Όγκος άμεσης απορροής (M3)  | 2.65E6           |
| Όγκος βασικής απορροής (M3) | 2.46E5           |

Βροχόπτωση και Απορροή



Υπολεκάνη: EL0415FL11002

Έκταση (KM2) : 29.77

Κατάντη : J2

Μέθοδος Απωλειών: SCS

|                                |       |
|--------------------------------|-------|
| Ποσοστό αδιαπέρατης επιφάνειας | 0     |
| Αριθμός Καμπύλης Απορροής-CN   | 80.1  |
| Αρχικές Απώλειες               | 12.62 |

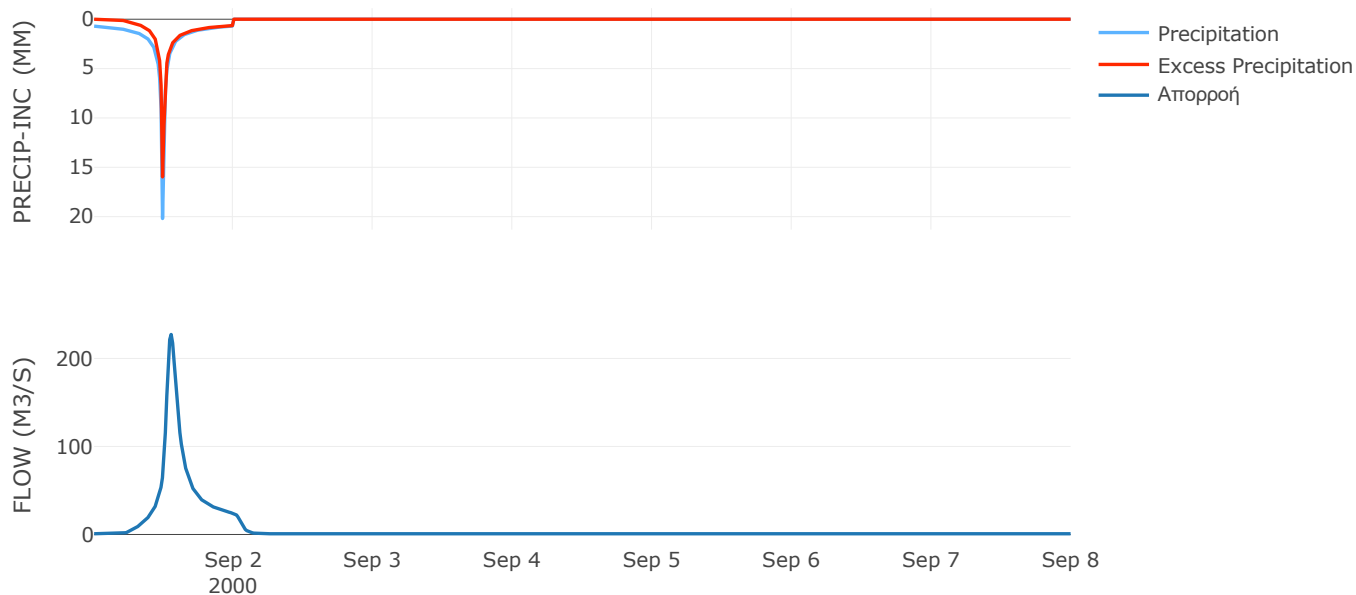
Μέθοδος  
Μετασχηματισμού: SCS

|                  |       |
|------------------|-------|
| Χρόνος Υστέρησης | 69.23 |
|------------------|-------|

Αποτελέσματα:  
EL0415FL11002

|                             |                  |
|-----------------------------|------------------|
| Παροχή αιχμής (M3/S)        | 227.29           |
| Χρονική στιγμή αιχμής       | 01Sep2000, 13:15 |
| Όγκος (MM)                  | 142.09           |
| Όγκος βροχόπτωσης (M3)      | 5.47E6           |
| Όγκος απωλειών (M3)         | 1.75E6           |
| Ενεργός Όγκος (M3)          | 3.73E6           |
| Όγκος άμεσης απορροής (M3)  | 3.73E6           |
| Όγκος βασικής απορροής (M3) | 5.04E5           |

Βροχόπτωση και Απορροή



Υπολεκάνη: EL0415FL11003

Έκταση (KM2) : 20.29

Κατάντη : J3

Μέθοδος Απωλειών: SCS

|                                |       |
|--------------------------------|-------|
| Ποσοστό αδιαπέρατης επιφάνειας | 0     |
| Αριθμός Καμπύλης Απορροής-CN   | 75.85 |
| Αρχικές Απώλειες               | 16.18 |

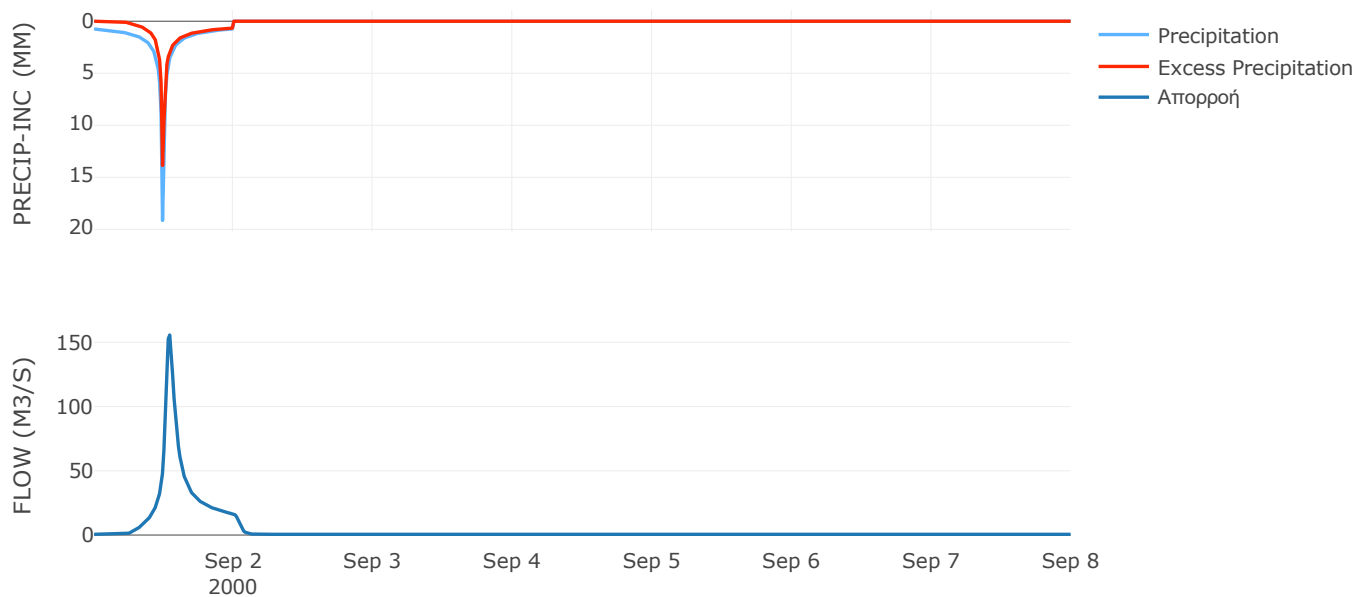
Μέθοδος  
Μετασχηματισμού: SCS

|                  |       |
|------------------|-------|
| Χρόνος Υστέρησης | 52.41 |
|------------------|-------|

Αποτελέσματα:  
EL0415FL11003

|                             |                  |
|-----------------------------|------------------|
| Παροχή αιχμής (M3/S)        | 155.69           |
| Χρονική στιγμή αιχμής       | 01Sep2000, 13:00 |
| Όγκος (MM)                  | 132.63           |
| Όγκος βροχόπτωσης (M3)      | 3.79E6           |
| Όγκος απωλειών (M3)         | 1.44E6           |
| Ενεργός Όγκος (M3)          | 2.35E6           |
| Όγκος άμεσης απορροής (M3)  | 2.35E6           |
| Όγκος βασικής απορροής (M3) | 3.44E5           |

Βροχόπτωση και Απορροή



Υπολεκάνη: EL0415FL11004

Έκταση (KM2) : 21.97

Κατάντη : J4

Μέθοδος Απωλειών: SCS

|                                |       |
|--------------------------------|-------|
| Ποσοστό αδιαπέρατης επιφάνειας | 0     |
| Αριθμός Καμπύλης Απορροής-CN   | 74.05 |
| Αρχικές Απώλειες               | 17.81 |

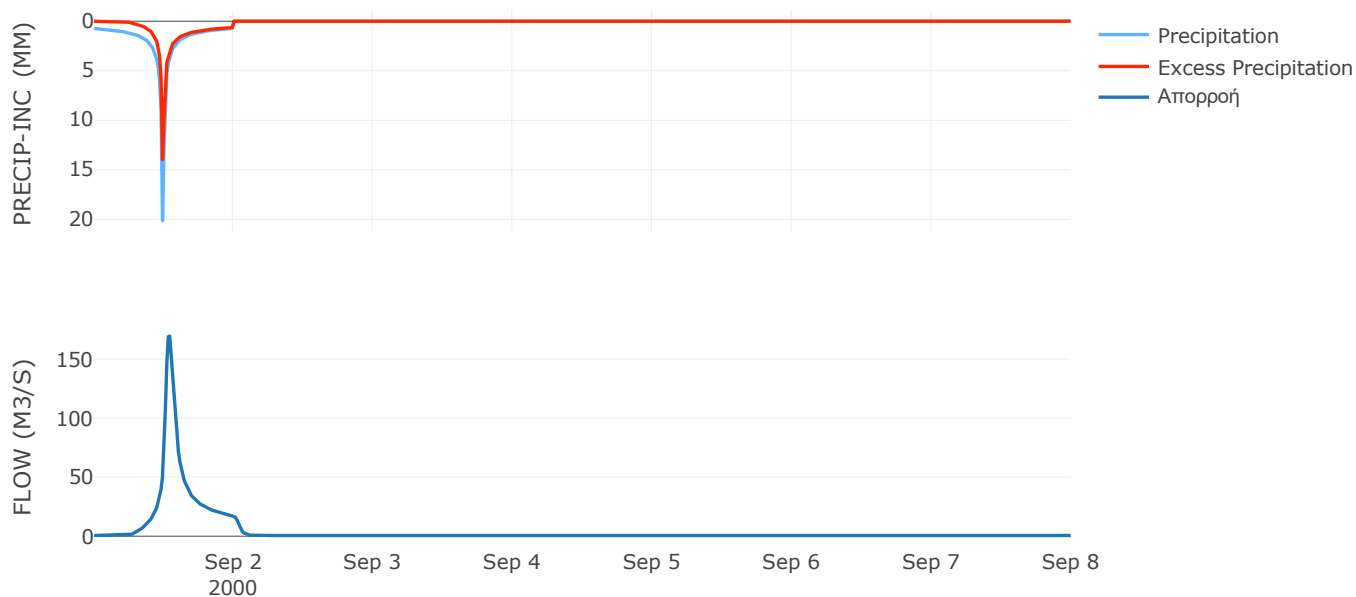
Μέθοδος  
Μετασχηματισμού: SCS

|                  |       |
|------------------|-------|
| Χρόνος Υστέρησης | 50.03 |
|------------------|-------|

Αποτελέσματα:  
EL0415FL11004

|                             |                  |
|-----------------------------|------------------|
| Παροχή αιχμής (M3/S)        | 169.49           |
| Χρονική στιγμή αιχμής       | 01Sep2000, 13:00 |
| Όγκος (MM)                  | 128.42           |
| Όγκος βροχόπτωσης (M3)      | 4.12E6           |
| Όγκος απωλειών (M3)         | 1.67E6           |
| Ενεργός Όγκος (M3)          | 2.45E6           |
| Όγκος άμεσης απορροής (M3)  | 2.45E6           |
| Όγκος βασικής απορροής (M3) | 3.72E5           |

Βροχόπτωση και Απορροή



Υπολεκάνη: EL0415FL11005

Έκταση (KM2) : 22.14

Κατάντη : J5

Μέθοδος Απωλειών: SCS

|                                |       |
|--------------------------------|-------|
| Ποσοστό αδιαπέρατης επιφάνειας | 0     |
| Αριθμός Καμπύλης Απορροής-CN   | 76.6  |
| Αρχικές Απώλειες               | 15.52 |

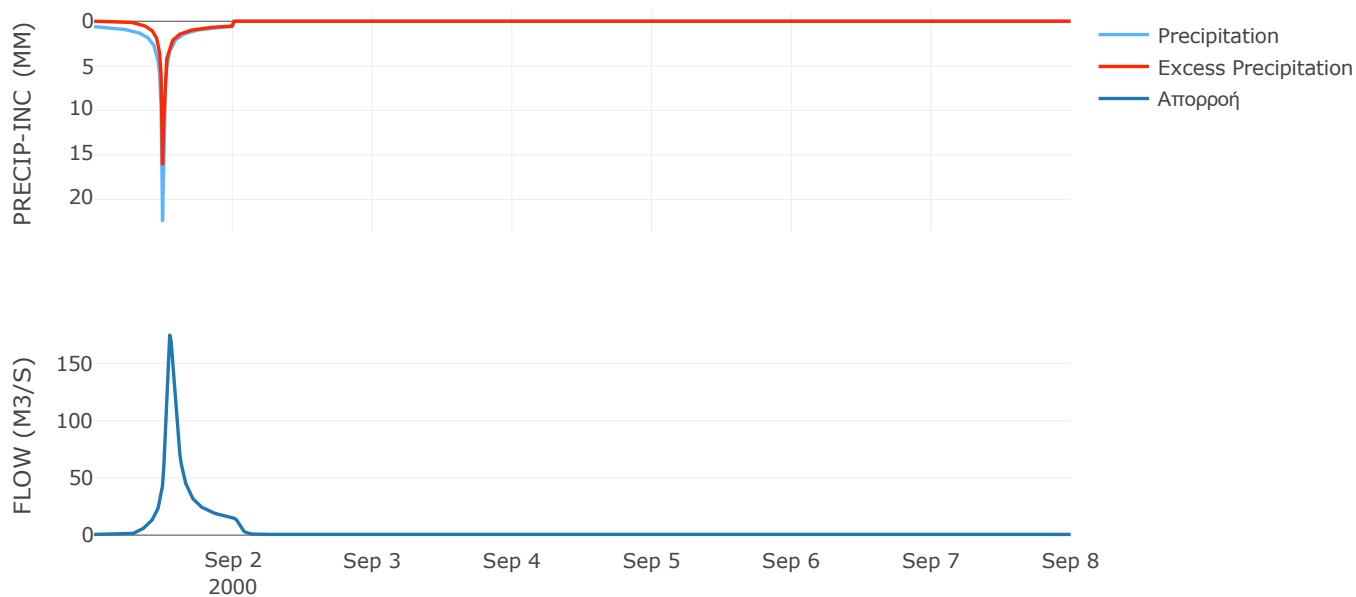
Μέθοδος  
Μετασχηματισμού: SCS

|                  |       |
|------------------|-------|
| Χρόνος Υστέρησης | 58.94 |
|------------------|-------|

Αποτελέσματα:  
EL0415FL11005

|                             |                  |
|-----------------------------|------------------|
| Παροχή αιχμής (M3/S)        | 174.76           |
| Χρονική στιγμή αιχμής       | 01Sep2000, 13:00 |
| Όγκος (MM)                  | 125.72           |
| Όγκος βροχόπτωσης (M3)      | 3.91E6           |
| Όγκος απωλειών (M3)         | 1.5E6            |
| Ενεργός Όγκος (M3)          | 2.41E6           |
| Όγκος άμεσης απορροής (M3)  | 2.41E6           |
| Όγκος βασικής απορροής (M3) | 3.75E5           |

Βροχόπτωση και Απορροή



## 7.2 Δεδομένα και υδρογραφήματα σχεδιασμού Κλάδων υδρογραφικού δικτύου

Κλάδος: R21

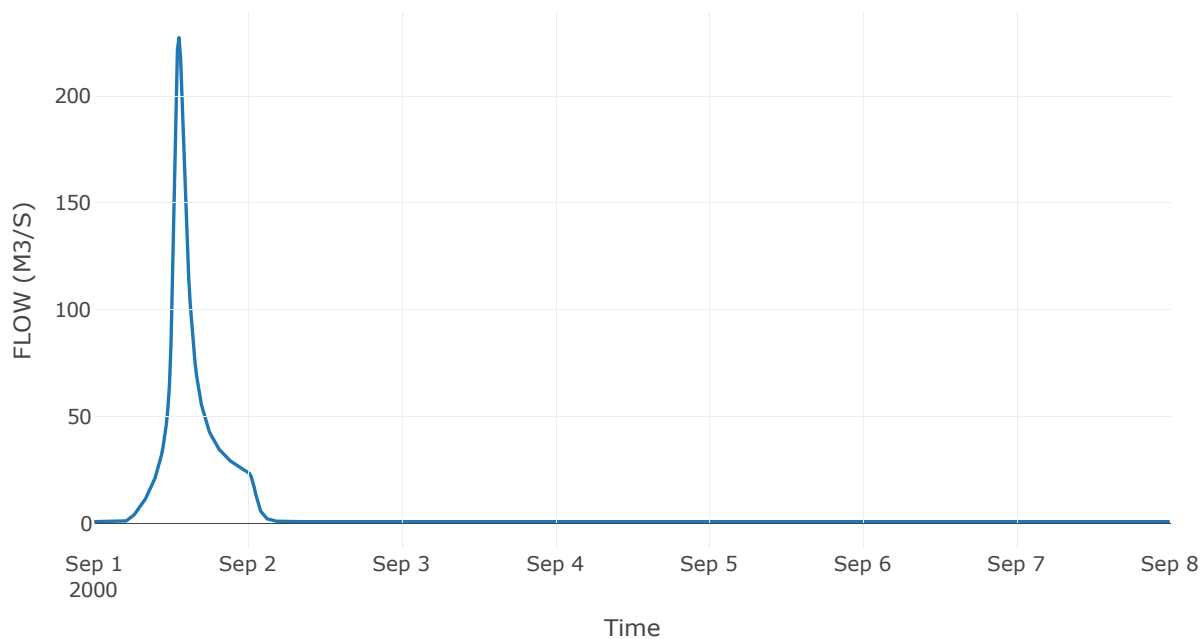
Κατάντη : J1

|                   |                 |
|-------------------|-----------------|
| Μέθοδος Διόδευσης | Χρόνος          |
| Αρχική Μεταβλητή  | Combined Inflow |
| Χρόνος Υστέρησης  | 0               |

Αποτελέσματα: R21

|                              |                  |
|------------------------------|------------------|
| Παροχή Αιχμής(M3/S)          | 227.29           |
| Χρονική στιγμή αιχμής        | 01Sep2000, 13:15 |
| Όγκος(MM)                    | 142.09           |
| Παροχή Αιχμής Εισόδου (M3/S) | 227.29           |
| Όγκος Εισροής(M3)            | 4.23E6           |

Απορροή



Κλάδος: R31

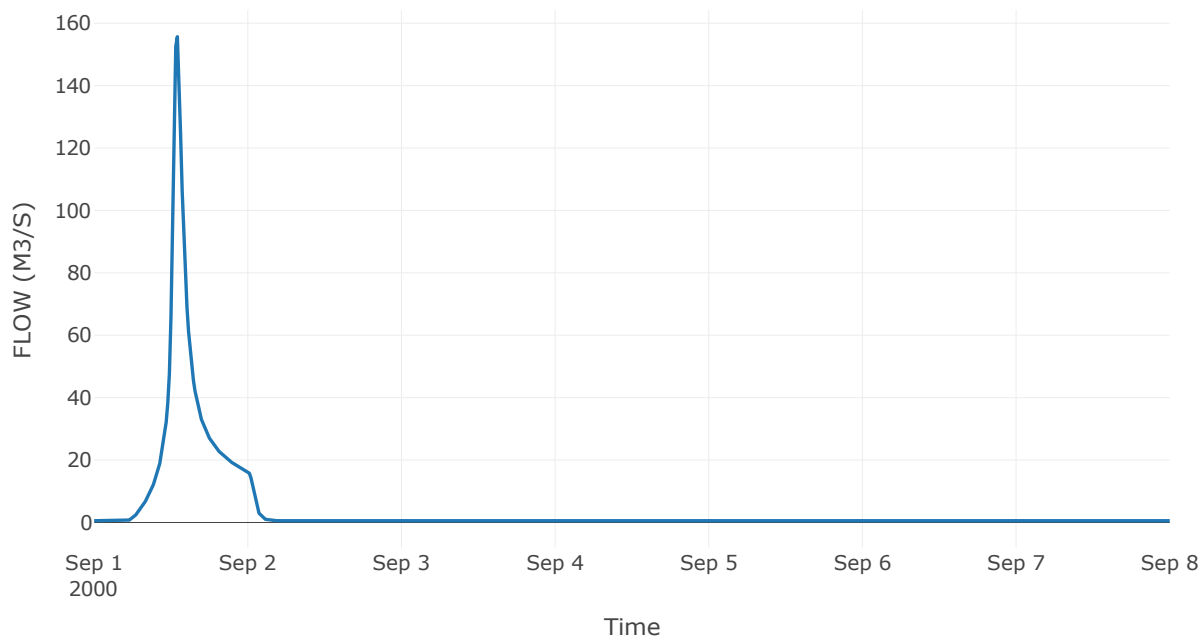
Κατάντη : J1

|                   |                 |
|-------------------|-----------------|
| Μέθοδος Διόδευσης | Χρόνος          |
| Αρχική Μεταβλητή  | Combined Inflow |
| Χρόνος Υστέρησης  | 0               |

Αποτελέσματα: R31

|                              |                  |
|------------------------------|------------------|
| Παροχή Αιχμής(M3/S)          | 155.69           |
| Χρονική στιγμή αιχμής        | 01Sep2000, 13:00 |
| Όγκος(MM)                    | 132.63           |
| Παροχή Αιχμής Εισόδου (M3/S) | 155.69           |
| Όγκος Εισροής(M3)            | 2.69E6           |

Απορροή



Κλάδος: R41

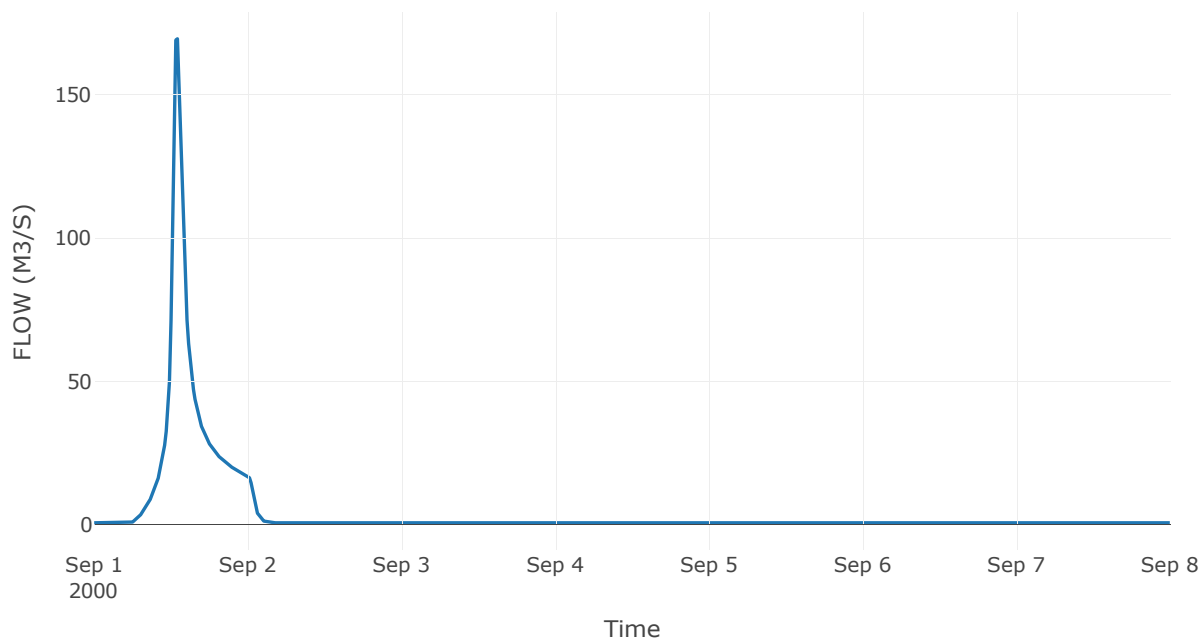
Κατάντη : J1

|                   |                 |
|-------------------|-----------------|
| Μέθοδος Διόδευσης | Χρόνος          |
| Αρχική Μεταβλητή  | Combined Inflow |
| Χρόνος Υστέρησης  | 0               |

Αποτελέσματα: R41

|                              |                  |
|------------------------------|------------------|
| Παροχή Αιχμής(M3/S)          | 169.49           |
| Χρονική στιγμή αιχμής        | 01Sep2000, 13:00 |
| Όγκος(MM)                    | 128.42           |
| Παροχή Αιχμής Εισόδου (M3/S) | 169.49           |
| Όγκος Εισροής(M3)            | 2.82E6           |

Απορροή





Κλάδος: R51

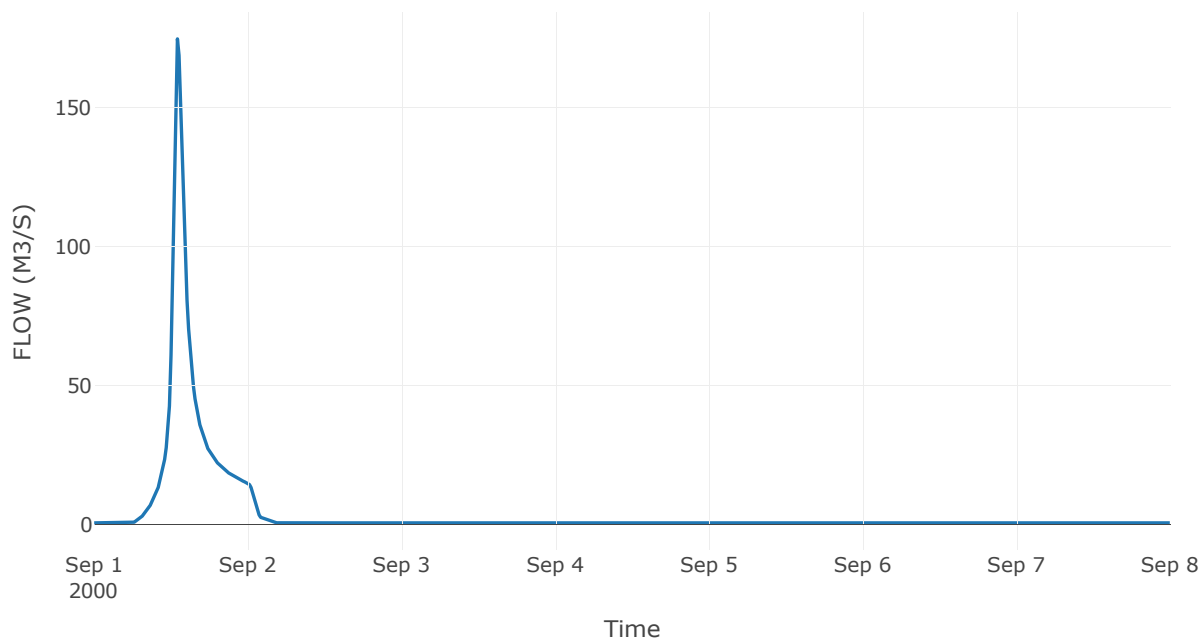
Κατάντη : J1

|                   |                 |
|-------------------|-----------------|
| Μέθοδος Διόδευσης | Χρόνος          |
| Αρχική Μεταβλητή  | Combined Inflow |
| Χρόνος Υστέρησης  | 0               |

Αποτελέσματα: R51

|                              |                  |
|------------------------------|------------------|
| Παροχή Αιχμής(M3/S)          | 174.76           |
| Χρονική στιγμή αιχμής        | 01Sep2000, 13:00 |
| Όγκος(MM)                    | 125.72           |
| Παροχή Αιχμής Εισόδου (M3/S) | 174.76           |
| Όγκος Εισροής(M3)            | 2.78E6           |

Απορροή



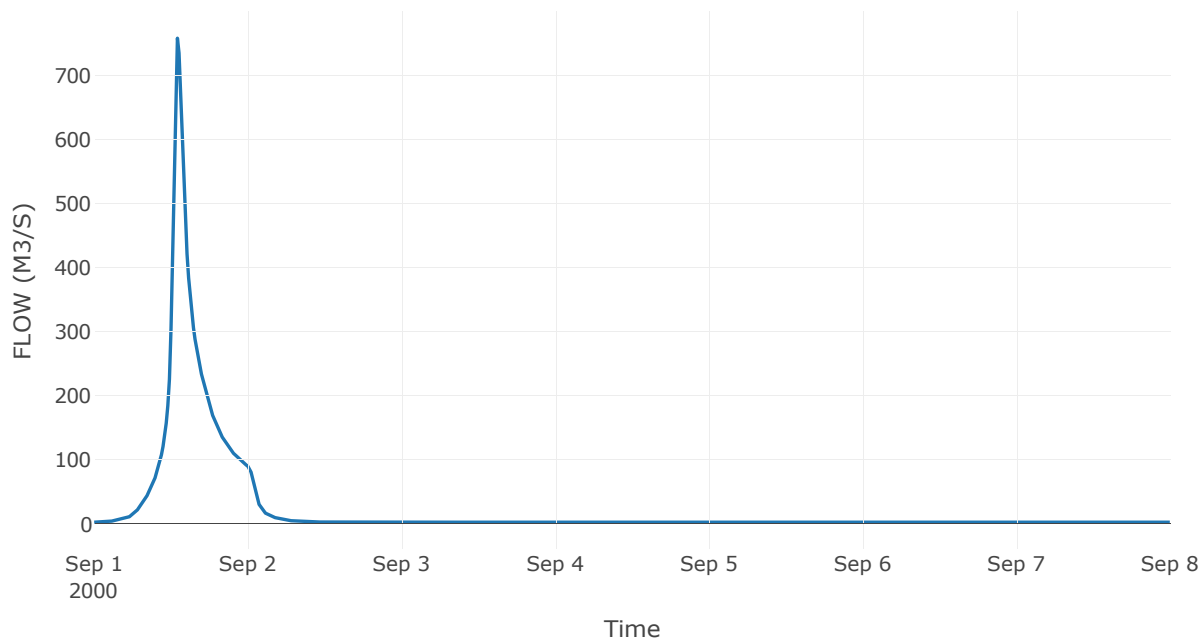
## 7.3 Δεδομένα και υδρογραφήματα σχεδιασμού Κόμβων υδρογραφικού δικτύου

Κόμβος εξόδου: J1

Αποτελέσμα  
τα: J1

|                       |                  |
|-----------------------|------------------|
| Παροχή αιχμής (M3/S)  | 757.83           |
| Χρονική στιγμή αιχμής | 01Sep2000, 13:00 |
| Όγκος (MM)            | 141.89           |

Απορροή



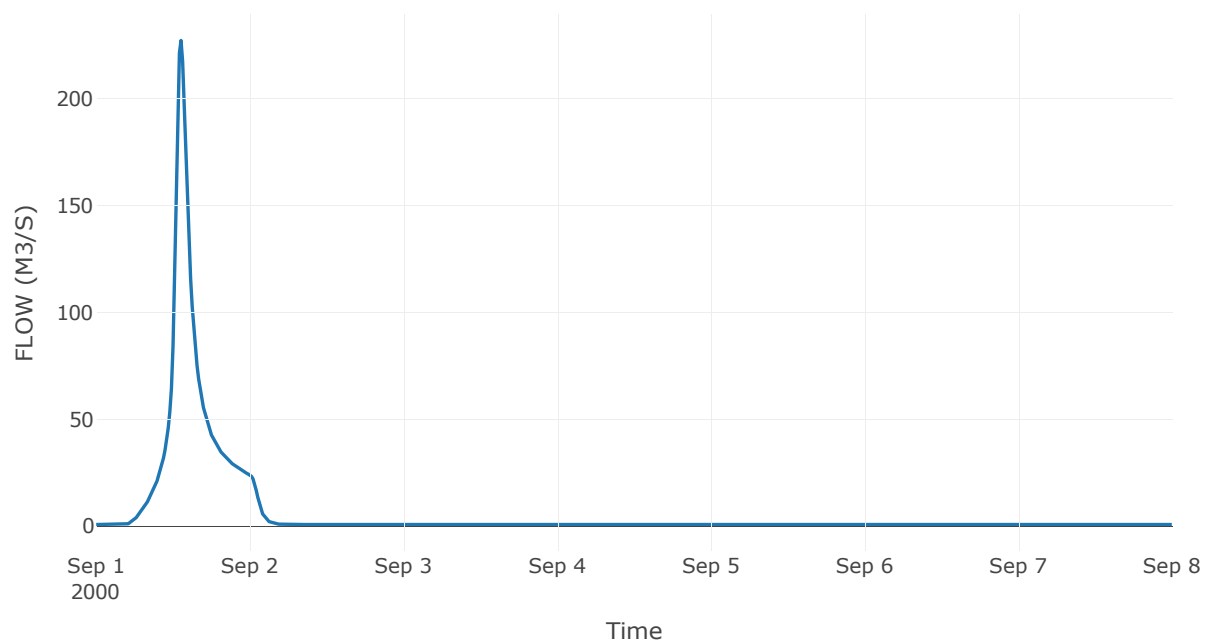
Κόμβος: J2

Κατάντη : R21

Αποτελέσματα: J2

|                       |                  |
|-----------------------|------------------|
| Παροχή Αιχμής(M3/S)   | 227.29           |
| Χρονική στιγμή αιχμής | 01Sep2000, 13:15 |
| Όγκος(MM)             | 142.09           |

Απορροή



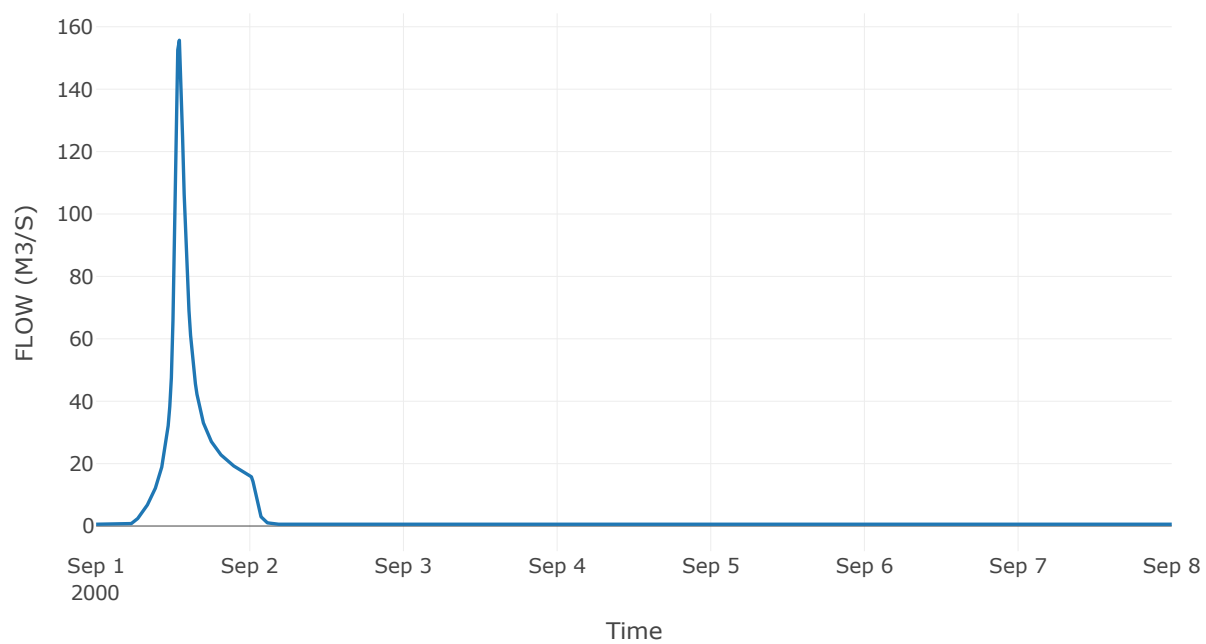
Κόμβος: J3

Κατάντη : R31

Αποτελέσματα: J3

|                       |                  |
|-----------------------|------------------|
| Παροχή Αιχμής(M3/S)   | 155.69           |
| Χρονική στιγμή αιχμής | 01Sep2000, 13:00 |
| Όγκος(MM)             | 132.63           |

Απορροή



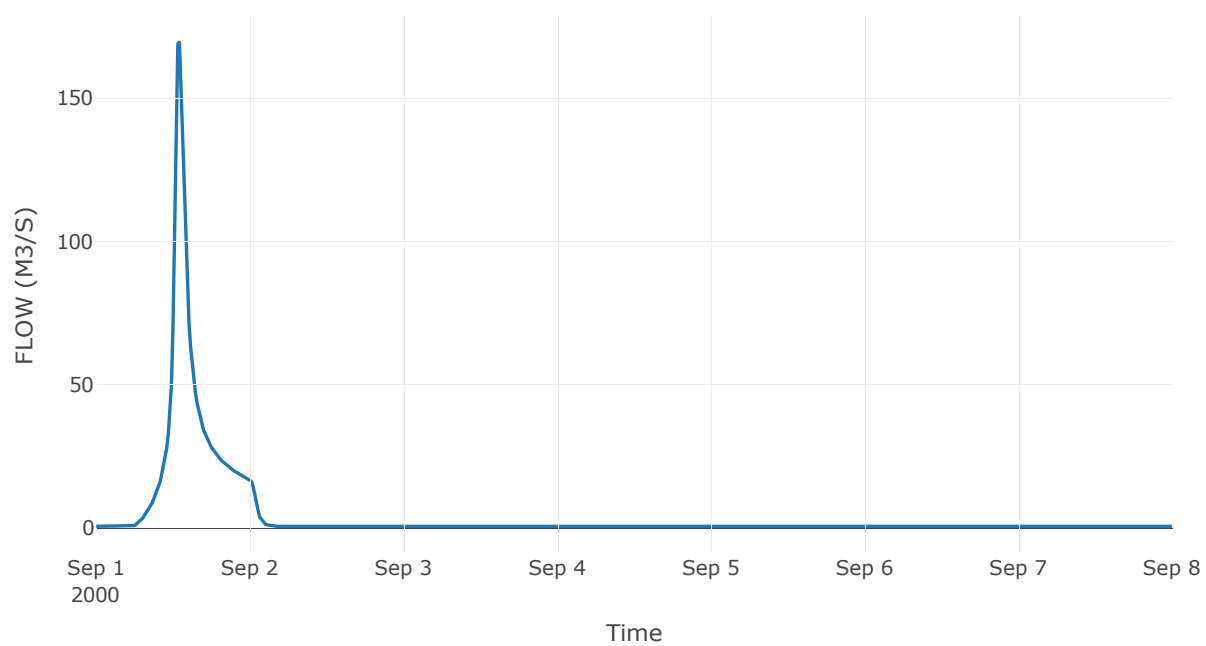
Κόμβος: J4

Κατάντη : R41

Αποτελέσματα: J4

|                       |                  |
|-----------------------|------------------|
| Παροχή Αιχμής(M3/S)   | 169.49           |
| Χρονική στιγμή αιχμής | 01Sep2000, 13:00 |
| Όγκος(MM)             | 128.42           |

Απορροή



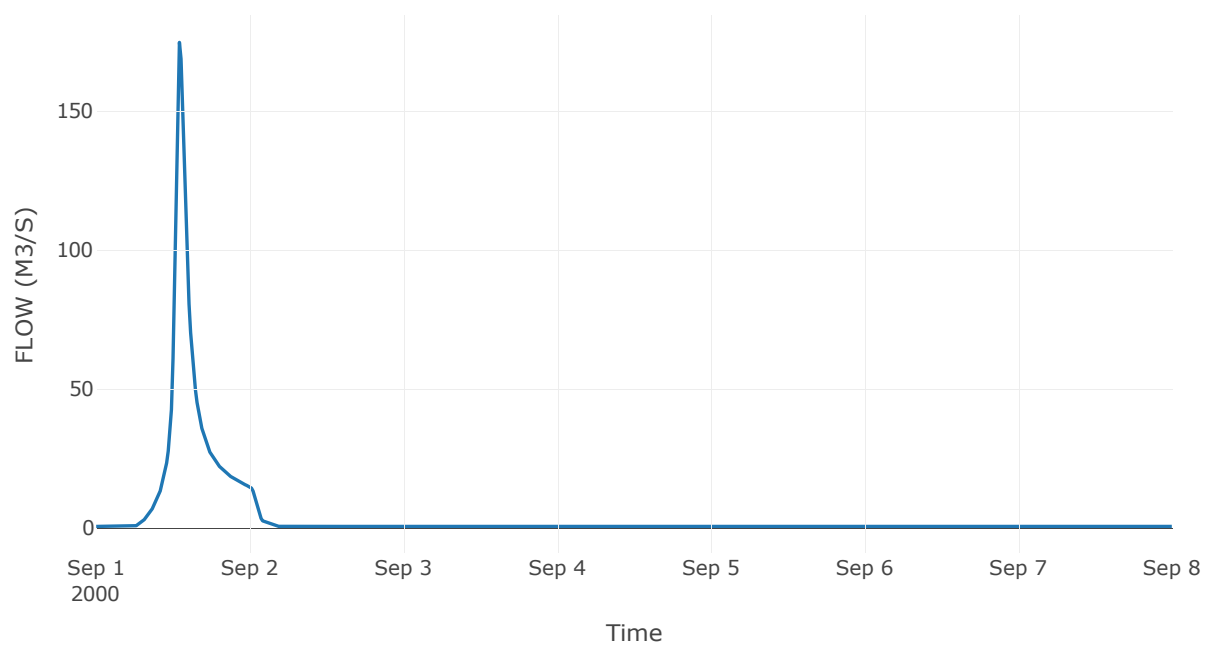
Κόμβος: J5

Κατάντη : R51

Αποτελέσματα: J5

|                       |                  |
|-----------------------|------------------|
| Παροχή Αιχμής(M3/S)   | 174.76           |
| Χρονική στιγμή αιχμής | 01Sep2000, 13:00 |
| Όγκος(MM)             | 125.72           |

Απορροή



## 8 Δεδομένα εισόδου και αποτελέσματα υδρολογικού σεναρίου $T=1000$

## 8.1 Αποτελέσματα, υετογραφήματα και υδρογραφήματα σχεδιασμού υπολεκανών



Υπολεκάνη: EL0415FL11001

Έκταση (KM2) : 14.53

Κατάνη : J1

Μέθοδος Απωλειών: SCS

|                                |       |
|--------------------------------|-------|
| Ποσοστό αδιαπέρατης επιφάνειας | 100   |
| Αριθμός Καμπύλης Απορροής-CN   | 98.71 |
| Αρχικές Απώλειες               | 0.66  |

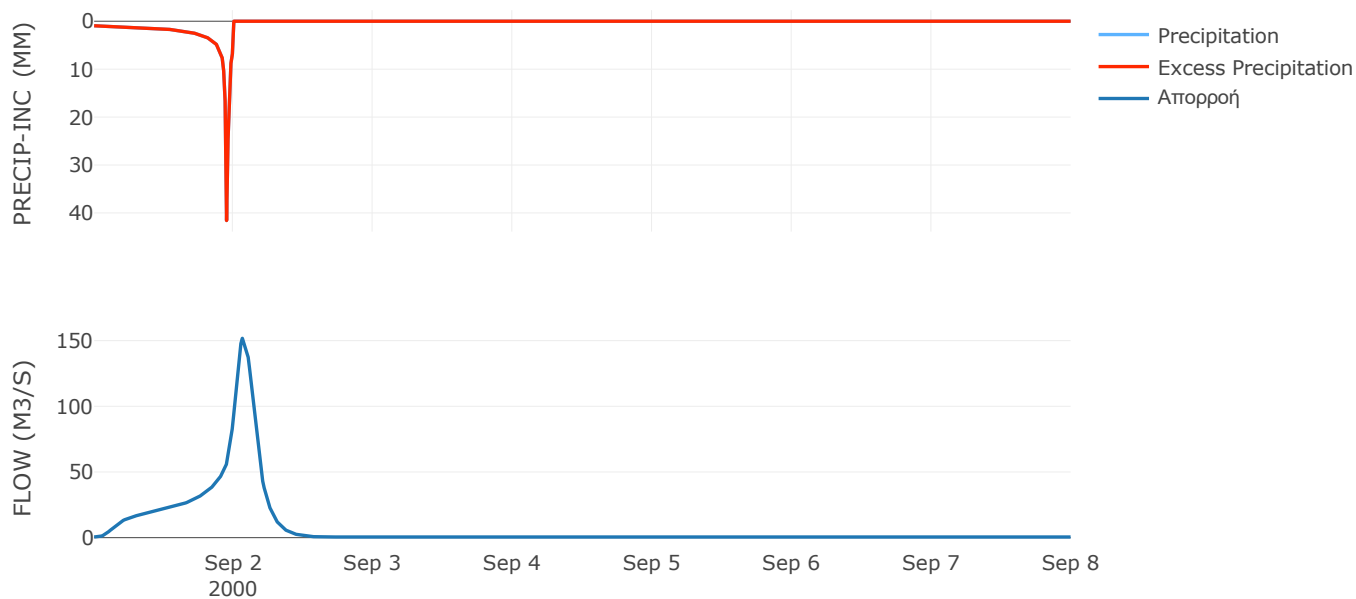
Μέθοδος  
Μετασχηματισμού: SCS

|                  |        |
|------------------|--------|
| Χρόνος Υστέρησης | 178.54 |
|------------------|--------|

Αποτελέσματα:  
EL0415FL11001

|                             |                  |
|-----------------------------|------------------|
| Παροχή αιχμής (M3/S)        | 152.22           |
| Χρονική στιγμή αιχμής       | 02Sep2000, 01:45 |
| Όγκος (MM)                  | 320.41           |
| Όγκος βροχόπτωσης (M3)      | 4.35E6           |
| Όγκος απωλειών (M3)         | 0                |
| Ενεργός Όγκος (M3)          | 4.35E6           |
| Όγκος άμεσης απορροής (M3)  | 4.35E6           |
| Όγκος βασικής απορροής (M3) | 3.08E5           |

Βροχόπτωση και Απορροή



Υπολεκάνη: EL0415FL11002

Έκταση (KM2) : 29.77

Κατάντη : J2

Μέθοδος Απωλειών: SCS

|                                |       |
|--------------------------------|-------|
| Ποσοστό αδιαπέρατης επιφάνειας | 0     |
| Αριθμός Καμπύλης Απορροής-CN   | 63.64 |
| Αρχικές Απώλειες               | 29.02 |

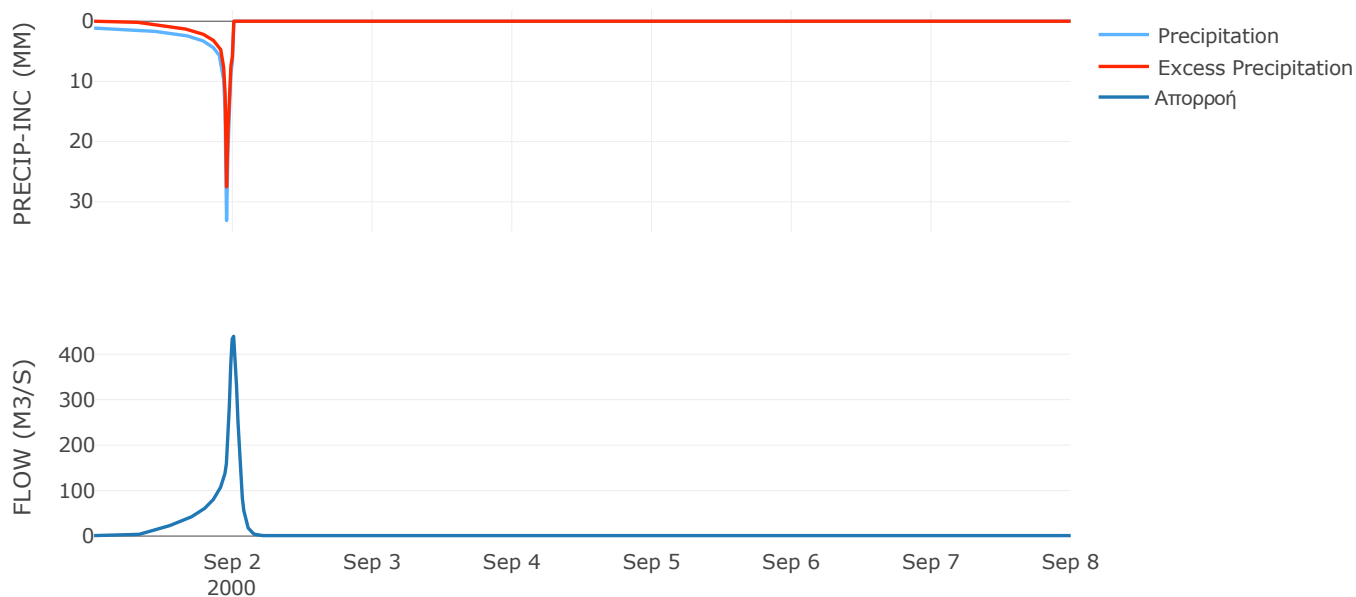
Μέθοδος  
Μετασχηματισμού: SCS

|                  |       |
|------------------|-------|
| Χρόνος Υστέρησης | 54.05 |
|------------------|-------|

Αποτελέσματα:  
EL0415FL11002

|                             |                  |
|-----------------------------|------------------|
| Παροχή αιχμής (M3/S)        | 439.4            |
| Χρονική στιγμή αιχμής       | 01Sep2000, 24:00 |
| Όγκος (MM)                  | 199.12           |
| Όγκος βροχόπτωσης (M3)      | 8.98E6           |
| Όγκος απωλειών (M3)         | 3.68E6           |
| Ενεργός Όγκος (M3)          | 5.3E6            |
| Όγκος άμεσης απορροής (M3)  | 5.3E6            |
| Όγκος βασικής απορροής (M3) | 6.3E5            |

Βροχόπτωση και Απορροή



Υπολεκάνη: EL0415FL11003

Έκταση (KM2) : 20.29

Κατάνη : J3

Μέθοδος Απωλειών: SCS

|                                |       |
|--------------------------------|-------|
| Ποσοστό αδιαπέρατης επιφάνειας | 0     |
| Αριθμός Καμπύλης Απορροής-CN   | 57.72 |
| Αρχικές Απώλειες               | 37.21 |

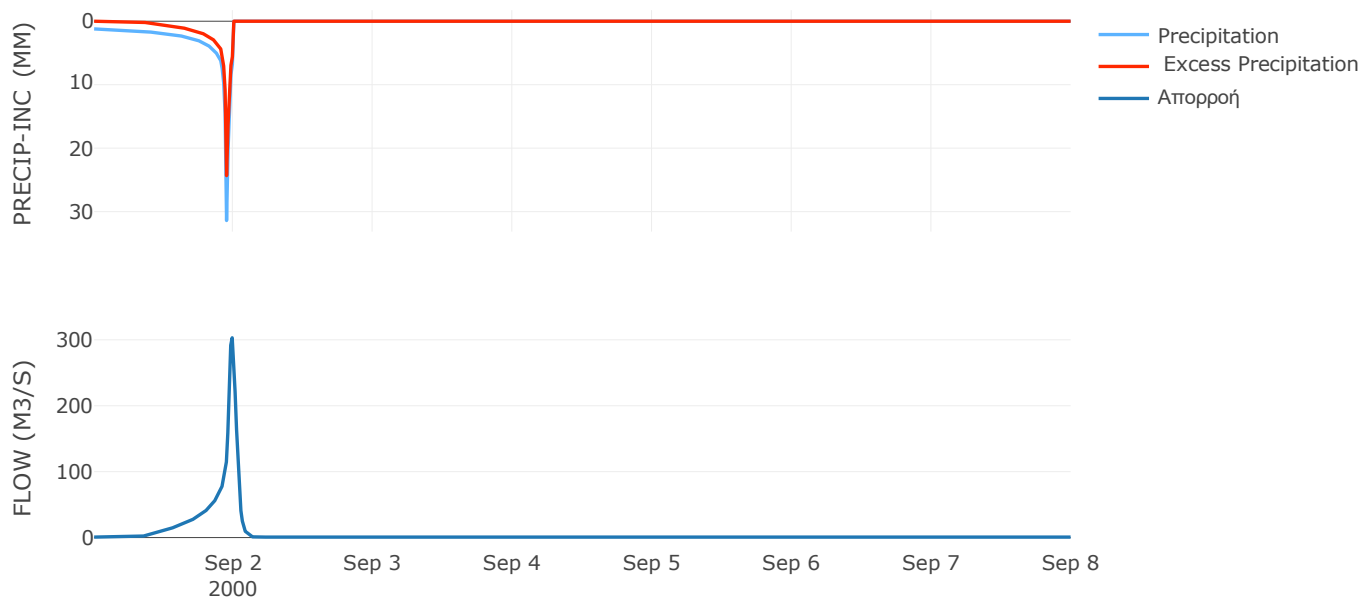
Μέθοδος  
Μετασχηματισμού: SCS

|                  |       |
|------------------|-------|
| Χρόνος Υστέρησης | 40.93 |
|------------------|-------|

Αποτελέσματα:  
EL0415FL11003

|                             |                  |
|-----------------------------|------------------|
| Παροχή αιχμής (M3/S)        | 303.07           |
| Χρονική στιγμή αιχμής       | 01Sep2000, 23:45 |
| Όγκος (MM)                  | 180.18           |
| Όγκος βροχόπτωσης (M3)      | 6.21E6           |
| Όγκος απωλειών (M3)         | 2.99E6           |
| Ενεργός Όγκος (M3)          | 3.23E6           |
| Όγκος άμεσης απορροής (M3)  | 3.23E6           |
| Όγκος βασικής απορροής (M3) | 4.3E5            |

Βροχόπτωση και Απορροή



Υπολεκάνη: EL0415FL11004

Έκταση (KM2) : 21.97

Κατάντη : J4

Μέθοδος Απωλειών: SCS

|                                |       |
|--------------------------------|-------|
| Ποσοστό αδιαπέρατης επιφάνειας | 0     |
| Αριθμός Καμπύλης Απορροής-CN   | 55.37 |
| Αρχικές Απώλειες               | 40.95 |

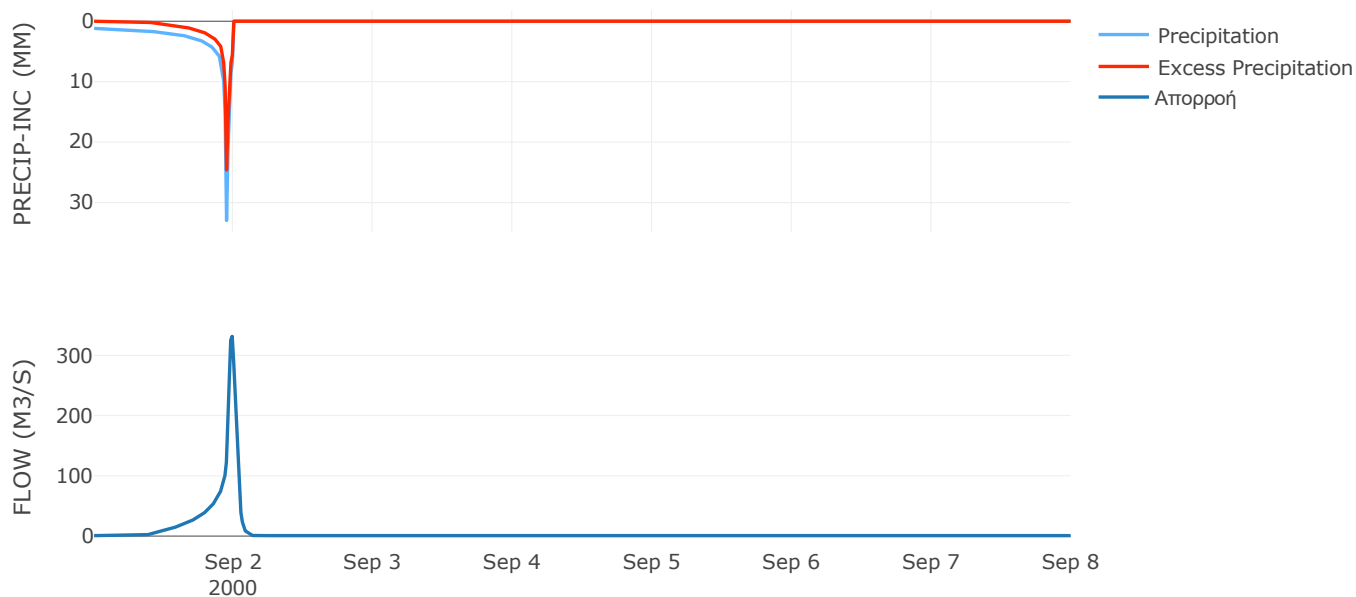
Μέθοδος  
Μετασχηματισμού: SCS

|                  |       |
|------------------|-------|
| Χρόνος Υστέρησης | 39.08 |
|------------------|-------|

Αποτελέσματα:  
EL0415FL11004

|                             |                  |
|-----------------------------|------------------|
| Παροχή αιχμής (M3/S)        | 331.52           |
| Χρονική στιγμή αιχμής       | 01Sep2000, 23:45 |
| Όγκος (MM)                  | 172.05           |
| Όγκος βροχόπτωσης (M3)      | 6.76E6           |
| Όγκος απωλειών (M3)         | 3.44E6           |
| Ενεργός Όγκος (M3)          | 3.31E6           |
| Όγκος άμεσης απορροής (M3)  | 3.31E6           |
| Όγκος βασικής απορροής (M3) | 4.65E5           |

Βροχόπτωση και Απορροή



Υπολεκάνη: EL0415FL11005

Έκταση (KM2) : 22.14

Κατάντη : J5

Μέθοδος Απωλειών: SCS

|                                |       |
|--------------------------------|-------|
| Ποσοστό αδιαπέρατης επιφάνειας | 0     |
| Αριθμός Καμπύλης Απορροής-CN   | 58.73 |
| Αρχικές Απώλειες               | 35.7  |

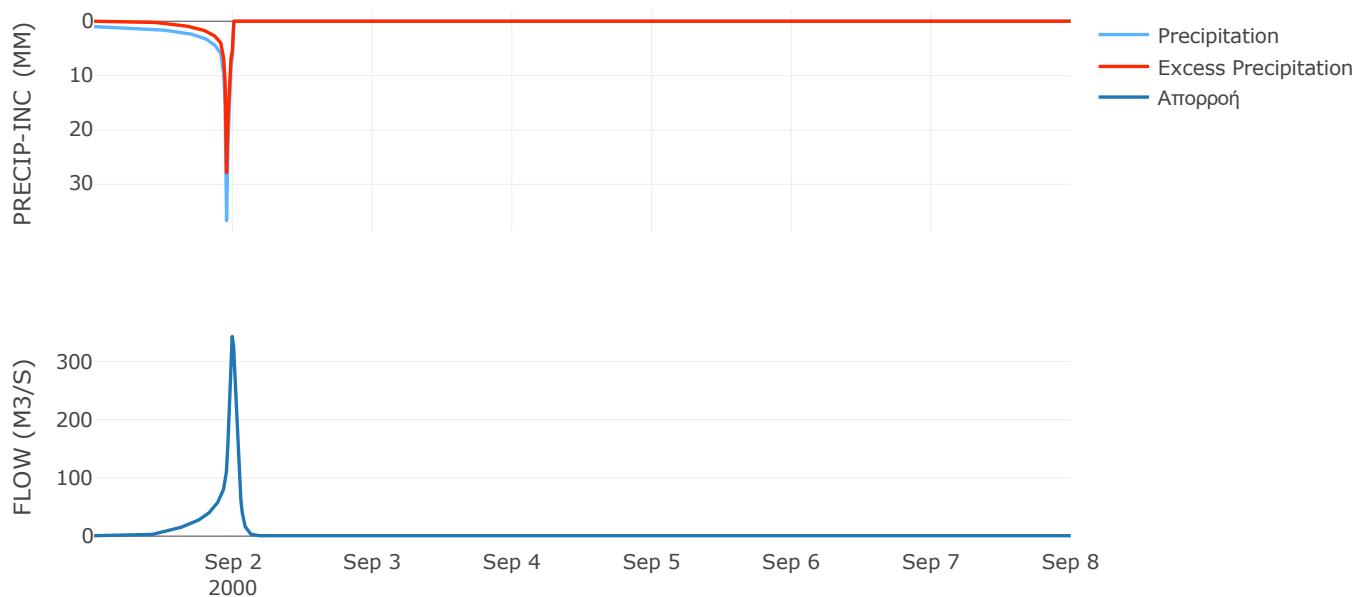
Μέθοδος  
Μετασχηματισμού: SCS

|                  |       |
|------------------|-------|
| Χρόνος Υστέρησης | 46.04 |
|------------------|-------|

Αποτελέσματα:  
EL0415FL11005

|                             |                  |
|-----------------------------|------------------|
| Παροχή αιχμής (M3/S)        | 342.98           |
| Χρονική στιγμή αιχμής       | 01Sep2000, 23:45 |
| Όγκος (MM)                  | 170.19           |
| Όγκος βροχόπτωσης (M3)      | 6.41E6           |
| Όγκος απωλειών (M3)         | 3.11E6           |
| Ενεργός Όγκος (M3)          | 3.3E6            |
| Όγκος άμεσης απορροής (M3)  | 3.3E6            |
| Όγκος βασικής απορροής (M3) | 4.69E5           |

Βροχόπτωση και Απορροή



## 8.2 Δεδομένα και υδρογραφήματα σχεδιασμού Κλάδων υδρογραφικού δικτύου

Κλάδος: R21

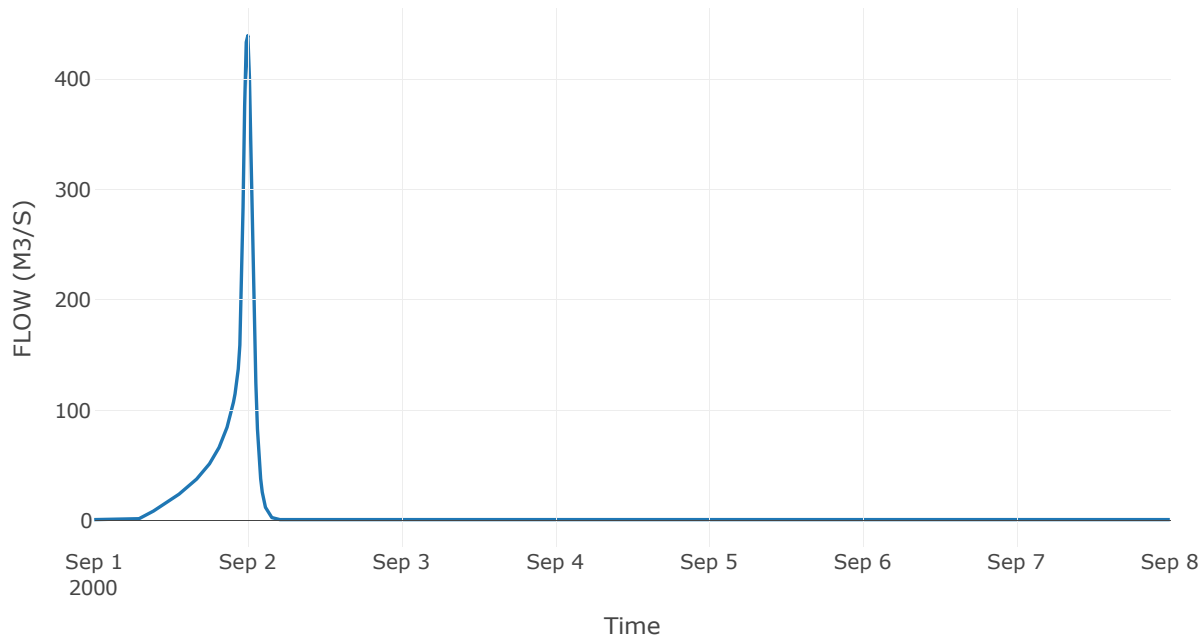
Κατάντη : J1

|                   |                 |
|-------------------|-----------------|
| Μέθοδος Διόδευσης | Χρόνος          |
| Αρχική Μεταβλητή  | Combined Inflow |
| Χρόνος Υστέρησης  | 0               |

Αποτελέσματα: R21

|                              |                  |
|------------------------------|------------------|
| Παροχή Αιχμής(M3/S)          | 439.4            |
| Χρονική στιγμή αιχμής        | 01Sep2000, 24:00 |
| Όγκος(MM)                    | 199.12           |
| Παροχή Αιχμής Εισόδου (M3/S) | 439.4            |
| Όγκος Εισροής(M3)            | 5.93E6           |

Απορροή



Κλάδος: R31

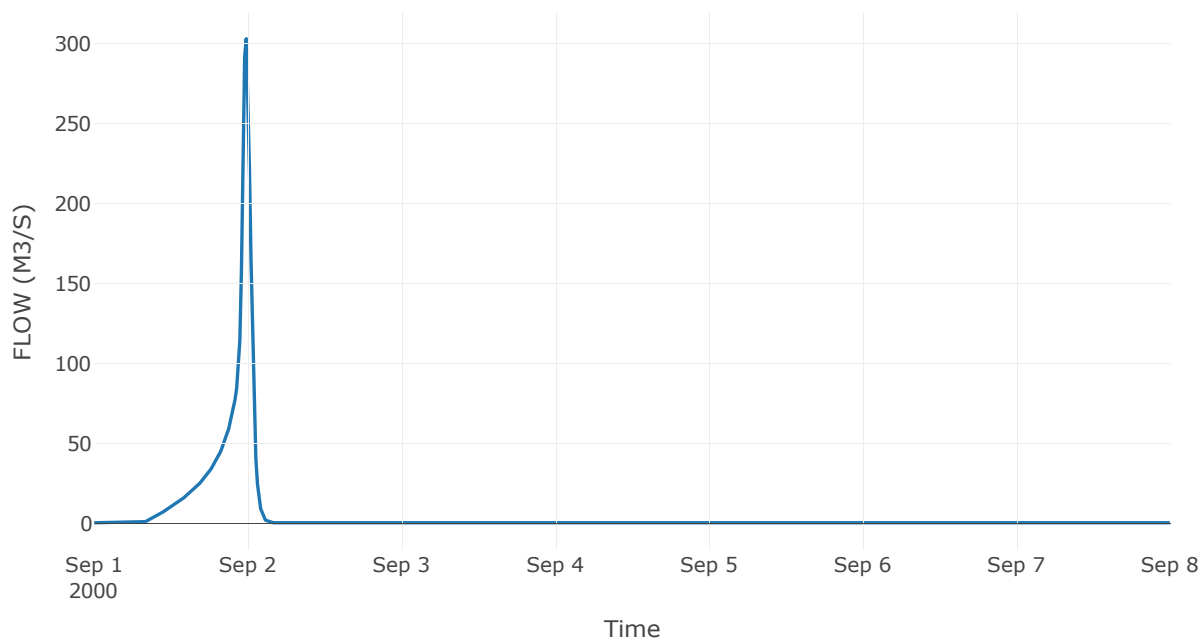
Κατάντη : J1

|                   |                 |
|-------------------|-----------------|
| Μέθοδος Διόδευσης | Χρόνος          |
| Αρχική Μεταβλητή  | Combined Inflow |
| Χρόνος Υστέρησης  | 0               |

Αποτελέσματα: R31

|                              |                  |
|------------------------------|------------------|
| Παροχή Αιχμής(M3/S)          | 303.07           |
| Χρονική στιγμή αιχμής        | 01Sep2000, 23:45 |
| Όγκος(MM)                    | 180.18           |
| Παροχή Αιχμής Εισόδου (M3/S) | 303.07           |
| Όγκος Εισροής(M3)            | 3.66E6           |

Απορροή



Κλάδος: R41

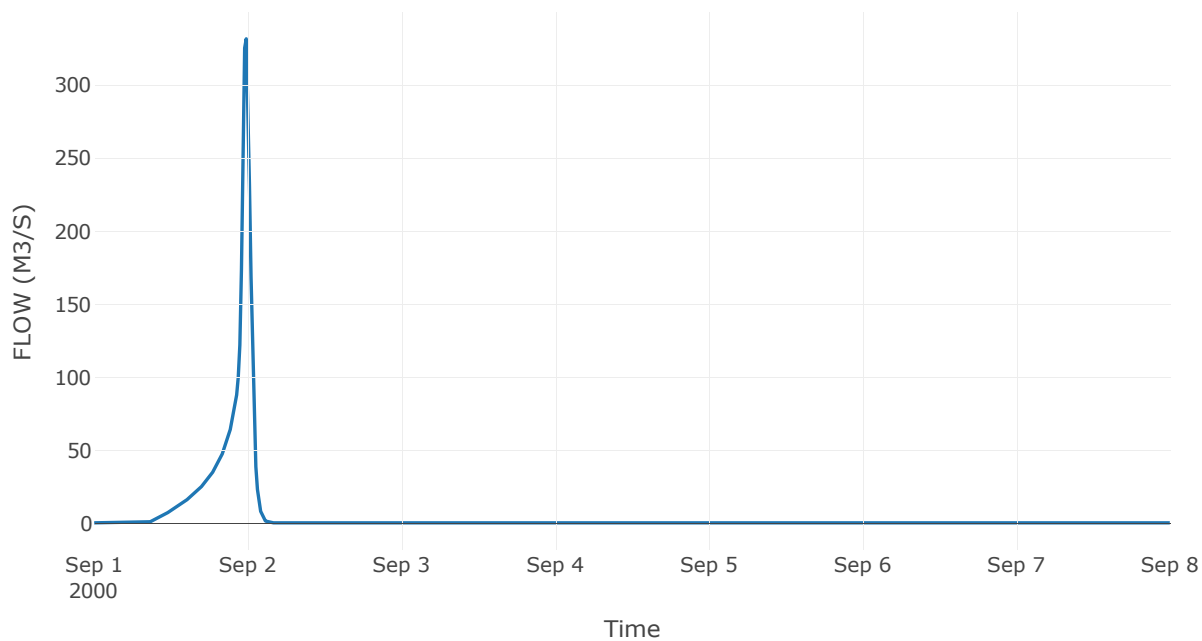
Κατάντη : J1

|                   |                 |
|-------------------|-----------------|
| Μέθοδος Διόδευσης | Χρόνος          |
| Αρχική Μεταβλητή  | Combined Inflow |
| Χρόνος Υστέρησης  | 0               |

Αποτελέσματα: R41

|                              |                  |
|------------------------------|------------------|
| Παροχή Αιχμής(M3/S)          | 331.52           |
| Χρονική στιγμή αιχμής        | 01Sep2000, 23:45 |
| Όγκος(MM)                    | 172.05           |
| Παροχή Αιχμής Εισόδου (M3/S) | 331.52           |
| Όγκος Εισροής(M3)            | 3.78E6           |

Απορροή





Κλάδος: R51

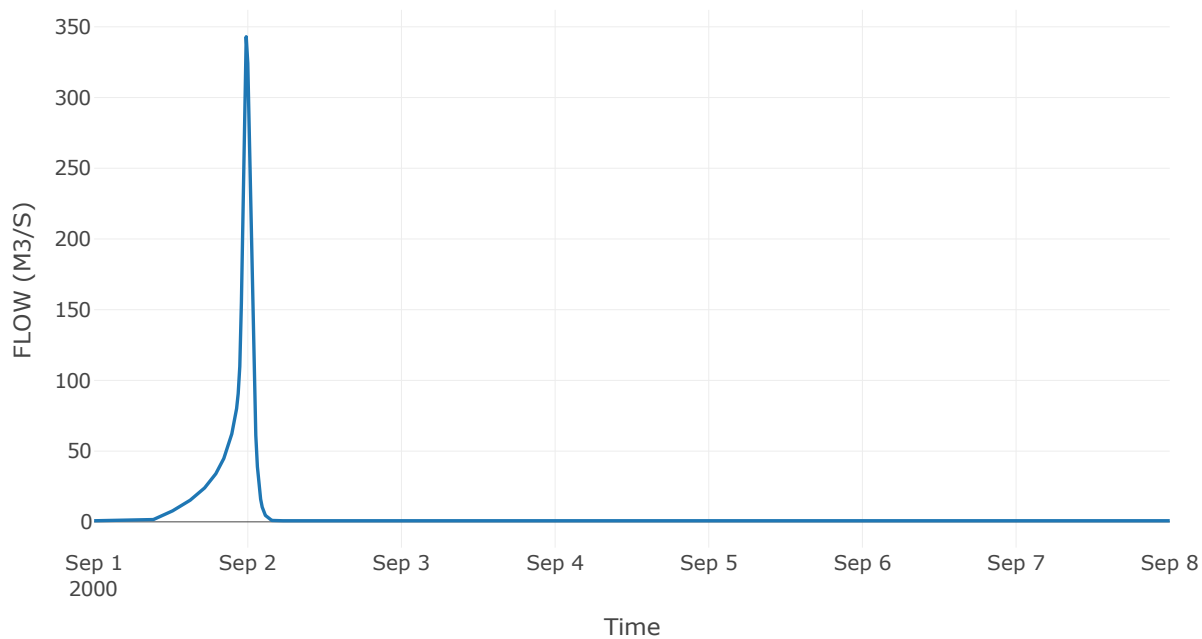
Κατάντη : J1

|                   |                 |
|-------------------|-----------------|
| Μέθοδος Διόδευσης | Χρόνος          |
| Αρχική Μεταβλητή  | Combined Inflow |
| Χρόνος Υστέρησης  | 0               |

Αποτελέσματα: R51

|                              |                  |
|------------------------------|------------------|
| Παροχή Αιχμής(M3/S)          | 342.98           |
| Χρονική στιγμή αιχμής        | 01Sep2000, 23:45 |
| Όγκος(MM)                    | 170.19           |
| Παροχή Αιχμής Εισόδου (M3/S) | 342.98           |
| Όγκος Εισροής(M3)            | 3.77E6           |

Απορροή



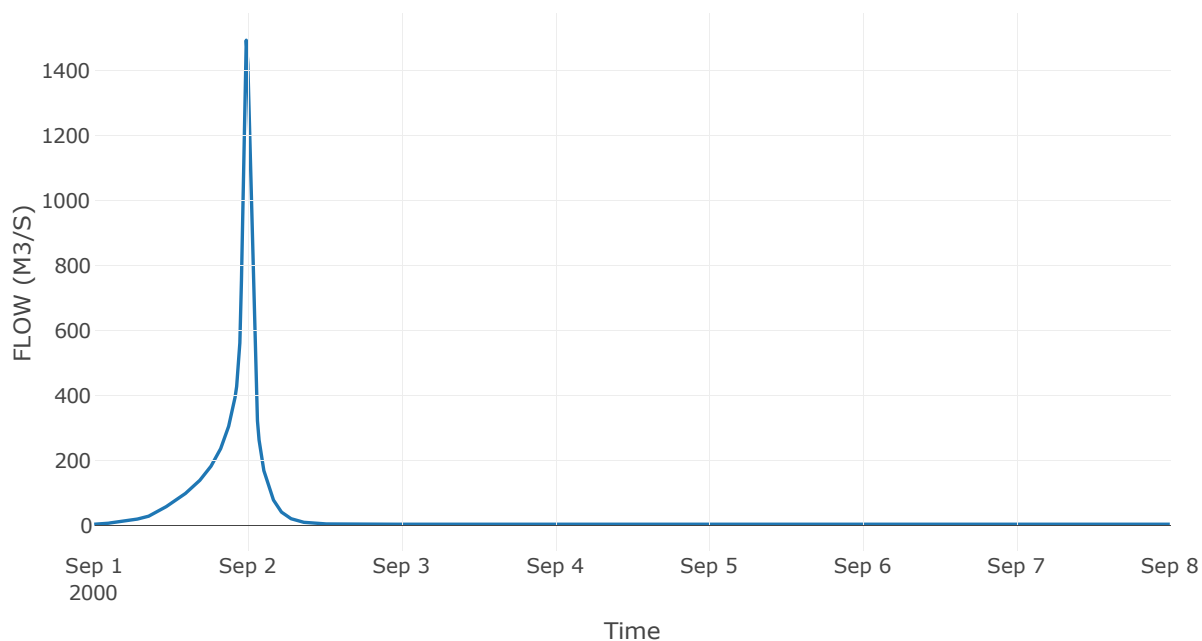
## 8.3 Δεδομένα και υδρογραφήματα σχεδιασμού Κόμβων υδρογραφικού δικτύου

Κόμβος εξόδου: J1

Αποτέλεσμα  
τα: J1

|                       |                  |
|-----------------------|------------------|
| Παροχή αιχμής (M3/S)  | 1493.53          |
| Χρονική στιγμή αιχμής | 01Sep2000, 23:45 |
| Όγκος (MM)            | 200.44           |

Απορροή



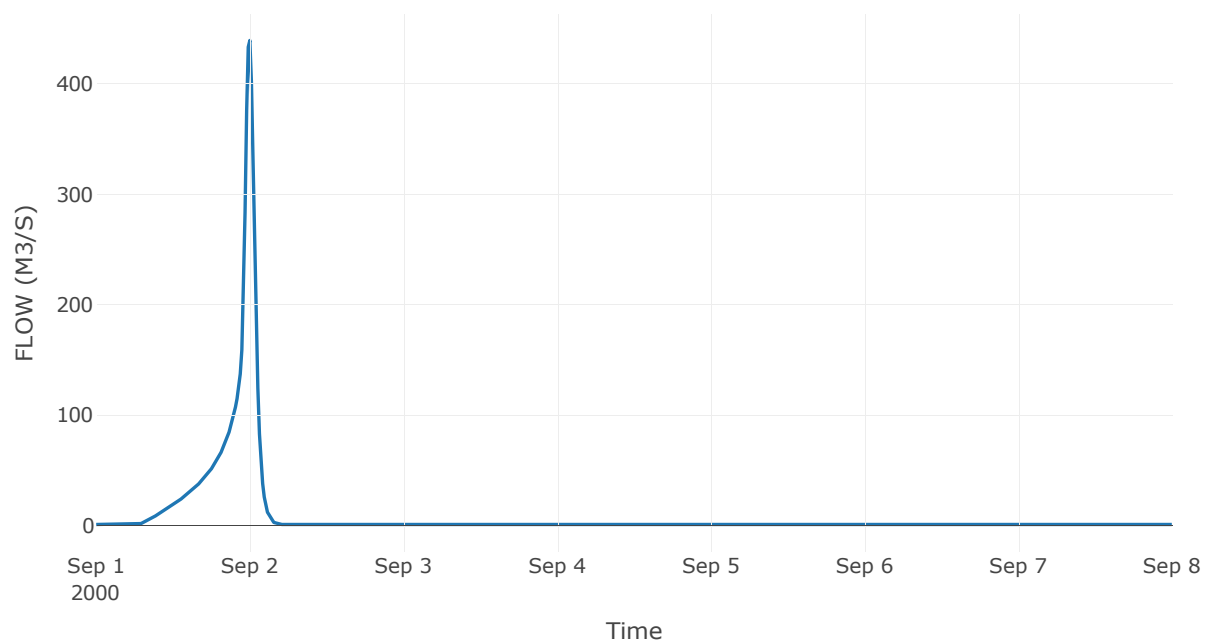
Κόμβος: J2

Κατάντη : R21

Αποτελέσματα: J2

|                       |                  |
|-----------------------|------------------|
| Παροχή Αιχμής(M3/S)   | 439.4            |
| Χρονική στιγμή αιχμής | 01Sep2000, 24:00 |
| Όγκος(MM)             | 199.12           |

Απορροή



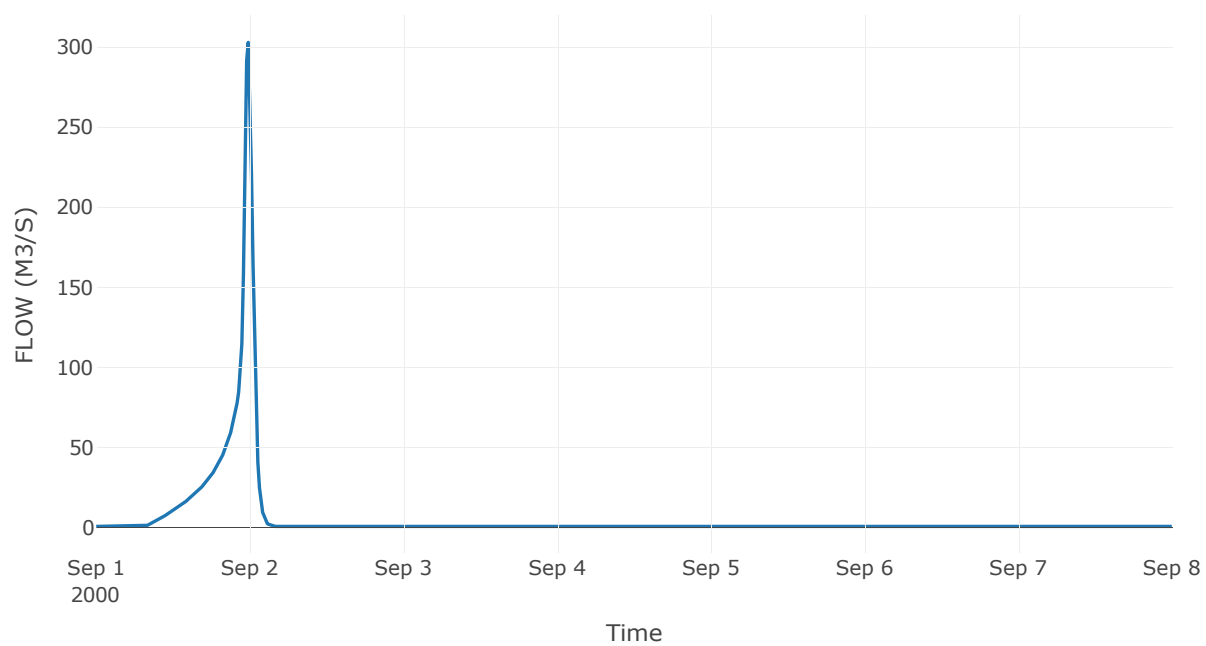
Κόμβος: J3

Κατάντη : R31

Αποτελέσματα: J3

|                       |                  |
|-----------------------|------------------|
| Παροχή Αιχμής(M3/S)   | 303.07           |
| Χρονική στιγμή αιχμής | 01Sep2000, 23:45 |
| Όγκος(MM)             | 180.18           |

Απορροή



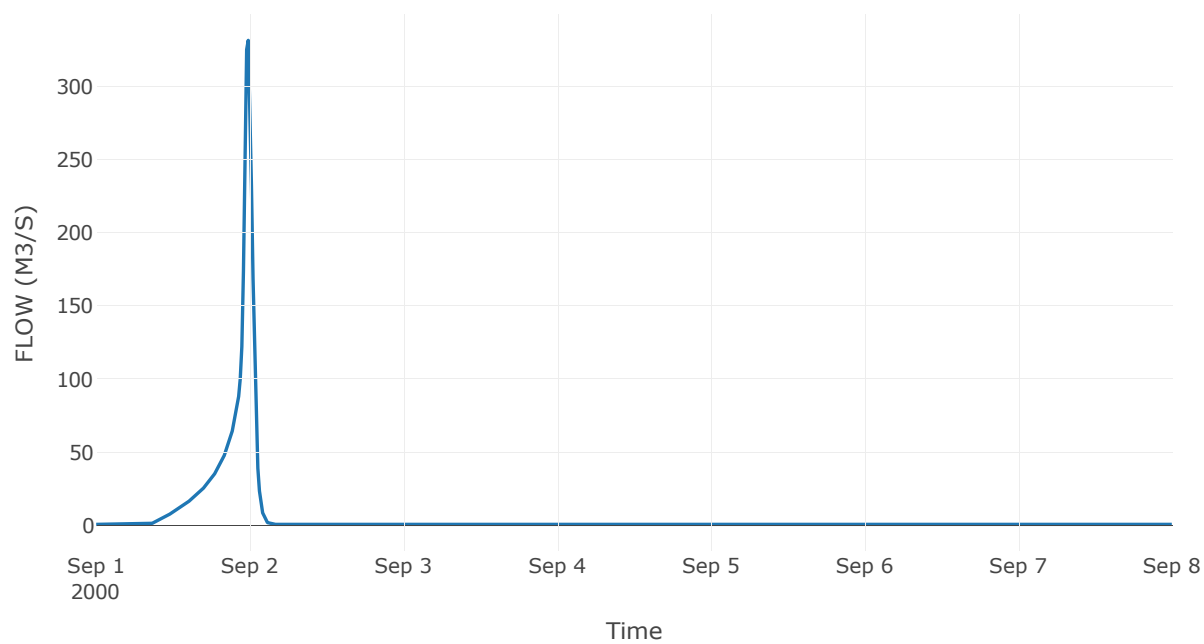
Κόμβος: J4

Κατάντη : R41

Αποτελέσματα: J4

|                       |                  |
|-----------------------|------------------|
| Παροχή Αιχμής(M3/S)   | 331.52           |
| Χρονική στιγμή αιχμής | 01Sep2000, 23:45 |
| Όγκος(MM)             | 172.05           |

Απορροή



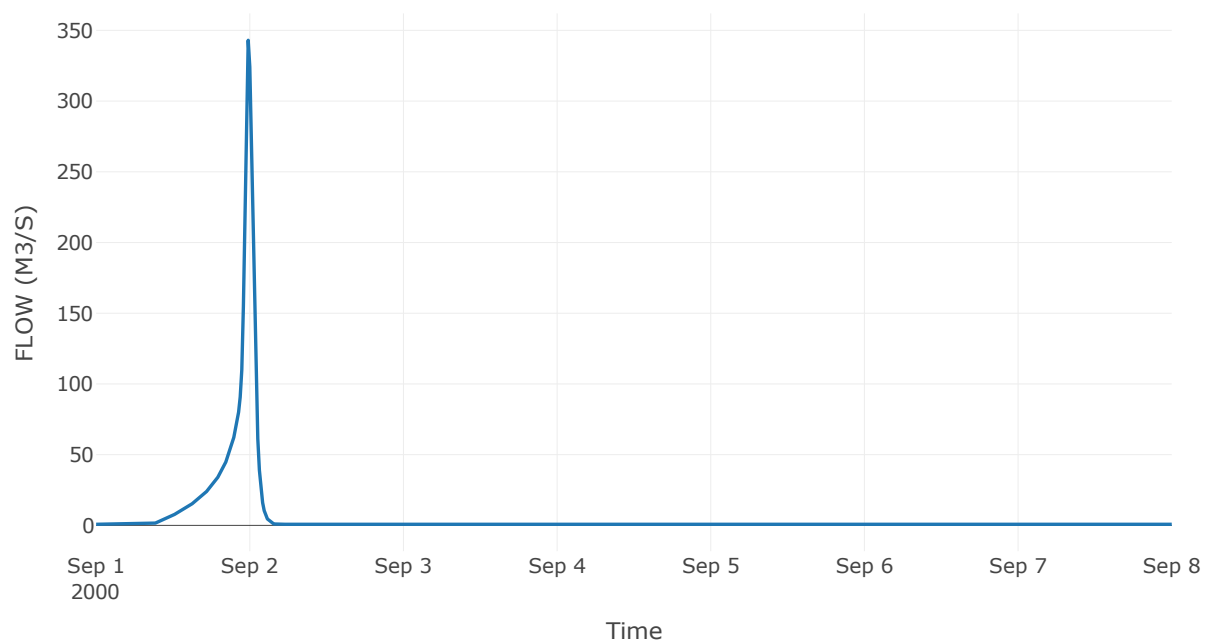
Κόμβος: J5

Κατάντη : R51

Αποτελέσματα: J5

|                       |                  |
|-----------------------|------------------|
| Παροχή Αιχμής(M3/S)   | 342.98           |
| Χρονική στιγμή αιχμής | 01Sep2000, 23:45 |
| Όγκος(MM)             | 170.19           |

Απορροή



## 9 Δεδομένα εισόδου και αποτελέσματα υδρολογικού σεναρίου T=1000L

## 9.1 Αποτελέσματα, υετογραφήματα και υδρογραφήματα σχεδιασμού υπολεκανών



Υπολεκάνη: EL0415FL11001

Έκταση (KM2) : 14.53

Κατάνη : J1

Μέθοδος Απωλειών: SCS

|                                |       |
|--------------------------------|-------|
| Ποσοστό αδιαπέρατης επιφάνειας | 100   |
| Αριθμός Καμπύλης Απορροής-CN   | 98.71 |
| Αρχικές Απώλειες               | 0.66  |

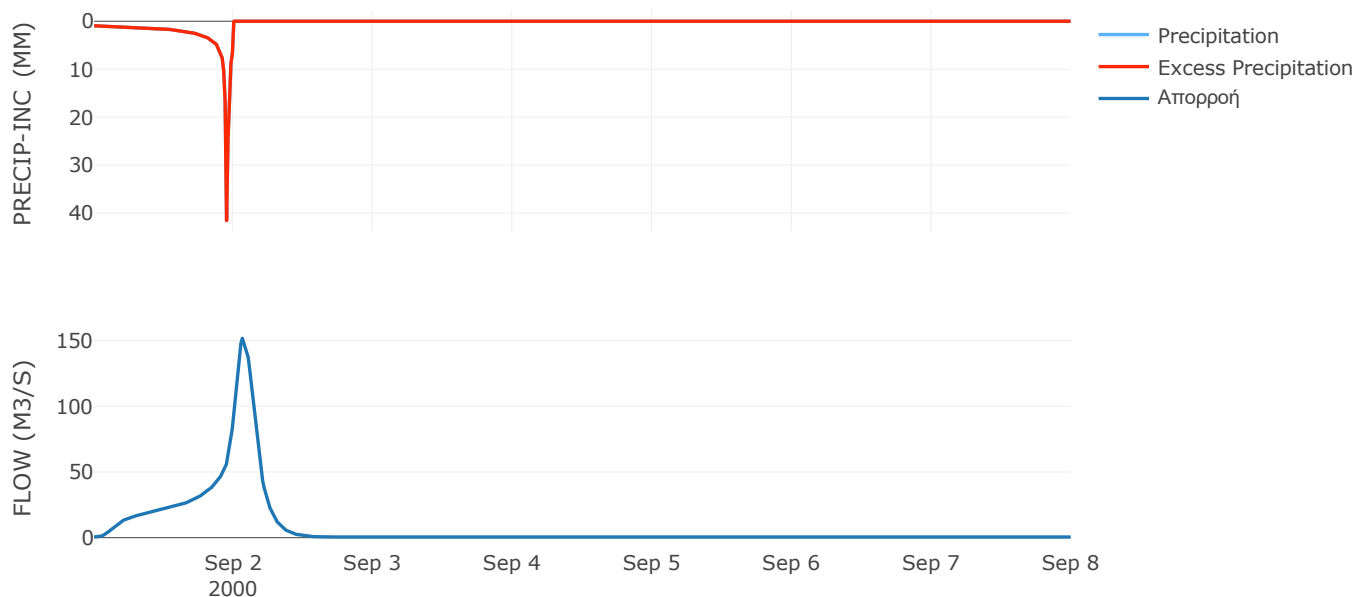
Μέθοδος  
Μετασχηματισμού: SCS

|                  |        |
|------------------|--------|
| Χρόνος Υστέρησης | 178.54 |
|------------------|--------|

Αποτελέσματα:  
EL0415FL11001

|                             |                  |
|-----------------------------|------------------|
| Παροχή αιχμής (M3/S)        | 152.22           |
| Χρονική στιγμή αιχμής       | 02Sep2000, 01:45 |
| Όγκος (MM)                  | 320.41           |
| Όγκος βροχόπτωσης (M3)      | 4.35E6           |
| Όγκος απωλειών (M3)         | 0                |
| Ενεργός Όγκος (M3)          | 4.35E6           |
| Όγκος άμεσης απορροής (M3)  | 4.35E6           |
| Όγκος βασικής απορροής (M3) | 3.08E5           |

Βροχόπτωση και Απορροή



Υπολεκάνη: EL0415FL11002

Έκταση (KM2) : 29.77

Κατάντη : J2

Μέθοδος Απωλειών: SCS

|                                |       |
|--------------------------------|-------|
| Ποσοστό αδιαπέρατης επιφάνειας | 0     |
| Αριθμός Καμπύλης Απορροής-CN   | 42.37 |
| Αρχικές Απώλειες               | 69.1  |

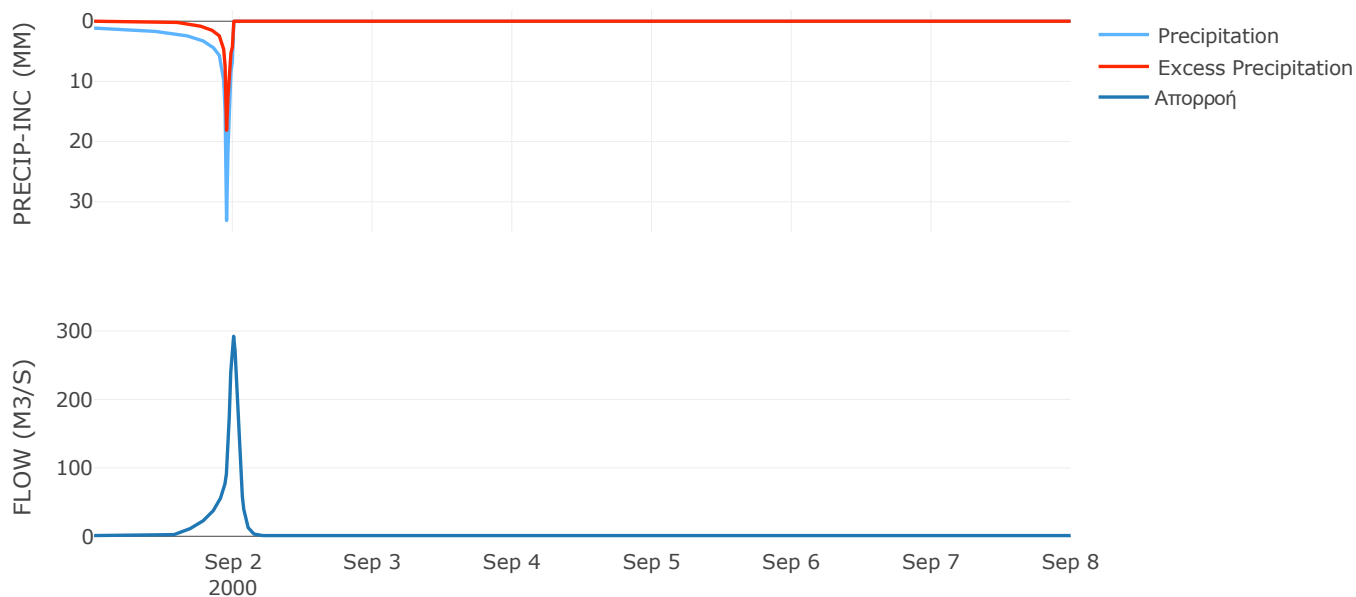
Μέθοδος  
Μετασχηματισμού: SCS

|                  |       |
|------------------|-------|
| Χρόνος Υστέρησης | 54.05 |
|------------------|-------|

Αποτελέσματα:  
EL0415FL11002

|                             |                  |
|-----------------------------|------------------|
| Παροχή αιχμής (M3/S)        | 292.25           |
| Χρονική στιγμή αιχμής       | 01Sep2000, 24:00 |
| Όγκος (MM)                  | 114.75           |
| Όγκος βροχόπτωσης (M3)      | 8.98E6           |
| Όγκος απωλειών (M3)         | 6.2E6            |
| Ενεργός Όγκος (M3)          | 2.79E6           |
| Όγκος άμεσης απορροής (M3)  | 2.79E6           |
| Όγκος βασικής απορροής (M3) | 6.3E5            |

Βροχόπτωση και Απορροή



Υπολεκάνη: EL0415FL11003

Έκταση (KM2) : 20.29

Κατάντη : J3

Μέθοδος Απωλειών: SCS

|                                |       |
|--------------------------------|-------|
| Ποσοστό αδιαπέρατης επιφάνειας | 0     |
| Αριθμός Καμπύλης Απορροής-CN   | 36.45 |
| Αρχικές Απώλειες               | 88.59 |

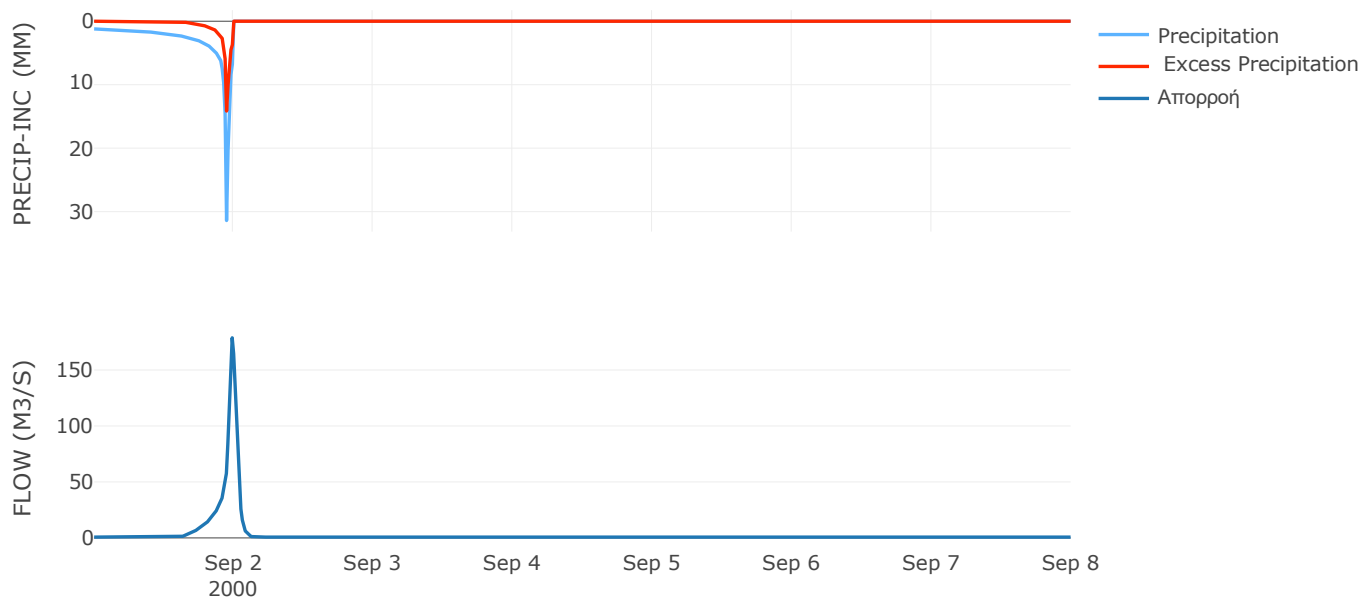
Μέθοδος  
Μετασχηματισμού: SCS

|                  |       |
|------------------|-------|
| Χρόνος Υστέρησης | 40.93 |
|------------------|-------|

Αποτελέσματα:  
EL0415FL11003

|                             |                  |
|-----------------------------|------------------|
| Παροχή αιχμής (M3/S)        | 178.78           |
| Χρονική στιγμή αιχμής       | 01Sep2000, 23:45 |
| Όγκος (MM)                  | 92.85            |
| Όγκος βροχόπτωσης (M3)      | 6.21E6           |
| Όγκος απωλειών (M3)         | 4.76E6           |
| Ενεργός Όγκος (M3)          | 1.45E6           |
| Όγκος άμεσης απορροής (M3)  | 1.45E6           |
| Όγκος βασικής απορροής (M3) | 4.3E5            |

Βροχόπτωση και Απορροή



Υπολεκάνη: EL0415FL11004

Έκταση (KM2) : 21.97

Κατάντη : J4

Μέθοδος Απωλειών: SCS

|                                |       |
|--------------------------------|-------|
| Ποσοστό αδιαπέρατης επιφάνειας | 0     |
| Αριθμός Καμπύλης Απορροής-CN   | 34.25 |
| Αρχικές Απώλειες               | 97.51 |

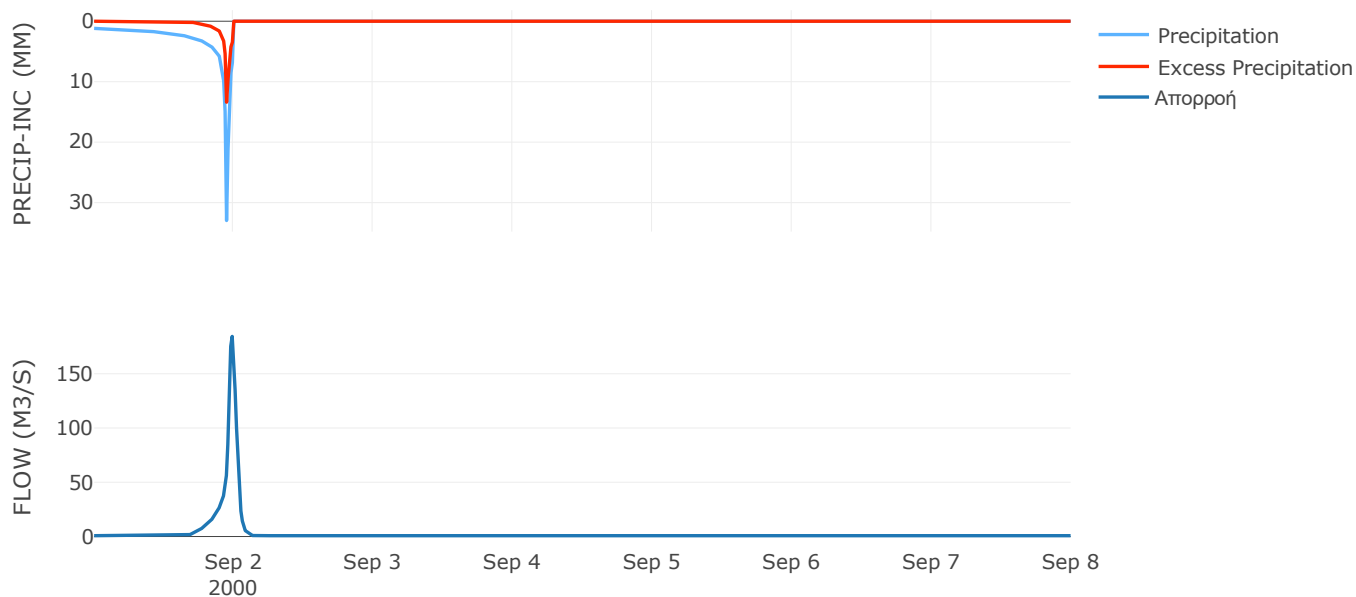
Μέθοδος  
Μετασχηματισμού: SCS

|                  |       |
|------------------|-------|
| Χρόνος Υστέρησης | 39.08 |
|------------------|-------|

Αποτελέσματα:  
EL0415FL11004

|                             |                  |
|-----------------------------|------------------|
| Παροχή αιχμής (M3/S)        | 184.41           |
| Χρονική στιγμή αιχμής       | 01Sep2000, 23:45 |
| Όγκος (MM)                  | 84.47            |
| Όγκος βροχόπτωσης (M3)      | 6.76E6           |
| Όγκος απωλειών (M3)         | 5.37E6           |
| Ενεργός Όγκος (M3)          | 1.39E6           |
| Όγκος άμεσης απορροής (M3)  | 1.39E6           |
| Όγκος βασικής απορροής (M3) | 4.65E5           |

Βροχόπτωση και Απορροή



Υπολεκάνη: EL0415FL11005

Έκταση (KM2) : 22.14

Κατάντη : J5

Μέθοδος Απωλειών: SCS

|                                |       |
|--------------------------------|-------|
| Ποσοστό αδιαπέρατης επιφάνειας | 0     |
| Αριθμός Καμπύλης Απορροής-CN   | 37.41 |
| Αρχικές Απώλειες               | 85    |

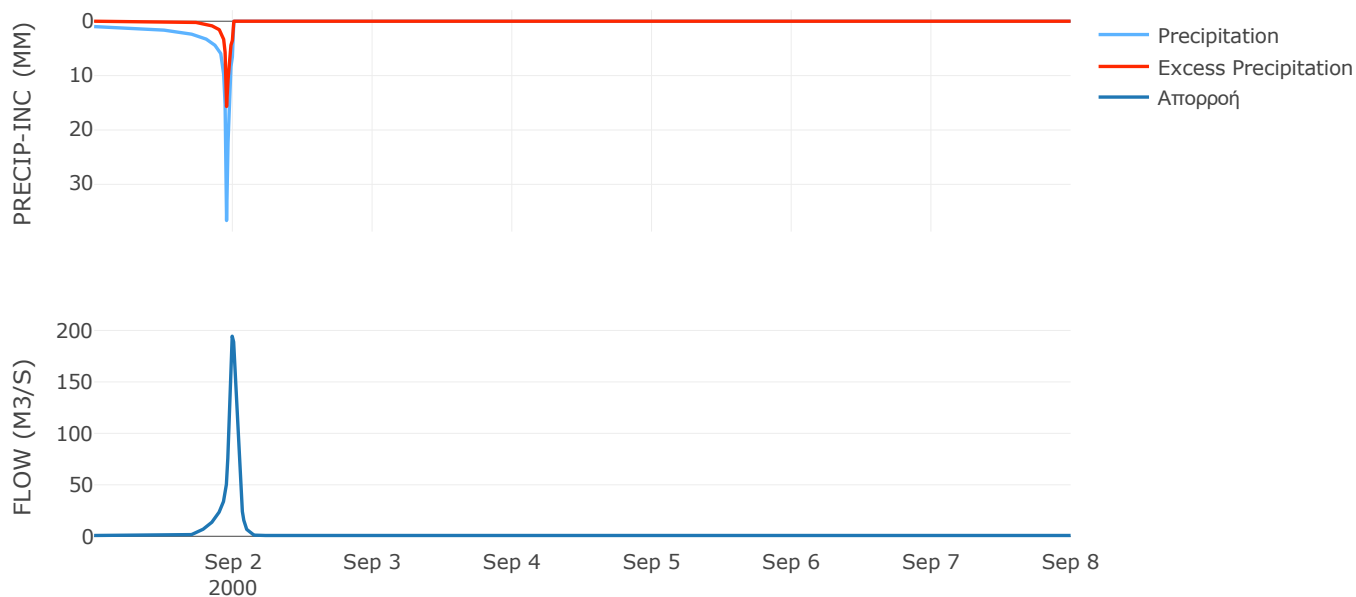
Μέθοδος  
Μετασχηματισμού: SCS

|                  |       |
|------------------|-------|
| Χρόνος Υστέρησης | 46.04 |
|------------------|-------|

Αποτελέσματα:  
EL0415FL11005

|                             |                  |
|-----------------------------|------------------|
| Παροχή αιχμής (M3/S)        | 194.43           |
| Χρονική στιγμή αιχμής       | 01Sep2000, 23:45 |
| Όγκος (MM)                  | 87.62            |
| Όγκος βροχόπτωσης (M3)      | 6.41E6           |
| Όγκος απωλειών (M3)         | 4.94E6           |
| Ενεργός Όγκος (M3)          | 1.47E6           |
| Όγκος άμεσης απορροής (M3)  | 1.47E6           |
| Όγκος βασικής απορροής (M3) | 4.69E5           |

Βροχόπτωση και Απορροή



## 9.2 Δεδομένα και υδρογραφήματα σχεδιασμού Κλάδων υδρογραφικού δικτύου

Κλάδος: R21

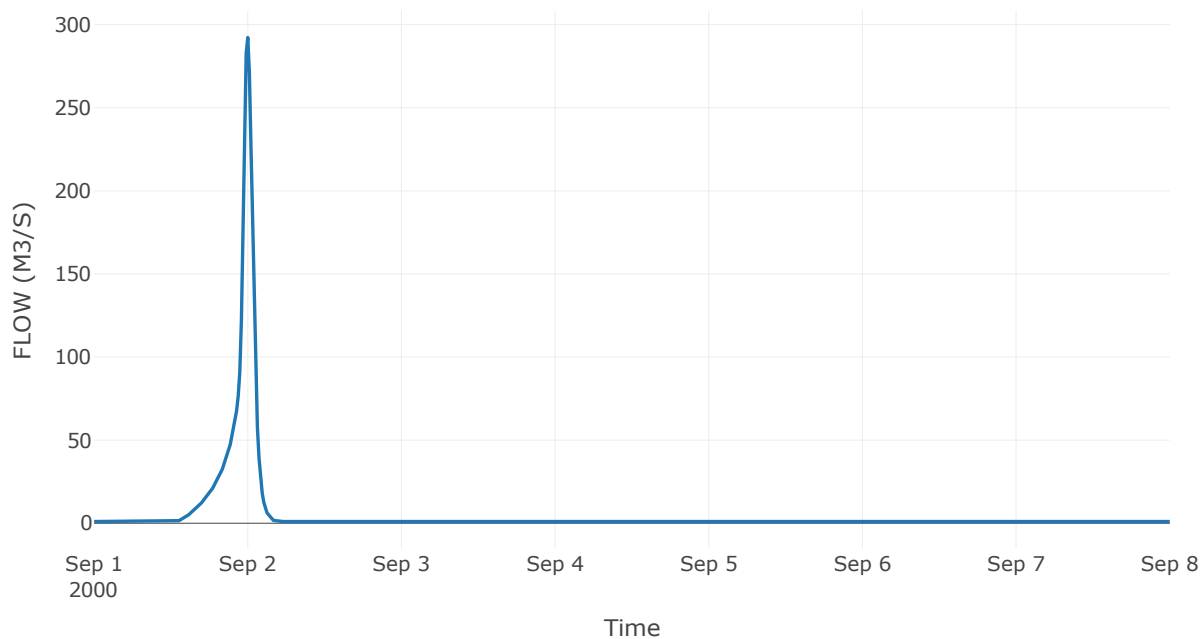
Κατάντη : J1

|                   |                 |
|-------------------|-----------------|
| Μέθοδος Διόδευσης | Χρόνος          |
| Αρχική Μεταβλητή  | Combined Inflow |
| Χρόνος Υστέρησης  | 0               |

Αποτελέσματα: R21

|                              |                  |
|------------------------------|------------------|
| Παροχή Αιχμής(M3/S)          | 292.25           |
| Χρονική στιγμή αιχμής        | 01Sep2000, 24:00 |
| Όγκος(MM)                    | 114.75           |
| Παροχή Αιχμής Εισόδου (M3/S) | 292.25           |
| Όγκος Εισροής(M3)            | 3.42E6           |

Απορροή



Κλάδος: R31

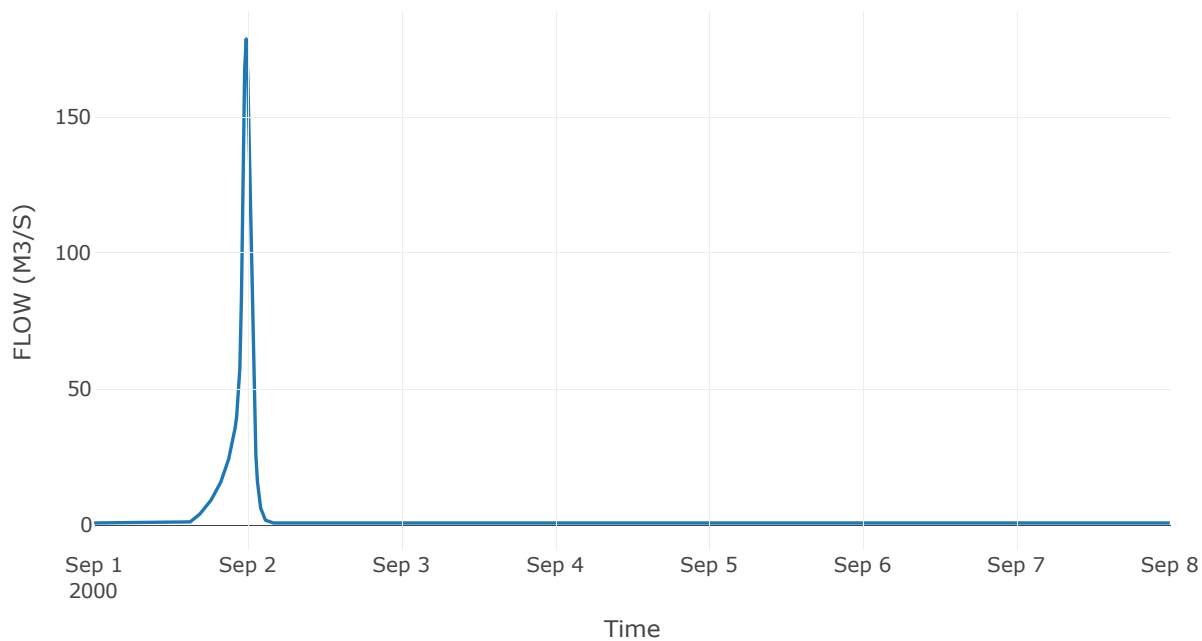
Κατάντη : J1

|                   |                 |
|-------------------|-----------------|
| Μέθοδος Διόδευσης | Χρόνος          |
| Αρχική Μεταβλητή  | Combined Inflow |
| Χρόνος Υστέρησης  | 0               |

Αποτελέσματα: R31

|                              |                  |
|------------------------------|------------------|
| Παροχή Αιχμής(M3/S)          | 178.78           |
| Χρονική στιγμή αιχμής        | 01Sep2000, 23:45 |
| Όγκος(MM)                    | 92.85            |
| Παροχή Αιχμής Εισόδου (M3/S) | 178.78           |
| Όγκος Εισροής(M3)            | 1.88E6           |

Απορροή



Κλάδος: R41

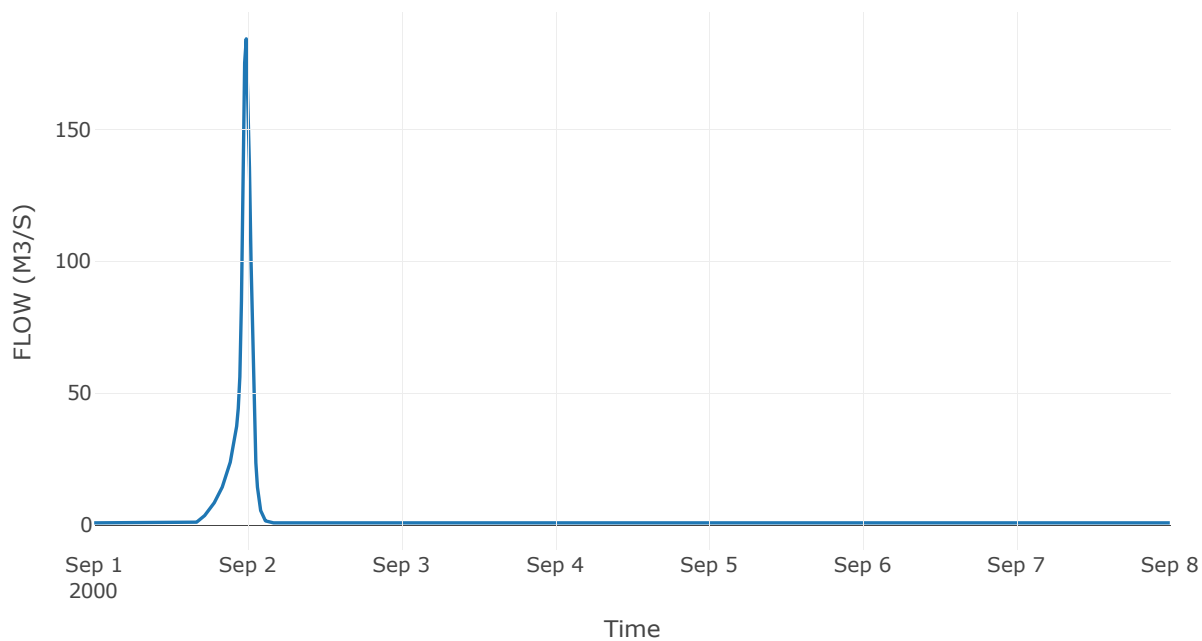
Κατάντη : J1

|                   |                 |
|-------------------|-----------------|
| Μέθοδος Διόδευσης | Χρόνος          |
| Αρχική Μεταβλητή  | Combined Inflow |
| Χρόνος Υστέρησης  | 0               |

Αποτελέσματα: R41

|                              |                  |
|------------------------------|------------------|
| Παροχή Αιχμής(M3/S)          | 184.41           |
| Χρονική στιγμή αιχμής        | 01Sep2000, 23:45 |
| Όγκος(MM)                    | 84.47            |
| Παροχή Αιχμής Εισόδου (M3/S) | 184.41           |
| Όγκος Εισροής(M3)            | 1.86E6           |

Απορροή





Κλάδος: R51

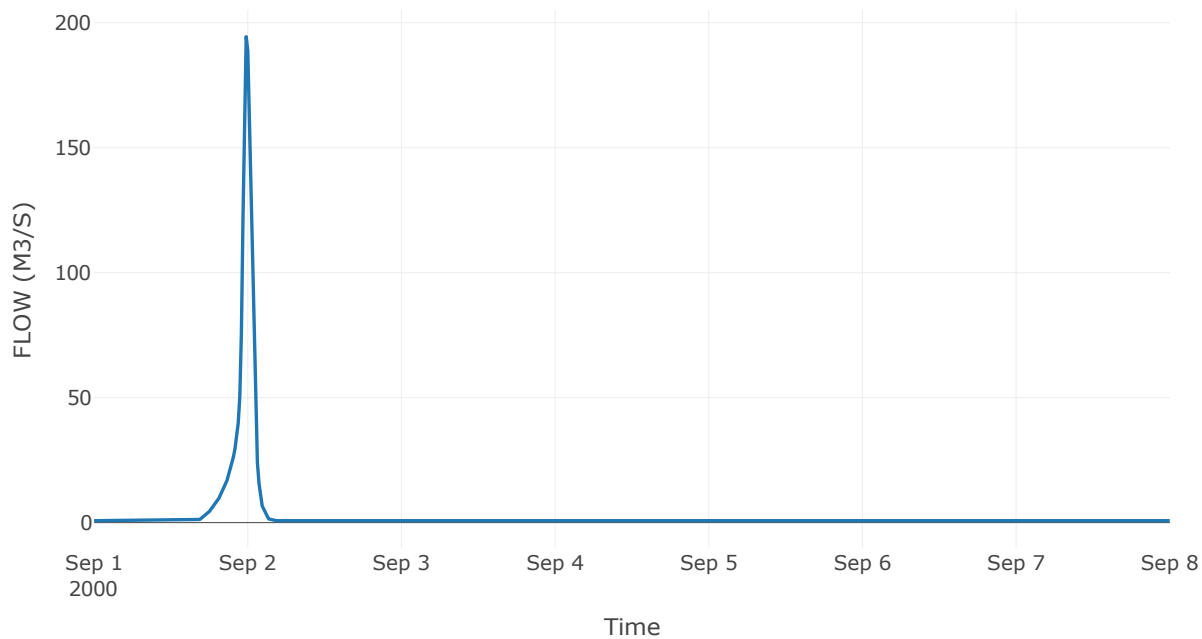
Κατάντη : J1

|                   |                 |
|-------------------|-----------------|
| Μέθοδος Διόδευσης | Χρόνος          |
| Αρχική Μεταβλητή  | Combined Inflow |
| Χρόνος Υστέρησης  | 0               |

Αποτελέσματα: R51

|                              |                  |
|------------------------------|------------------|
| Παροχή Αιχμής(M3/S)          | 194.43           |
| Χρονική στιγμή αιχμής        | 01Sep2000, 23:45 |
| Όγκος(MM)                    | 87.62            |
| Παροχή Αιχμής Εισόδου (M3/S) | 194.43           |
| Όγκος Εισροής(M3)            | 1.94E6           |

Απορροή



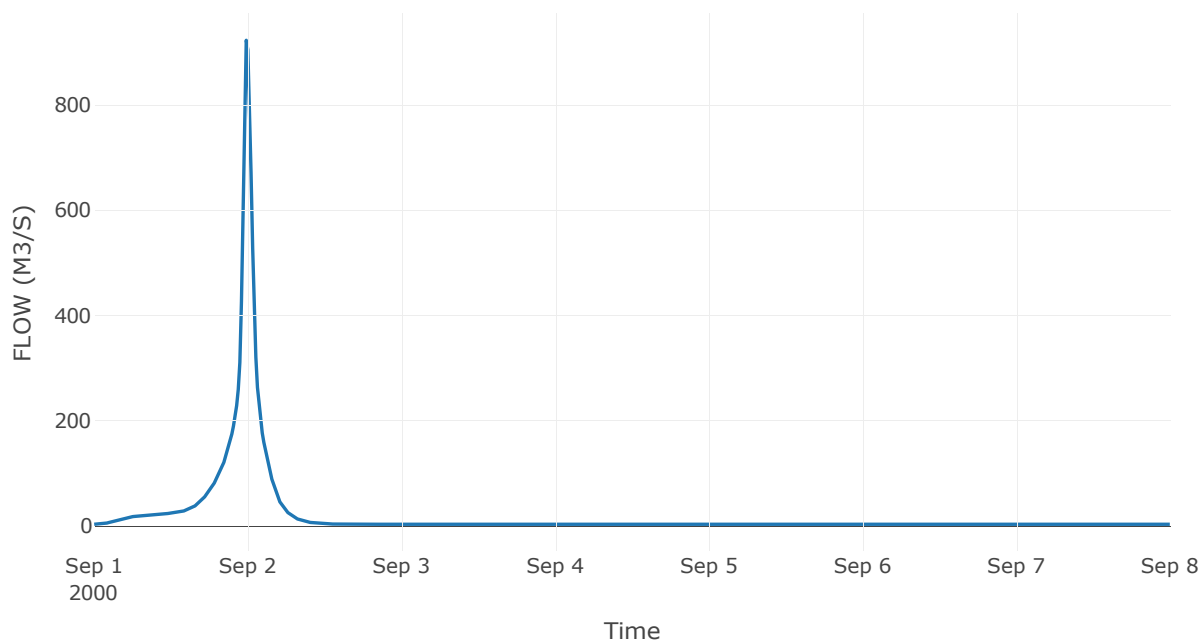
## 9.3 Δεδομένα και υδρογραφήματα σχεδιασμού Κόμβων υδρογραφικού δικτύου

Κόμβος εξόδου: J1

Αποτέλεσμα  
τα: J1

|                       |                  |
|-----------------------|------------------|
| Παροχή αιχμής (M3/S)  | 923.08           |
| Χρονική στιγμή αιχμής | 01Sep2000, 23:45 |
| Όγκος (MM)            | 126.52           |

Απορροή



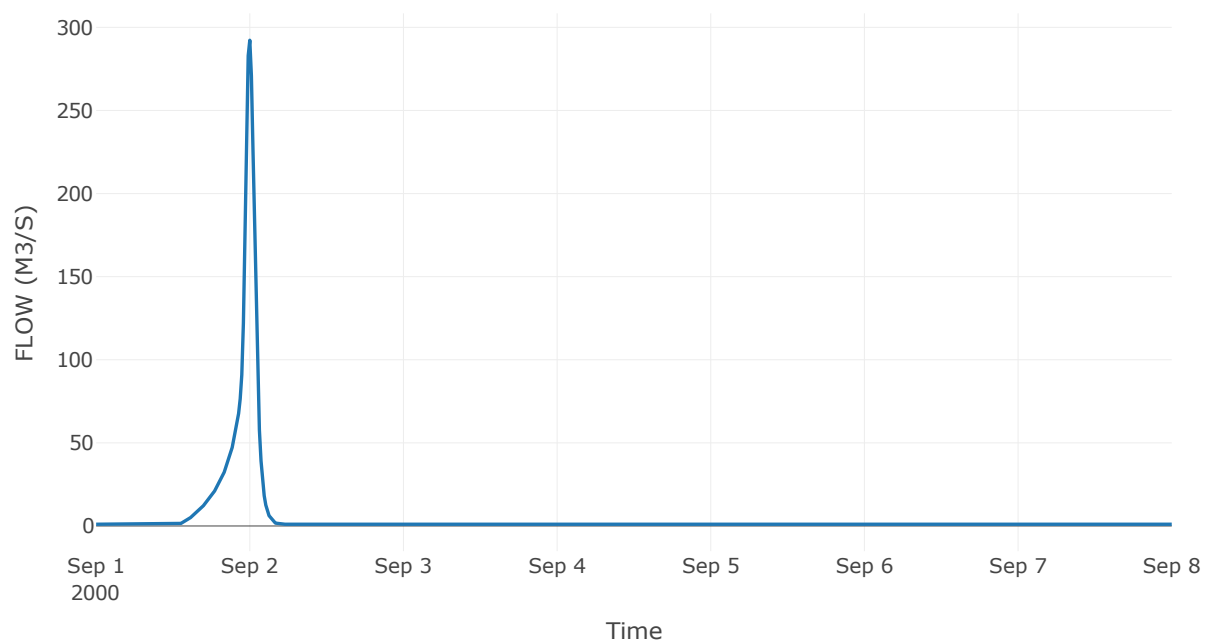
Κόμβος: J2

Κατάντη : R21

Αποτελέσματα: J2

|                       |                  |
|-----------------------|------------------|
| Παροχή Αιχμής(M3/S)   | 292.25           |
| Χρονική στιγμή αιχμής | 01Sep2000, 24:00 |
| Όγκος(MM)             | 114.75           |

Απορροή



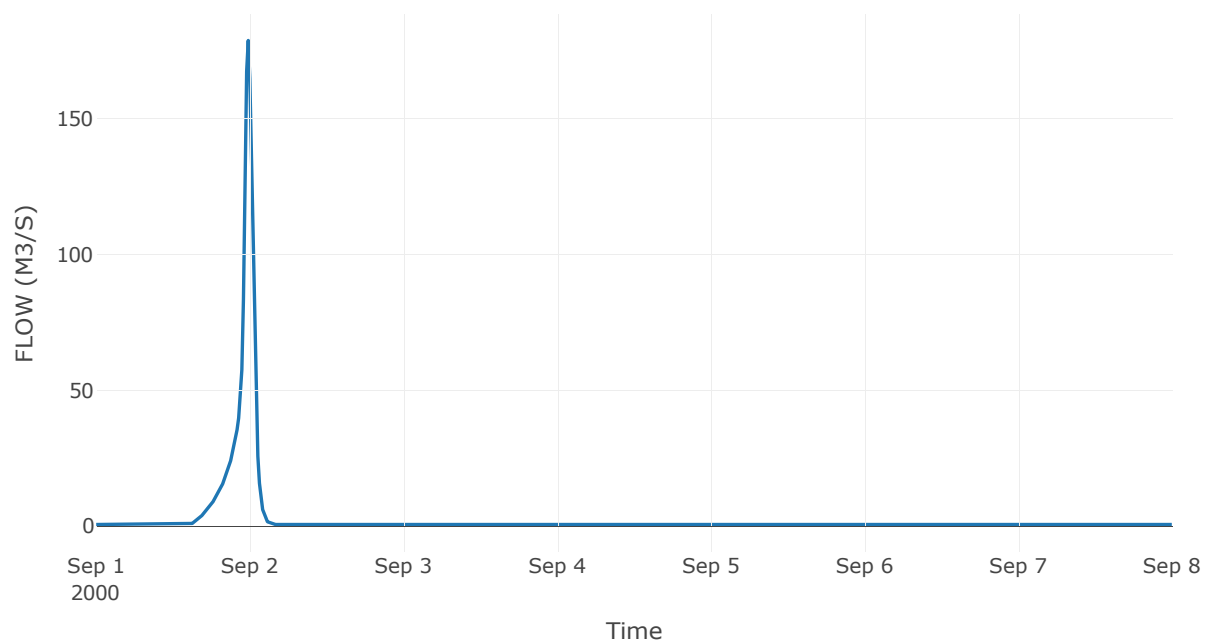
Κόμβος: J3

Κατάντη : R31

Αποτελέσματα: J3

|                       |                  |
|-----------------------|------------------|
| Παροχή Αιχμής(M3/S)   | 178.78           |
| Χρονική στιγμή αιχμής | 01Sep2000, 23:45 |
| Όγκος(MM)             | 92.85            |

Απορροή



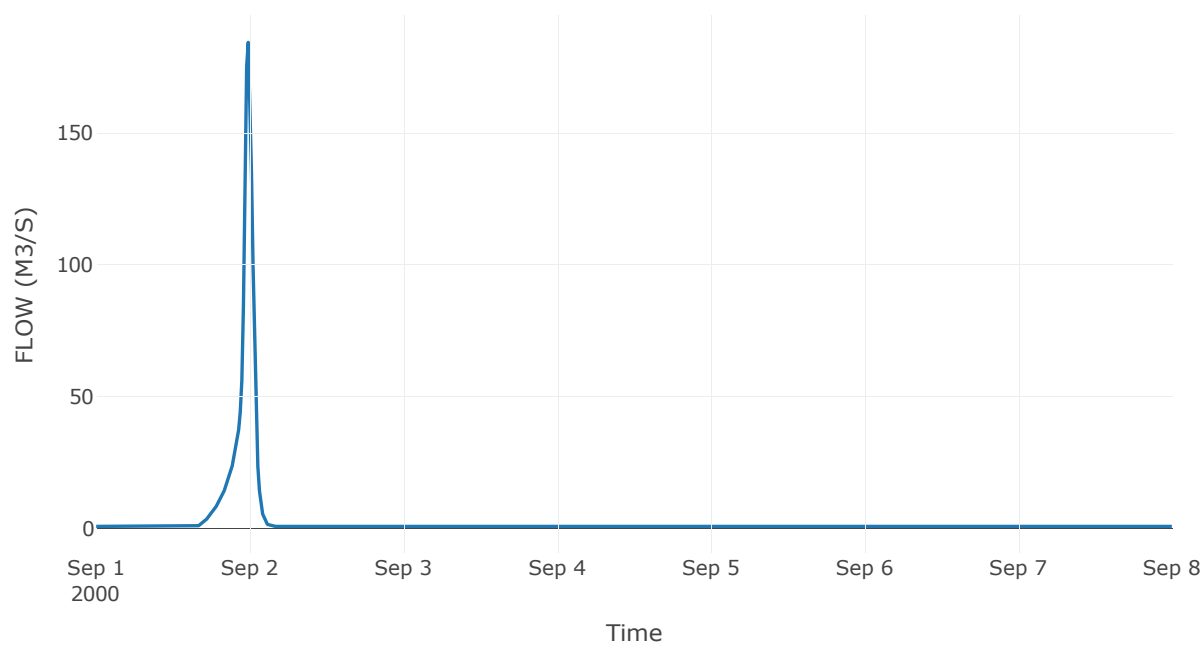
Κόμβος: J4

Κατάντη : R41

Αποτελέσματα: J4

|                       |                  |
|-----------------------|------------------|
| Παροχή Αιχμής(M3/S)   | 184.41           |
| Χρονική στιγμή αιχμής | 01Sep2000, 23:45 |
| Όγκος(MM)             | 84.47            |

Απορροή



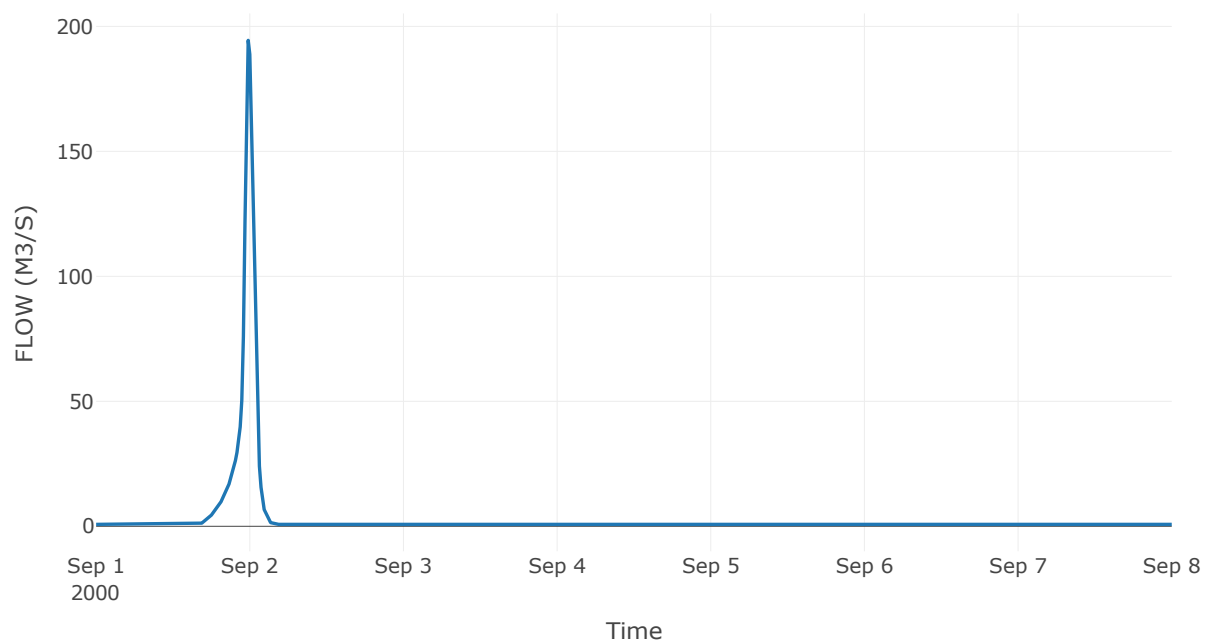
Κόμβος: J5

Κατάντη : R51

Αποτελέσματα: J5

|                       |                  |
|-----------------------|------------------|
| Παροχή Αιχμής(M3/S)   | 194.43           |
| Χρονική στιγμή αιχμής | 01Sep2000, 23:45 |
| Όγκος(MM)             | 87.62            |

Απορροή



## 10 Δεδομένα εισόδου και αποτελέσματα υδρολογικού σεναρίου $T=1000U$

## 10.1 Αποτελέσματα, υετογραφήματα και υδρογραφήματα σχεδιασμού υπολεκανών



Υπολεκάνη: EL0415FL11001

Έκταση (KM2) : 14.53

Κατάνη : J1

Μέθοδος Απωλειών: SCS

|                                |       |
|--------------------------------|-------|
| Ποσοστό αδιαπέρατης επιφάνειας | 100   |
| Αριθμός Καμπύλης Απορροής-CN   | 98.71 |
| Αρχικές Απώλειες               | 0.66  |

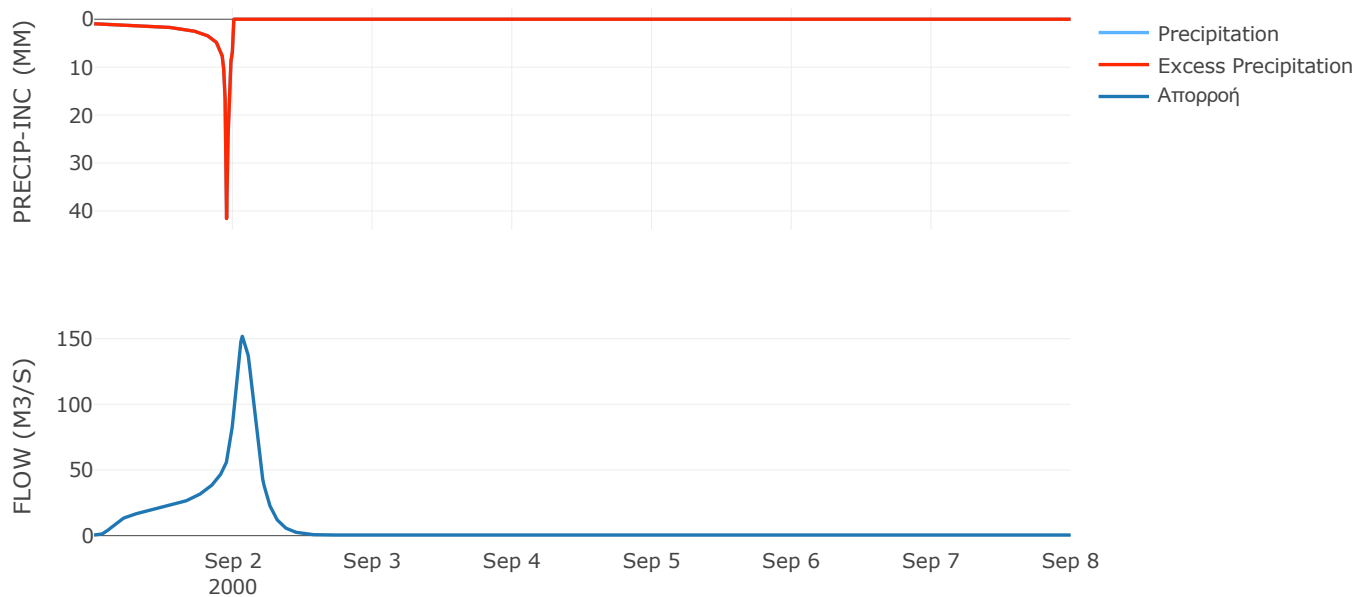
Μέθοδος  
Μετασχηματισμού: SCS

|                  |        |
|------------------|--------|
| Χρόνος Υστέρησης | 178.54 |
|------------------|--------|

Αποτελέσματα:  
EL0415FL11001

|                             |                  |
|-----------------------------|------------------|
| Παροχή αιχμής (M3/S)        | 152.22           |
| Χρονική στιγμή αιχμής       | 02Sep2000, 01:45 |
| Όγκος (MM)                  | 320.41           |
| Όγκος βροχόπτωσης (M3)      | 4.35E6           |
| Όγκος απωλειών (M3)         | 0                |
| Ενεργός Όγκος (M3)          | 4.35E6           |
| Όγκος άμεσης απορροής (M3)  | 4.35E6           |
| Όγκος βασικής απορροής (M3) | 3.08E5           |

Βροχόπτωση και Απορροή



Υπολεκάνη: EL0415FL11002

Έκταση (KM2) : 29.77

Κατάντη : J2

Μέθοδος Απωλειών: SCS

|                                |       |
|--------------------------------|-------|
| Ποσοστό αδιαπέρατης επιφάνειας | 0     |
| Αριθμός Καμπύλης Απορροής-CN   | 80.1  |
| Αρχικές Απώλειες               | 12.62 |

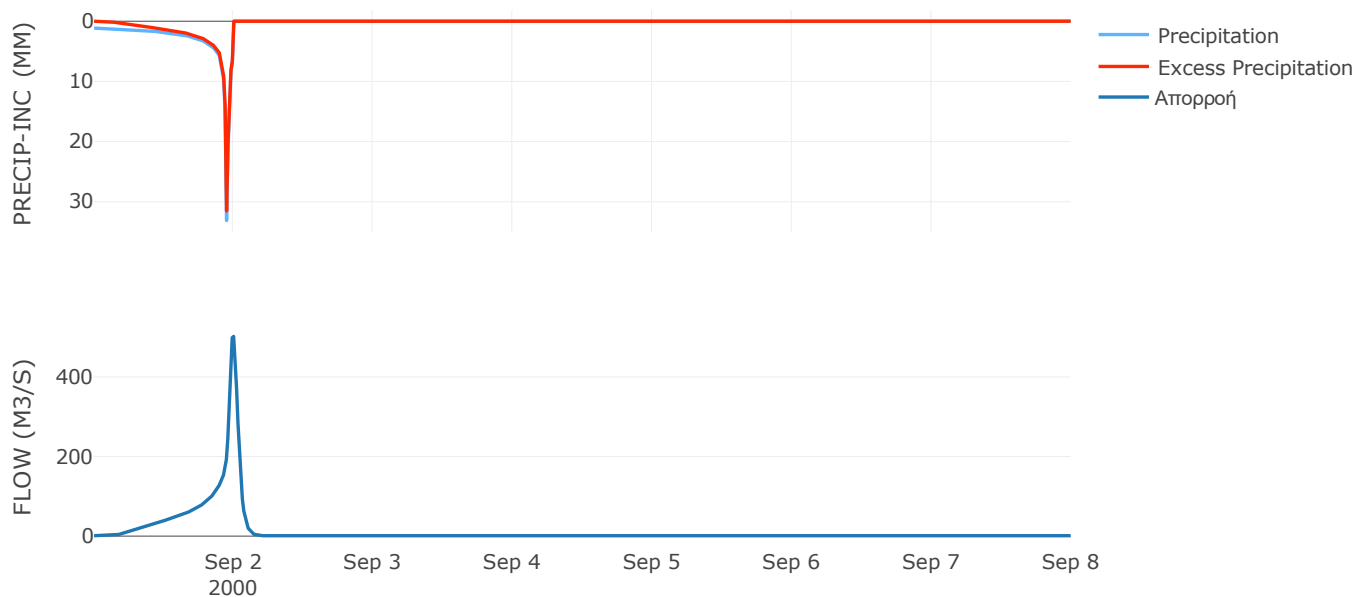
Μέθοδος  
Μετασχηματισμού: SCS

|                  |       |
|------------------|-------|
| Χρόνος Υστέρησης | 54.05 |
|------------------|-------|

Αποτελέσματα:  
EL0415FL11002

|                             |                  |
|-----------------------------|------------------|
| Παροχή αιχμής (M3/S)        | 501.93           |
| Χρονική στιγμή αιχμής       | 01Sep2000, 24:00 |
| Όγκος (MM)                  | 258.45           |
| Όγκος βροχόπτωσης (M3)      | 8.98E6           |
| Όγκος απωλειών (M3)         | 1.92E6           |
| Ενεργός Όγκος (M3)          | 7.06E6           |
| Όγκος άμεσης απορροής (M3)  | 7.06E6           |
| Όγκος βασικής απορροής (M3) | 6.3E5            |

Βροχόπτωση και Απορροή



Υπολεκάνη: EL0415FL11003

Έκταση (KM2) : 20.29

Κατάνη : J3

Μέθοδος Απωλειών: SCS

|                                |       |
|--------------------------------|-------|
| Ποσοστό αδιαπέρατης επιφάνειας | 0     |
| Αριθμός Καμπύλης Απορροής-CN   | 75.85 |
| Αρχικές Απώλειες               | 16.18 |

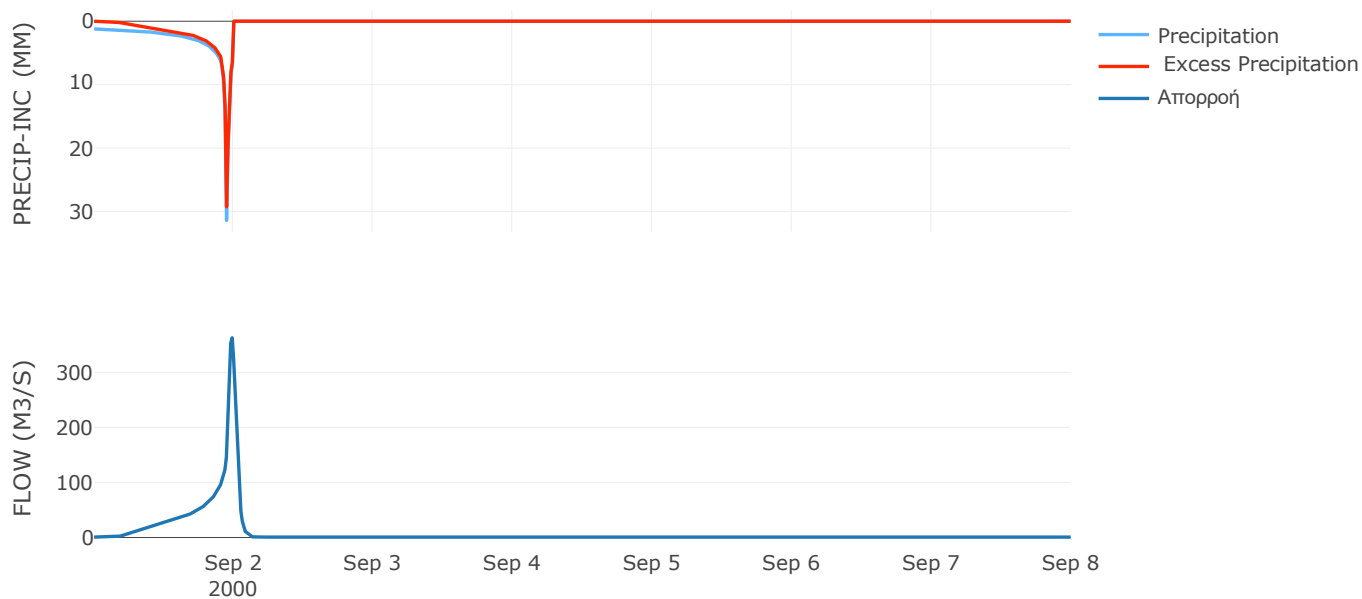
Μέθοδος  
Μετασχηματισμού: SCS

|                  |       |
|------------------|-------|
| Χρόνος Υστέρησης | 40.93 |
|------------------|-------|

Αποτελέσματα:  
EL0415FL11003

|                             |                  |
|-----------------------------|------------------|
| Παροχή αιχμής (M3/S)        | 362.63           |
| Χρονική στιγμή αιχμής       | 01Sep2000, 23:45 |
| Όγκος (MM)                  | 247.94           |
| Όγκος βροχόπτωσης (M3)      | 6.21E6           |
| Όγκος απωλειών (M3)         | 1.61E6           |
| Ενεργός Όγκος (M3)          | 4.6E6            |
| Όγκος άμεσης απορροής (M3)  | 4.6E6            |
| Όγκος βασικής απορροής (M3) | 4.3E5            |

Βροχόπτωση και Απορροή



Υπολεκάνη: EL0415FL11004

Έκταση (KM2) : 21.97

Κατάντη : J4

Μέθοδος Απωλειών: SCS

|                                |       |
|--------------------------------|-------|
| Ποσοστό αδιαπέρατης επιφάνειας | 0     |
| Αριθμός Καμπύλης Απορροής-CN   | 74.05 |
| Αρχικές Απώλειες               | 17.81 |

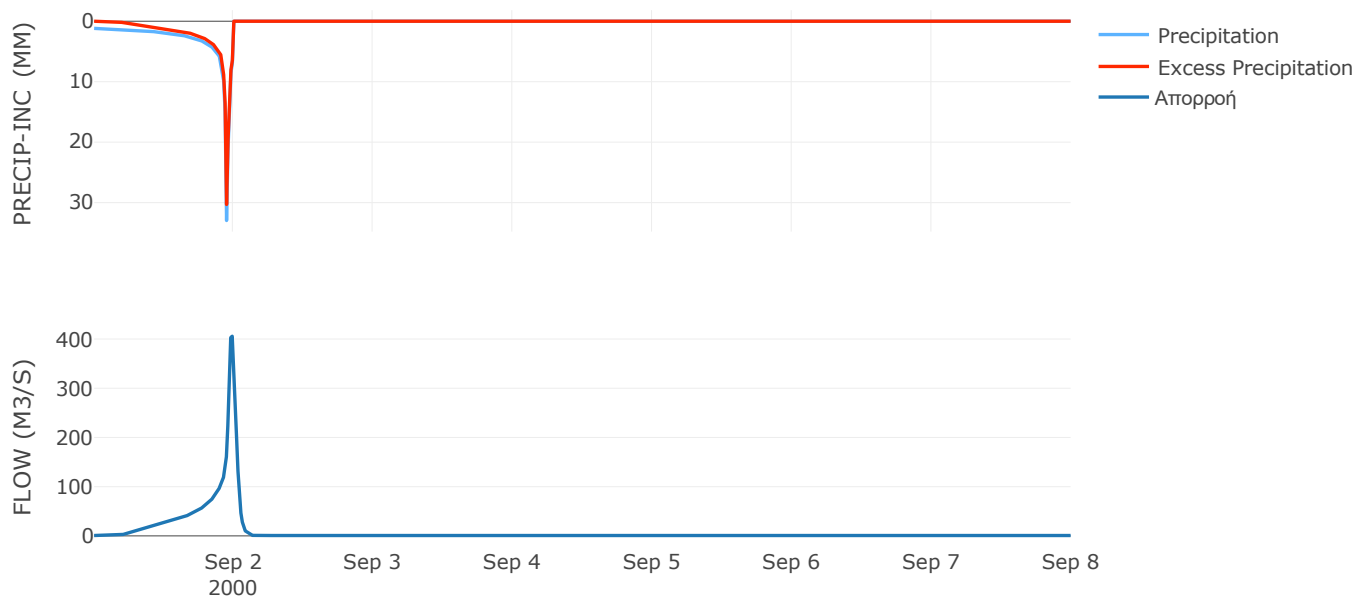
Μέθοδος  
Μετασχηματισμού: SCS

|                  |       |
|------------------|-------|
| Χρόνος Υστέρησης | 39.08 |
|------------------|-------|

Αποτελέσματα:  
EL0415FL11004

|                             |                  |
|-----------------------------|------------------|
| Παροχή αιχμής (M3/S)        | 405.78           |
| Χρονική στιγμή αιχμής       | 01Sep2000, 23:45 |
| Όγκος (MM)                  | 242.93           |
| Όγκος βροχόπτωσης (M3)      | 6.76E6           |
| Όγκος απωλειών (M3)         | 1.89E6           |
| Ενεργός Όγκος (M3)          | 4.87E6           |
| Όγκος άμεσης απορροής (M3)  | 4.87E6           |
| Όγκος βασικής απορροής (M3) | 4.65E5           |

Βροχόπτωση και Απορροή



Υπολεκάνη: EL0415FL11005

Έκταση (KM2) : 22.14

Κατάντη : J5

Μέθοδος Απωλειών: SCS

|                                |       |
|--------------------------------|-------|
| Ποσοστό αδιαπέρατης επιφάνειας | 0     |
| Αριθμός Καμπύλης Απορροής-CN   | 76.6  |
| Αρχικές Απώλειες               | 15.52 |

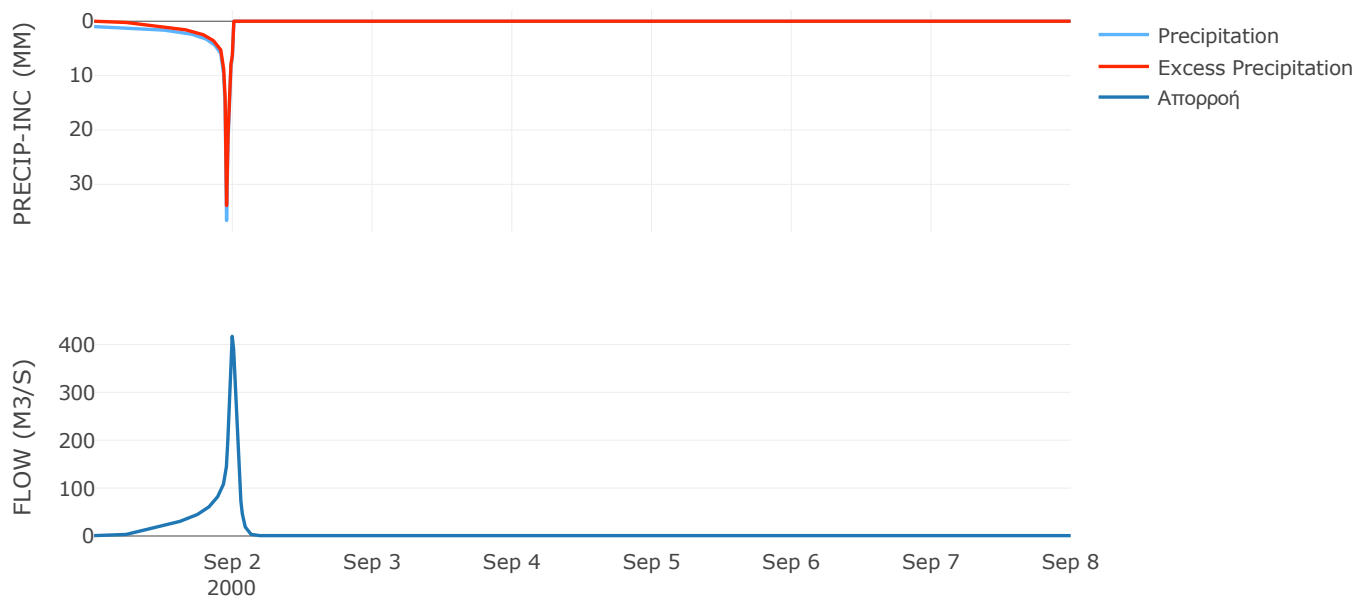
Μέθοδος  
Μετασχηματισμού: SCS

|                  |       |
|------------------|-------|
| Χρόνος Υστέρησης | 46.04 |
|------------------|-------|

Αποτελέσματα:  
EL0415FL11005

|                             |                  |
|-----------------------------|------------------|
| Παροχή αιχμής (M3/S)        | 416.98           |
| Χρονική στιγμή αιχμής       | 01Sep2000, 23:45 |
| Όγκος (MM)                  | 234.69           |
| Όγκος βροχόπτωσης (M3)      | 6.41E6           |
| Όγκος απωλειών (M3)         | 1.68E6           |
| Ενεργός Όγκος (M3)          | 4.73E6           |
| Όγκος άμεσης απορροής (M3)  | 4.73E6           |
| Όγκος βασικής απορροής (M3) | 4.69E5           |

Βροχόπτωση και Απορροή



## 10.2 Δεδομένα και υδρογραφήματα σχεδιασμού Κλάδων υδρογραφικού δικτύου

Κλάδος: R21

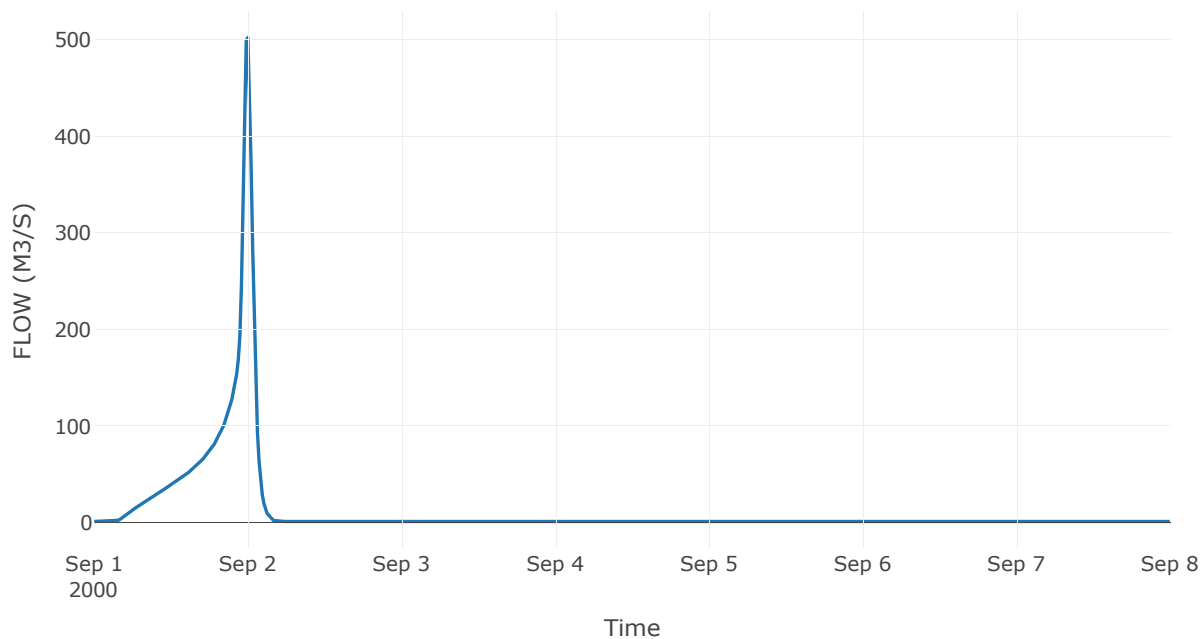
Κατάντη : J1

|                   |                 |
|-------------------|-----------------|
| Μέθοδος Διόδευσης | Χρόνος          |
| Αρχική Μεταβλητή  | Combined Inflow |
| Χρόνος Υστέρησης  | 0               |

Αποτελέσματα: R21

|                              |                  |
|------------------------------|------------------|
| Παροχή Αιχμής(M3/S)          | 501.93           |
| Χρονική στιγμή αιχμής        | 01Sep2000, 24:00 |
| Όγκος(MM)                    | 258.45           |
| Παροχή Αιχμής Εισόδου (M3/S) | 501.93           |
| Όγκος Εισροής(M3)            | 7.69E6           |

Απορροή



Κλάδος: R31

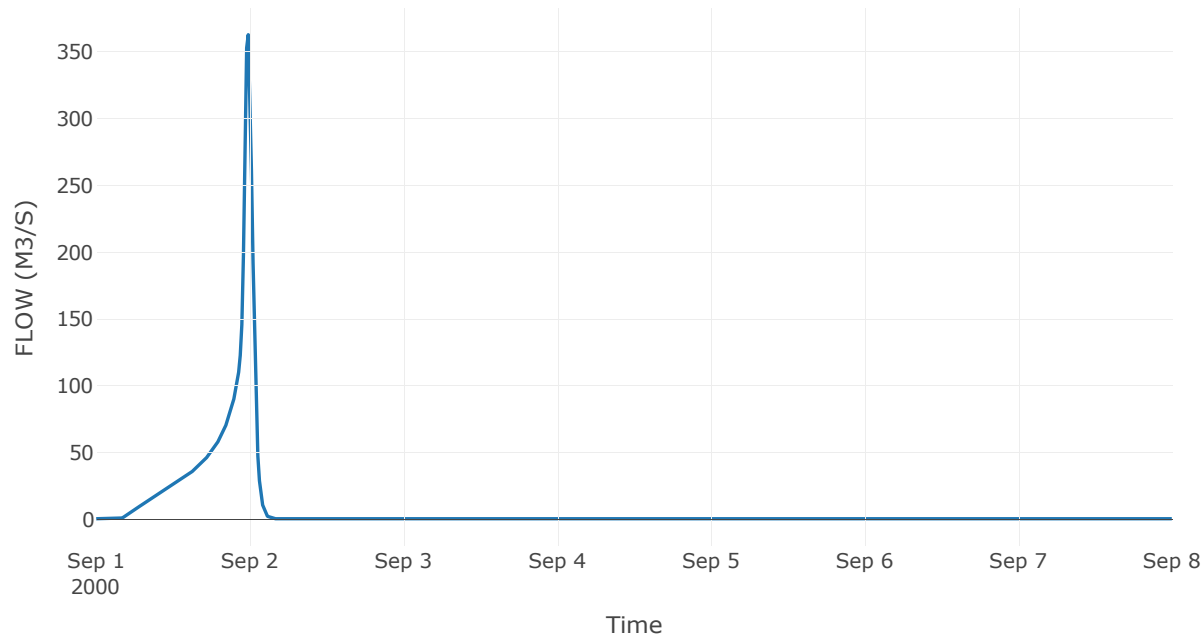
Κατάντη : J1

|                   |                 |
|-------------------|-----------------|
| Μέθοδος Διόδευσης | Χρόνος          |
| Αρχική Μεταβλητή  | Combined Inflow |
| Χρόνος Υστέρησης  | 0               |

Αποτελέσματα: R31

|                              |                  |
|------------------------------|------------------|
| Παροχή Αιχμής(M3/S)          | 362.63           |
| Χρονική στιγμή αιχμής        | 01Sep2000, 23:45 |
| Όγκος(MM)                    | 247.94           |
| Παροχή Αιχμής Εισόδου (M3/S) | 362.63           |
| Όγκος Εισροής(M3)            | 5.03E6           |

Απορροή



Κλάδος: R41

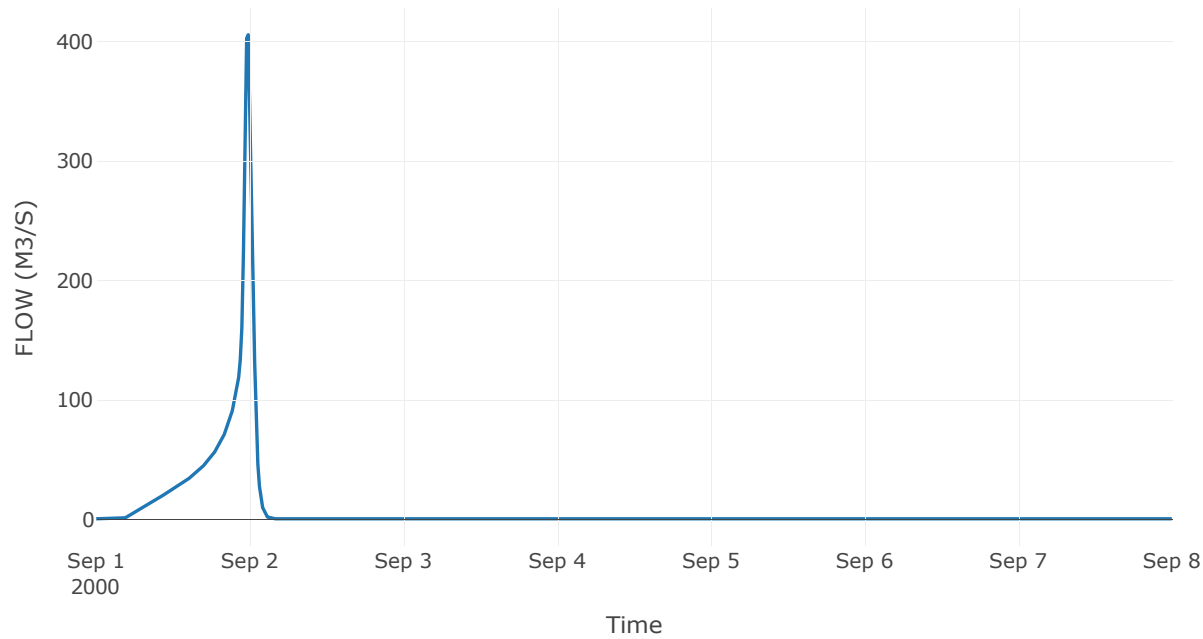
Κατάντη : J1

|                   |                 |
|-------------------|-----------------|
| Μέθοδος Διόδευσης | Χρόνος          |
| Αρχική Μεταβλητή  | Combined Inflow |
| Χρόνος Υστέρησης  | 0               |

Αποτελέσματα: R41

|                              |                  |
|------------------------------|------------------|
| Παροχή Αιχμής(M3/S)          | 405.78           |
| Χρονική στιγμή αιχμής        | 01Sep2000, 23:45 |
| Όγκος(MM)                    | 242.93           |
| Παροχή Αιχμής Εισόδου (M3/S) | 405.78           |
| Όγκος Εισροής(M3)            | 5.34E6           |

Απορροή





Κλάδος: R51

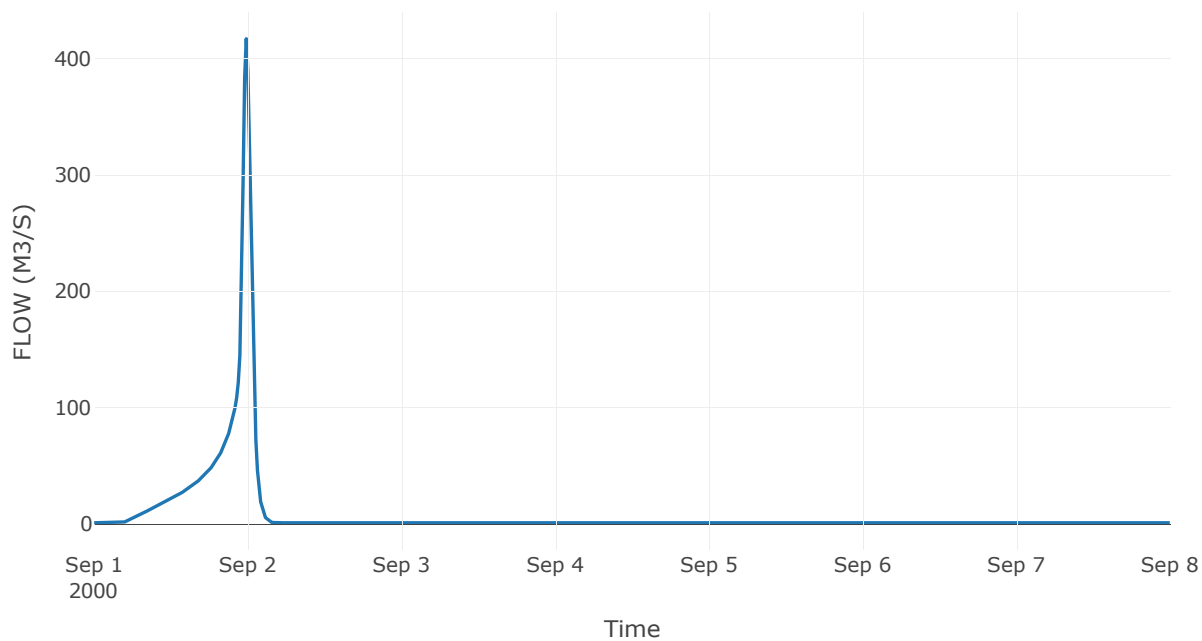
Κατάντη : J1

|                   |                 |
|-------------------|-----------------|
| Μέθοδος Διόδευσης | Χρόνος          |
| Αρχική Μεταβλητή  | Combined Inflow |
| Χρόνος Υστέρησης  | 0               |

Αποτελέσματα: R51

|                              |                  |
|------------------------------|------------------|
| Παροχή Αιχμής(M3/S)          | 416.98           |
| Χρονική στιγμή αιχμής        | 01Sep2000, 23:45 |
| Όγκος(MM)                    | 234.69           |
| Παροχή Αιχμής Εισόδου (M3/S) | 416.98           |
| Όγκος Εισροής(M3)            | 5.2E6            |

Απορροή



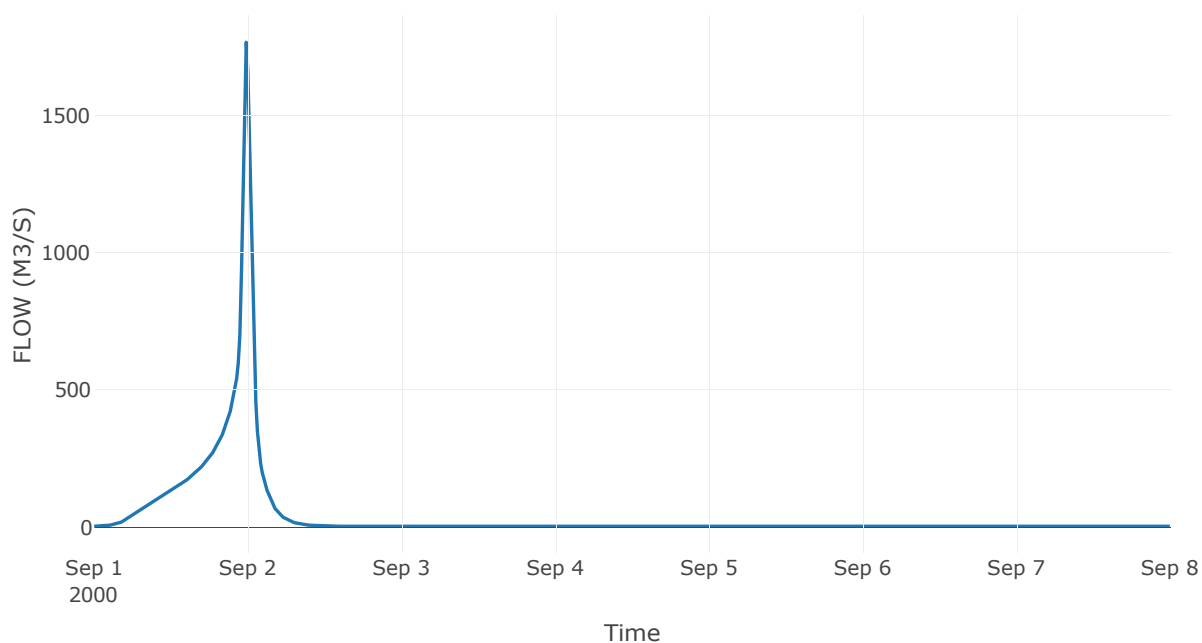
## 10.3 Δεδομένα και υδρογραφήματα σχεδιασμού Κόμβων υδρογραφικού δικτύου

Κόμβος εξόδου: J1

Αποτέλεσμα  
τα: J1

|                       |                  |
|-----------------------|------------------|
| Παροχή αιχμής (M3/S)  | 1766.63          |
| Χρονική στιγμή αιχμής | 01Sep2000, 23:45 |
| Όγκος (MM)            | 256.8            |

Απορροή



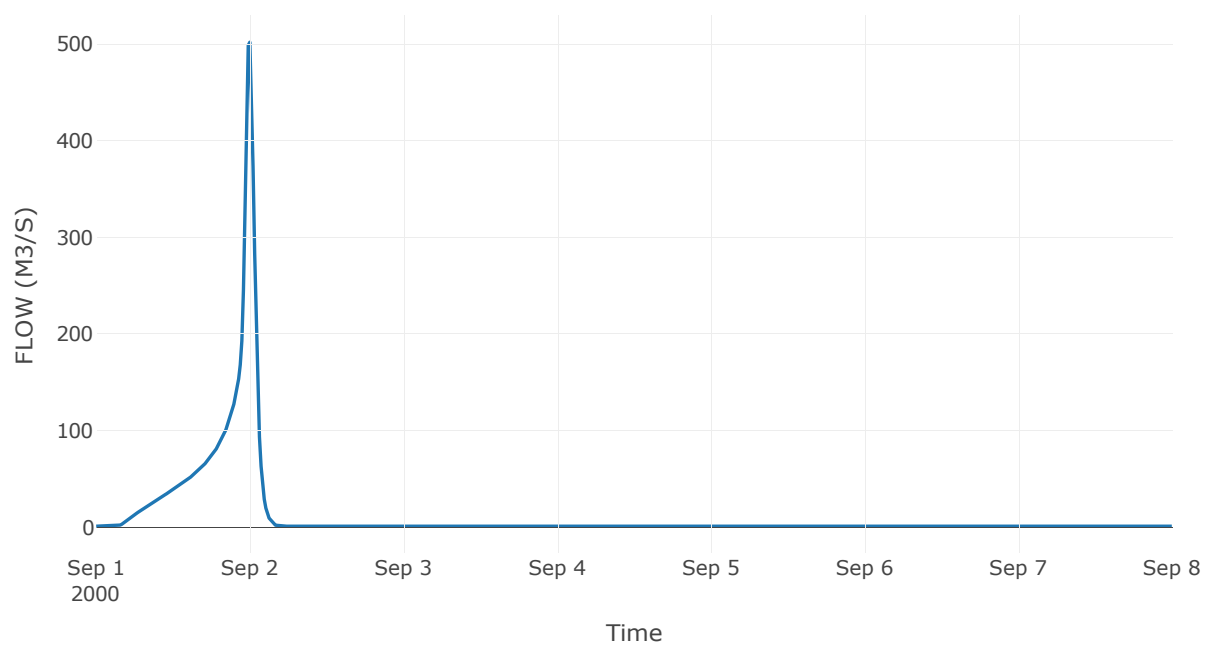
Κόμβος: J2

Κατάντη : R21

Αποτελέσματα: J2

|                       |                  |
|-----------------------|------------------|
| Παροχή Αιχμής(M3/S)   | 501.93           |
| Χρονική στιγμή αιχμής | 01Sep2000, 24:00 |
| Όγκος(MM)             | 258.45           |

Απορροή



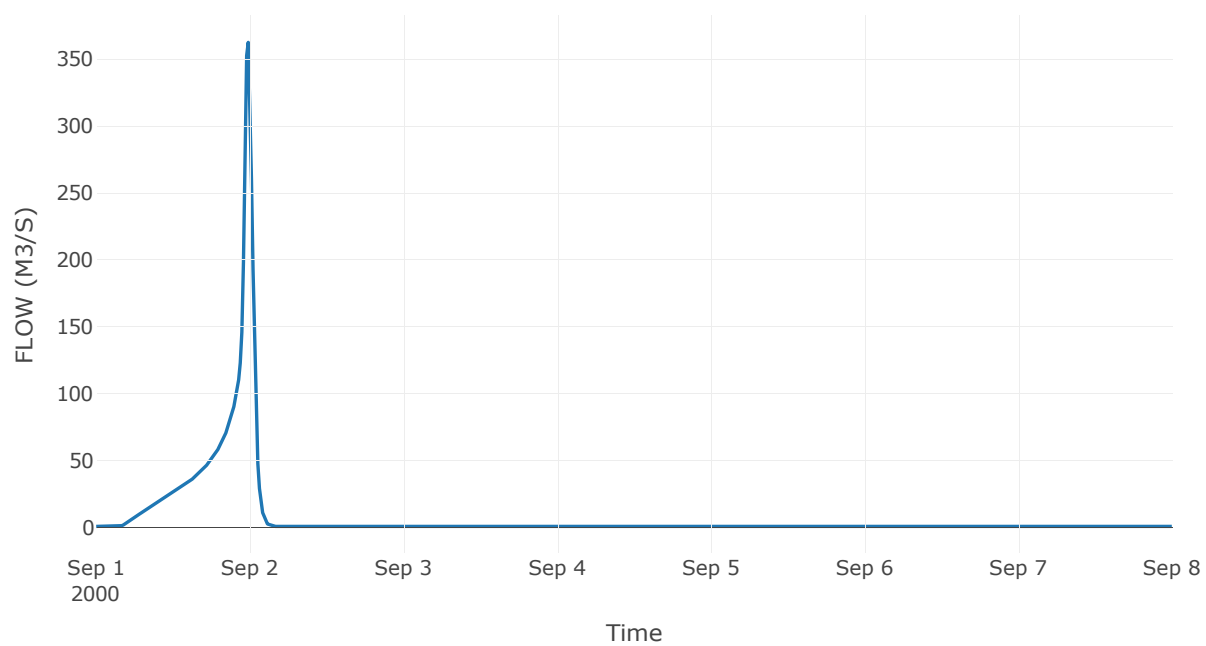
Κόμβος: J3

Κατάντη : R31

Αποτελέσματα: J3

|                       |                  |
|-----------------------|------------------|
| Παροχή Αιχμής(M3/S)   | 362.63           |
| Χρονική στιγμή αιχμής | 01Sep2000, 23:45 |
| Όγκος(MM)             | 247.94           |

Απορροή



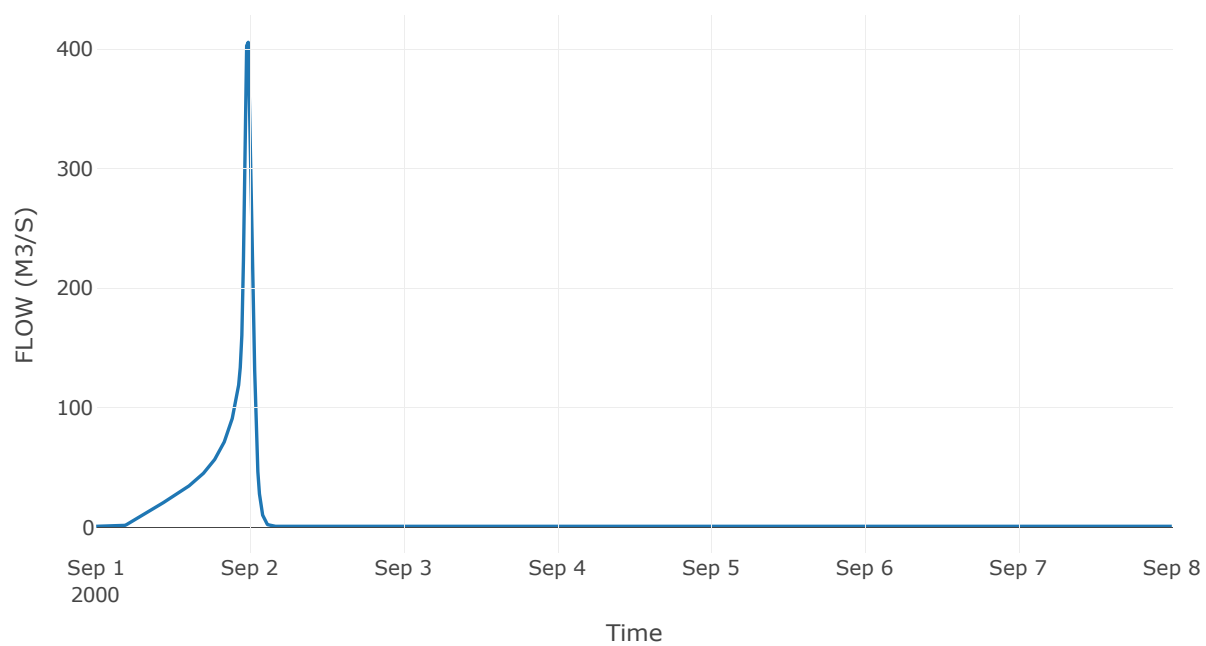
Κόμβος: J4

Κατάντη : R41

Αποτελέσματα: J4

|                       |                  |
|-----------------------|------------------|
| Παροχή Αιχμής(M3/S)   | 405.78           |
| Χρονική στιγμή αιχμής | 01Sep2000, 23:45 |
| Όγκος(MM)             | 242.93           |

Απορροή



Κόμβος: J5

Κατάντη : R51

Αποτελέσματα: J5

|                       |                  |
|-----------------------|------------------|
| Παροχή Αιχμής(M3/S)   | 416.98           |
| Χρονική στιγμή αιχμής | 01Sep2000, 23:45 |
| Όγκος(MM)             | 234.69           |

Απορροή

